

**INSTITUT TEKNOLOGI NASIONAL MALANG
FAKULTAS TEKNOLOGI INDUSTRI
JURUSAN TEKNIK ELEKTRO S-1
KONSENTRASI TEKNIK ENERGI LISTRIK**



**ANALISA PERBAIKAN KUALITAS DAYA
PADA SISTEM DISTRIBUSI MENGGUNAKAN *UNIVERSAL
CUSTOM POWER CONDITIONER (UCPC)* BERBASIS
*SOFTWARE PSCAD/EMTDC POWER SIMULATION***

SKRIPSI

**Disusun Oleh :
ARIES YUPITER PARADIS
NIM. 01.12.156**

SEPTEMBER 2006

LEMBAR PERSETUJUAN

**ANALISA PERBAIKAN KUALITAS DAYA PADA SISTEM DISTRIBUSI
 MENGGUNAKAN UNIVERSAL CUSTOM POWER CONDITIONER (UCPC)
 BERBASIS SOFTWARE PSCAD/EMTDC POWER SIMULATION**

SKRIPSI

*Disusun dan Diajukan untuk Melengkapi dan Memenuhi Syarat
Guna Mencapai Gelar Sarjana Teknik*

Disusun Oleh :

ARIES YUPITER PARADIS

NIM. 01.12.156

Diperiksa dan Disetujui,

Ketua Jurusan Elektro S-1



(Ir. E. Yusuf Linpraptono, MT)
NIP.P. 130 950 0274

Dosen Pembimbing

(Ir. Yusuf Ismail Nakhoda, MT)
NIP.Y. 101 880 0199

**KONSENTRASI TEKNIK ENERGI LISTRIK
JURUSAN TEKNIK ELEKTRO S-1
FAKULTAS TEKNOLOGI INDUSTRI
INSTITUT TEKNOLOGI NASIONAL MALANG**

ABSTRAKSI

ANALISA PERBAIKAN KUALITAS DAYA PADA SISTEM DISTRIBUSI MENGGUNAKAN UNIVERSAL CUSTOM POWER CONDITIONER (UCPC) BERBASIS SOFTWARE PSCAD/EMTDC POWER SIMULATION

(Aries Y. Paradis, Nim. 01.12.156, Teknik Elektro/Teknik Energi Listrik)
(Dosen Pembimbing : Ir. Yusuf Ismail Nakhoda, MT)

Kata Kunci : *Universal Custom Power Conditioner, Sinusoidal Based PWM Control, Proportional-Integral Control, Voltage Sag, Voltage Swells, Three Phase Symmetrical Fault.*

Kebutuhan Jaringan distribusi, beban industri sensitif dan operasi komersil kritis semua mengalami gangguan berbagai jenis *outages* dan mengatasi gangguan yang diklasifikasikan dalam masalah yang berkaitan dengan kualitas daya. Instalasi *Universal Custom Power Conditioner* (UCPC) adalah salah satu dari solusi penghematan biaya untuk permasalahan kualitas daya sejenisnya.

Sasaran yang utama dari skripsi ini adalah penerapan suatu UCPC untuk peningkatan kualitas daya. Ini adalah suatu alat terintegrasi yang mempunyai rangkaian kompensator seri tegangan, dan APF sebagai kompensator harmonik pada beban sensitif. Harmonik yang muncul akibat beban non-linier akan direduksi oleh UCPC. Pengontrol *Proportional-Integral* di dalam UCPC memutuskan untuk menentukan urutan modulasi lebar pulsa berdasarkan *Voltage Source Converter* (VSC) untuk menyediakan stabilisasi tegangan, kedip, menggagalkan *sag/swells*, dan koreksi faktor daya. PSCAD/EMTDC adalah alat simulasi yang digunakan untuk pemodelan dan simulasi.

Berdasarkan hasil pengujian dengan menggunakan software PSCAD/EMTDC *Power Simulation* Maka: Pada kondisi *voltage sag* tegangan mengalami perbaikan sebesar 0.067309 pu. Pada kondisi *voltage swells* tegangan mengalami perbaikan sebesar 0.054616 pu. Pada kondisi *three phase Symmetrical Fault* tegangan mengalami perbaikan sebesar 0.003586 pu. Pada saat *voltage sag* penyaluran daya aktif dapat dioptimalkan sebesar 2129.75836 kW, Pada saat *voltage swells* penyaluran daya aktif dapat dioptimalkan sebesar 443.8034 kW, Pada saat *three phase symmetrical fault* penyaluran daya aktif dapat dioptimalkan sebesar 3.255992 kW. Sedangkan Harmonik Tegangan dapat direduksi sebesar 21.72983479% atau sama dengan 4.346 kV.

KATA PENGANTAR

Dengan memanajatkan puji syukur kehadirat Allah SWT, berkat limpahan Rahmat dan Hidayah-Nya, sehingga penyusun dapat menyelesaikan skripsi ini.

Skripsi ini disusun sebagai salah satu persyaratan dalam menyelesaikan studi program strata satu (S-1) jurusan Teknik Elektro/Program Studi Teknik Energi Listrik, Fakultas Teknologi Industri, Institut Teknologi Nasional Malang

Sebelum dan selama penyusunan skripsi ini, penyusun telah banyak mendapatkan bantuan dan bimbingan dari berbagai pihak. Untuk itu pada kesempatan ini penyusun menyampaikan terima kasih kepada:

1. Bapak Dr. Ir. Abraham Lomi, MSEE, selaku Rektor Institut Teknologi Nasional Malang.
2. Bapak Ir. Mochtar Asroni, MT, Selaku Dekan FTI Institut Teknologi Nasional Malang.
3. Bapak Ir. F. Yudi Limpraptono, MT, selaku Ketua Jurusan Teknik Elektro Fakultas Teknologi Industri Institut Teknologi Nasional Malang.
4. Bapak Ir. Yusuf Ismail Nakhoda, MT, selaku Dosen pembimbing.
5. Bapak Ir. F. Yudi Limpraptono, MT, selaku Dosen wali.
6. Kedua Orang Tua, "Nia" Adik dan Kakak ku yang selalu memberikan Doa dan dukungannya, yang selalu memberikan semangat selama studi hingga berhasil sebagai Sarjana Teknik Elektro.
7. Serta semua pihak yang turut serta membantu dalam penyelesaian skripsi ini.

Penyusun menyadari akan segala kekurangan yang ada dalam skripsi ini, maka dengan kerendahan hati penyusun mengharapkan kritik dan saran demi penyempurnaan skripsi ini. Akhirnya, kepada semua pihak yang telah bersungguh-sungguh dan dengan ikhlas membantu hingga terwujudnya skripsi ini, dengan tulus saya menyampaikan terima kasih.

Malang, September 2006

Penulis

DAFTAR ISI

HALAMAN JUDUL.....	i
LEMBAR PERSETUJUAN	ii
ABSTRAKSI.....	iii
KATA PENGANTAR.....	iv
DAFTAR ISI	vi
DAFTAR GAMBAR.....	xi
DAFTAR GRAFIK.....	xiv
DAFTAR TABEL.....	xvi
BAB I PENDAHULUAN.....	1
1.1. Latar Belakang	1
1.2. Rumusan Masalah	2
1.3. Tujuan Penelitian.....	3
1.4. Batasan Masalah.....	3
1.5. Metodologi Penelitian	4
1.6. Sistematika Penulisan.....	4
BAB II SISTEM TENAGA LISTRIK, KUALITAS DAYA DAN UNIVERSAL CUSTOM POWER CONDITIONER (UCPC).....	6
2.1. Sistem Tenaga Listrik.....	6
2.2. Sistem Distribusi Tenaga Listrik.....	6
2.3. Struktur Jaringan Distribusi Tenaga Listrik	7
2.3.1. Sistem Distribusi Primer	8
2.3.2. Sistem Distribusi Sekunder	8
2.3.2.1. Struktur Jaringan Radial.....	8
2.3.2.2. Struktur Jaringan Loop (Lingkaran).....	9

2.3.2.3. Struktur jaringan Grid atau Mesh (Anyaman).....	10
2.4. Kualitas Daya Elektrik	11
2.4.1. Gangguan Dalam Sistem Tenaga Listrik.....	11
2.4.2. Kualitas Tegangan.....	13
2.4.3. Daya dalam Sistem Tenaga Listrik	15
2.4.4. Harmonik.....	17
2.4.4.1. Penyebab Distorsi Harmonik.....	17
2.4.4.2. Mekanisme Minimisasi Harmonisa Arus Sistem	19
2.5. Peralatan Elektronika Daya dalam Sistem	
Distribusi Tenaga Listrik.....	26
2.5.1. Transistor Bipolar.....	26
2.5.2. <i>Metal Oxide Semiconductor FET</i> (MOSFET).....	26
2.5.3. <i>Insulated Gate Bipolar Transistor</i> (IGBT)	27
2.5.4. Perbandingan Umum Antara Kinerja MOSFET dan IGBT	27
2.6. Peralatan Kompensasi dalam Sistem Tenaga Listrik	32
2.6.1. <i>Static VAR Compensator</i> (SVC).....	32
2.6.2. <i>NGH – Sub Synchronous Resonance</i> (SSR).....	33
2.6.3. <i>Thyristor Controlled Series Capacitor</i> (TCSC).....	33
2.6.4. <i>Static Condenser</i> (STATCON)	35
2.6.5. <i>Thyristor Controlled Phase Angle Regulator</i> (TCPRA).....	36
2.6.6. <i>Unified Power Flow Controller</i> (UPFC).....	37
2.6.7. <i>Universal Custom Power Conditioner</i> (UCPC)	39

BAB III PERBAIKAN KUALITAS DAYA MENGGUNAKAN	
<i>UNIVERSAL CUSTOM POWER CONDITIONER (UCPC)</i>	41
3.1. <i>Software PSCAD/EMTDC V4.2 Power Simulation</i>	41
3.2. Memulai PSCAD/EMTDC <i>Power Simulation</i>	42
3.3. Sistem Pengendalian PWM Sinusoida	44
3.3.1. PWM Sinusoida	44
3.3.2. Aksi Kontrol PWM Sinusoida Terhadap UCPC	45
3.4. Aksi Kontrol Proporsional Integral (PI)	46
3.4.1. Umum	46
3.4.2. Prinsip-Prinsip Pengendalian Proses	48
3.4.3. Prinsip Kerja Pengendali	49
3.4.4. Pengendali Proporsional (<i>Proporsional Controller</i>)	50
3.4.5. Pengendali Integral (<i>Integrator Controller</i>)	52
3.4.6. Pengendali Proporsional Integral (<i>PI Controller</i>)	54
3.5. Kompensasi UCPC Pada Sistem Distribusi 20 kV	55
3.5.1. Sistem Distribusi Tanpa Kompensasi UCPC	55
3.5.2. Sistem Distribusi Dengan Kompensasi UCPC	55
3.6. <i>Flowchart</i>	57
3.6.1. <i>Flowchart</i> Desain dan Simulasi Sistem dengan UCPC	57
3.6.2. <i>Flowchart Wiring</i> Penyulang Dinoyo	58
3.6.3. <i>Flowchart</i> Desain D-STATCOM	59
3.6.4. <i>Flowchart</i> Desain DVR	60
3.6.5. <i>Flowchart</i> Desain APF	61
3.6.6. <i>Flowchart</i> Desain Kontrol UCPC	62

3.7. <i>Input</i> Data Dalam PSCAD/EMTDC	63
3.7.1. <i>Input</i> Data <i>Transformator</i> dan <i>Fixed Load</i>	63
3.7.2. <i>Input</i> Data Pengendali PI dan SPWM Pada UCPC.....	64
BAB IV HASIL DAN ANALISA HASIL	65
4.1. Single Line Sistem Distribusi 20 kV Penyulang Dinoyo	65
4.2. Data Penyaluran dan Pembebanan	65
4.2.1. Data Saluran Penyulang Dinoyo	65
4.2.2. Data Pembebanan Penyulang Dinoyo	67
4.2.2.1. Data Pembebanan Penyulang Dinoyo pada Pukul 00.00 WIB	67
4.2.2.2. Data Pembebanan Penyulang Dinoyo pada Pukul 14.00 WIB	70
4.2.2.3. Data Pembebanan Penyulang Dinoyo pada Pukul 19.00 WIB	72
4.2.3. Data Aliran Daya Tiap Saluran Penyulang Dinoyo	74
4.2.3.1. Data Aliran Daya Penyulang Dinoyo pada Pukul 00.00 WIB	74
4.2.3.2. Data Aliran Daya Penyulang Dinoyo pada Pukul 14.00 WIB	76
4.2.3.3. Data Aliran Daya Penyulang Dinoyo pada Pukul 19.00 WIB	77
4.3. Solusi Perbaikan Kualitas Daya dengan <i>Software PSCAD/EMTDC V.4.2 Power Simulation</i>	78
4.4. Validasi.....	78
4.5. Hasil dan analisa hasil perbaikan kualitas daya dengan UCPC	80
4.5.1. Hasil Perhitungan dan Simulasi sebelum kompensasi UCPC.....	80
4.5.2. Hasil Perhitungan dan Simulasi Setelah kompensasi.....	85
4.5.3. Perbandingan Hasil Perhitungan dan Simulasi Sebelum Kompensasi Dan Sesudah Kompensasi.....	89

4.5.3.1. Perbandingan Tegangan dan Sudut Fasa Beban Dengan dan Tanpa UCPC.....	89
4.5.3.2. Perbandingan Daya Aktif dan Daya Reaktif Beban Dengan dan Tanpa UCPC.....	91
4.5.3.3. Perbandingan Jumlah Distorsi Harmonik Dengan dan Tanpa Menggunakan UCPC.....	95
BAB V PENUTUP	97
5.1. Kesimpulan.....	97
5.2. Saran.....	98

DAFTAR PUSTAKA
LAMPIRAN

DAFTAR GAMBAR

Gambar	Halaman
2.1. Skema Penyaluran Sistem Distribusi Tenaga Listrik	7
2.2. Jaringan Tegangan Menengah (JTM), Jaringan Tegangan Rendah (JTR) dan Sambungan Rumah Ke Pelanggan.....	8
2.3. Bentuk Sederhana dari Sistem Distribusi Radial	9
2.4. Jaringan Tegangan Menengah Struktur Loop yang dipasok dari satu sumber	10
2.5. Jaringan Tegangan Menengah Struktur Mesh.....	10
2.6. Aliran Daya Melalui Saluran Pendek.....	14
2.7. Perubahan Tegangan Sebagai Fungsi Aliran Daya Reaktif	15
2.8. Segi Tiga Daya	17
2.9. Sistem Yang Mensuplai Beban Non-Linier	20
2.10. Sistem Yang Mensuplai Dua Cabang Beban	21
2.11. Kurva THD arus sistem terhadap pergeseran sudut fasa tegangan	24
2.12. Pengaruh perbedaan arus kerja cabang beban A dan B terhadap THD arus di sumber tegangan	25
2.13. Tegangan Drop Dalam Kondisi Menyambung Untuk Sebuah MOSFET dan Dua IGBT.....	31
2.14. <i>Static VAR Compensator</i>	32
2.15. NGH - <i>SubSynchronous Resonance</i>	33

2.16. <i>Thyristor Controlled Series Capacitor</i> (TCSC)	34
2.17. <i>Static Condenser</i> (STATCON)	36
2.18. <i>Thyristor Controlled Phase angle Regulator</i> (TCPTR)	37
2.19. <i>Unified Power Flow Controller</i> (UPFC).....	38
2.20. Diagram Blok Fungsional dari UCPC.....	39
3.1. Tampilan Utama <i>Software PSCAD Power Simulation</i>	42
3.2. Tampilan Modul Utama	43
3.3. Tampilan <i>Master Library</i>	43
3.4. Tampilan <i>Single Line</i> Penyulang Dinoyo dalam PSCAD	44
3.5. Kontroler Dan Diagram Kotaknya	50
3.6. Diagram Blok Kontroler Proporsional	51
3.7. Response Sebuah Pengendali Proporsional.....	52
3.8. Blok Diagram Kontroler Integral	54
3.9. Diagram Kotak Pengendali PI.....	54
3.10. Hubungan Input-Output Pengendali PI dalam Fungsi Waktu.....	54
3.11. <i>Flowchart</i> Analisa Perbaikan Kualitas Daya Dengan <i>Universal Custom Power Conditioner</i> (UCPC)	57
3.12. <i>Flowchart</i> Pembuatan <i>Single Line Diagram</i> Penyulang Dinoyo	58
3.13. <i>Flowchart</i> Pembuatan Rangkaian D-STATCOM.....	59
3.14. <i>Flowchart</i> Pembuatan Rangkaian DVR	60
3.15. <i>Flowchart</i> Pembuatan Rangkaian APF	61
3.16. <i>Flowchart</i> Pembuatan Rangkaian Kontrol SPWM Untuk UCPC.....	62

3.17. (a) Input Data Konfigurasi Transformator, (b) Input Data <i>Winding Voltage</i> , (c) Input Data Parameter <i>Fixed Load</i> , (d) Input Data <i>Internal Output</i>	63
3.18. (a) Rangkaian Pengendali PI Untuk Mengendalikan DVR, (b) Rangkaian Sinyal Komparator Untuk Mengendalikan DVR, (c) Rangkaian Komparator Untuk Mengendalikan DVR.....	64
3.19. a) Rangkaian Pengendali PI Untuk Mengendalikan DSTATCOM, (b) Rangkaian Sinyal Komparator Untuk Mengendalikan DSTATCOM, (c) Rangkaian Komparator Untuk Mengendalikan DSTATCOM.....	64
4.1. <i>Single Line</i> Penyulang Dinoyo	54

DAFTAR GRAFIK

Grafik	Halaman
4.1. (a) Bentuk Gelombang Tegangan <i>Input</i> (V_i), (b) Bentuk Gelombang Sudut Fasa Tegangan, (c dan d) Grafik Bar Frekuensi Harmonik Tegangan pada Sumber.....	80
4.2. (a) Bentuk Gelombang Daya Aktif dan Reaktif, (b) Gelombang Tegangan dan Sudut Fasa, Saat Terjadi <i>Voltage Sag</i> Tanpa Dilakukan Kompensasi DSTATCOM.....	81
4.3. (a) Bentuk Gelombang Daya Aktif dan Reaktif, (b) Gelombang Tegangan dan Sudut Fasa, Saat Terjadi <i>Voltage Swells</i> Tanpa Dilakukan Kompensasi DSTATCOM.....	82
4.4. (a) Bentuk Gelombang Daya Aktif dan Reaktif, (b) Gelombang Tegangan dan Sudut Fasa, Saat Terjadi <i>3Phase Symmetrical Fault</i> Tanpa Dilakukan Kompensasi DVR.....	83
4.5. Total Harmonik Pada Beban Tanpa Kompensasi UCPC	84
4.6. (a) Bentuk Gelombang Daya Aktif dan Reaktif, (b) Gelombang Tegangan dan Sudut Fasa, Saat Terjadi <i>Voltage Sag</i> Dengan Dilakukan Kompensasi DSTATCOM	85
4.7. (a) Bentuk Gelombang Daya Aktif dan Reaktif, (b) Gelombang Tegangan dan Sudut Fasa, Saat Terjadi <i>Voltage Swells</i> Dengan Dilakukan Kompensasi DSTATCOM	86

4.8. (a) Bentuk Gelombang Daya Aktif dan Reaktif, (b) Gelombang Tegangan dan Sudut Fasa, Saat Terjadi <i>3Phase Symmetrical Fault</i> Dengan Dilakukan Kompensasi DVR.....	87
4.9. Total Harmonik Pada Beban Dengan Kompensasi UCPC.....	88
4.10. Kandungan Harmonisa Sistim Distribusi 20 kV Penyulang Dinoyo Tanpa Menggunakan Kompensasi UCPC	96
4.11. Kandungan Harmonisa Sistim Distribusi 20 kV Penyulang Dinoyo Dengan Menggunakan Kompensasi UCPC.....	96

BAB I

PENDAHULUAN

1.1. Latar Belakang

Dalam kaitan dengan perkembangan pesat industri elektronika daya, sejumlah besar semikonduktor dengan kapasitas daya yang tinggi tersedia untuk aplikasi sistem tenaga. FACTS menggunakan komponen elektronika daya terbaru dan metode kendali untuk mengontrol sisi tegangan tinggi pada jaringan sistem tenaga listrik [1]. *Custom power* dipusatkan pada sistem distribusi tegangan rendah, dan adalah suatu teknologi yang lebih hemat biaya ketika UCPC ini dipakai oleh pengguna daya yang besar, seperti bangunan komersil dan industri yang melibatkan otomasi produksi [2]. Dengan solusi *custom power* pada suatu tempat, konsumen sisi ujung yang lain merasakan pengaturan tegangan yang lebih baik, gangguan hampir tidak ada, rendah harmonik tegangan dan cocok pada fluktuasi yang cepat dan beban non-linier. Masalah kualitas daya seperti harmonik, ketidakseimbangan sistem, *voltage sag*, *voltage swell*, *voltage flicker* dan *outages* telah diteliti tersendiri dan masing-masing menggunakan peralatan *custom power*. Pengembangan yang terakhir adalah instalasi UCPC (*Universal Custom Power Conditioner*), yang merupakan solusi yang paling hemat biaya untuk jenis-jenis permasalahan kualitas daya tersebut. Diagram blok fungsional UCPC ditunjukkan pada gambar 2.30.

Dalam beberapa hal, suatu kombinasi paralel dan seri filter aktif mungkin diperlukan dalam mengkompensasi distorsi harmonik [3-5]. UCPC adalah suatu

Dari permasalahan diatas maka skripsi ini berjudul:

**“ANALISA PERBAIKAN KUALITAS DAYA
PADA SISTEM DISTRIBUSI MENGGUNAKAN UNIVERSAL
CUSTOM POWER CONDITIONER (UCPC) BERBASIS SOFTWARE
PSCAD/EMTDC POWER SIMULATION”**

1.3. Tujuan Penelitian

Berdasarkan permasalahan yang dikemukakan di atas maka skripsi ini bertujuan untuk mengoptimalkan penyaluran daya secara ekonomis, memperbaiki kualitas tegangan suatu sistem tenaga listrik serta mengurangi rugi-rugi daya akibat harmonisa dengan menggunakan *Universal Custom Power Conditioner* (UCPC).

1.4. Batasan Masalah

Agar permasalahan yang dibahas tidak terlalu meluas, maka ruang lingkup pembahasan adalah sebagai berikut:

1. Perhitungan dan simulasi dilakukan dengan *software PSCAD/EMTDC V4.2 Power Simulation*.
2. Studi dilakukan di PT. PLN (PERSERO) pada Penyulang Dinoyo.
3. Membahas desain sistem dan *logic controller*.
4. Pengaruh harmonik pada sistem diperhitungkan.

1.5. Metodologi Penelitian

Metode yang digunakan dalam penyelesaian ini adalah:

1. Studi literatur berupa pengumpulan dan pembahasan referensi yang berkaitan dengan pokok pembahasan masalah ini, sehingga membantu dalam memahami dasar-dasar dari peralatan yang digunakan dalam sistem dan membantu dalam memahami prinsip dan karakteristik setiap parameter elektronika daya yang digunakan.
2. Pengumpulan data lapangan sebagai objek penelitian
3. Melakukan analisis berdasarkan hasil simulasi program PSCAD/EMTDC V.4.2 *Power Simulation*.
 - a. Analisis aliran daya aktif dan reaktif
 - b. Analisis profil tegangan sistem
 - c. Analisis distorsi harmonik
4. Mengambil kesimpulan dari perbandingan sistem yang menggunakan alat kompensasi UCPC dengan tanpa menggunakan UCPC.

1.6. Sistematika Penulisan

Penulisan dibagi dalam beberapa bab dan sub bab, adapun sistematika penulisan skripsi ini adalah:

BAB I : PENDAHULUAN

Berisi penguraian tentang Latar Belakang, Rumusan Masalah, Tujuan Penelitian, Batasan Masalah, Metodologi Penelitian dan Sistematika Penulisan

BAB II : SISTEM DISTRIBUSI TENAGA LISTRIK

Membahas tentang sistem distribusi tenaga listrik secara umum dan pengaruh pemasangan alat kompensasi untuk memperbaiki kualitas daya.

BAB III : PERBAIKAN KUALITAS DAYA DENGAN UCPC

Berisi penguraian tentang perbandingan kualitas daya system yang menggunakan alat kompensasi UCPC dan tanpa menggunakan kompensasi UCPC

BAB IV : HASIL DAN ANALISA HASIL

Menguraikan tentang hasil simulasi dan menganalisa hasil simulasi

BAB V : PENUTUP

Berisi kesimpulan dan saran berdasarkan hasil simulasi

BAB II

SISTEM DISTRIBUSI TENAGA LISTRIK

2.1. Sistem Tenaga Listrik

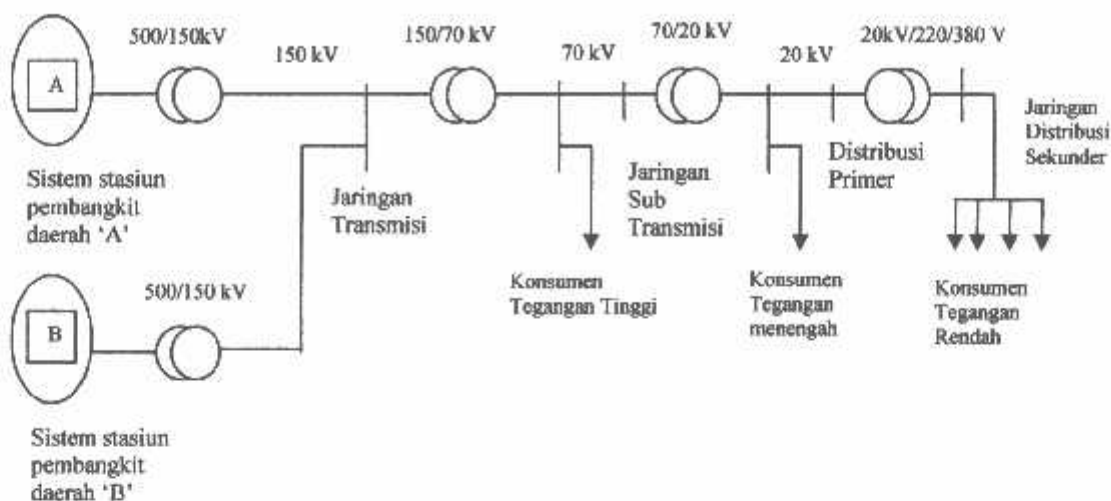
Sistem tenaga listrik merupakan suatu sistem yang terpadu yang terbentuk oleh hubungan-hubungan peralatan dan komponen komponen listrik. Sistem tenaga listrik ini mempunyai peranan utama untuk menyalurkan energi listrik yang dibangkitkan oleh generator ke konsumen yang membutuhkan energi listrik tersebut.

Secara garis besar suatu sistem tenaga listrik dapat dikelompokkan menjadi tiga bagian sub sistem yaitu :

1. Sistem pembangkitan : berperan sebagai sumber daya tenaga listrik dan disebut juga sebagai produsor energi.
2. Sistem transmisi atau penyalur : berfungsi sebagai penyalur daya listrik dalam skala besar dari pembangkit kebagian sistem distribusi.
3. Sistem distribusi dan beban : berfungsi sebagai distributor energi ke konsumen yang memerlukan energi tersebut.

2.2. Sistem Distribusi Tenaga Listrik

Jaringan distribusi berada pada akhir dari sistem tenaga listrik, perannya mendistribusikan tenaga listrik dari gardu induk atau pembangkit tenaga ke konsumen melalui gardu distribusi.



Gambar 2.1
Skema Penyaluran Sistem Distribusi Tenaga Listrik

Dalam pendistribusian tenaga listrik ke konsumen, tegangan yang digunakan bervariasi tergantung pada jenis konsumen yang membutuhkan. Dengan demikian maka sistem distribusi tenaga listrik dapat diklasifikasikan menjadi dua bagian sistem yaitu :

1. Sistem distribusi primer
2. Sistem distribusi sekunder

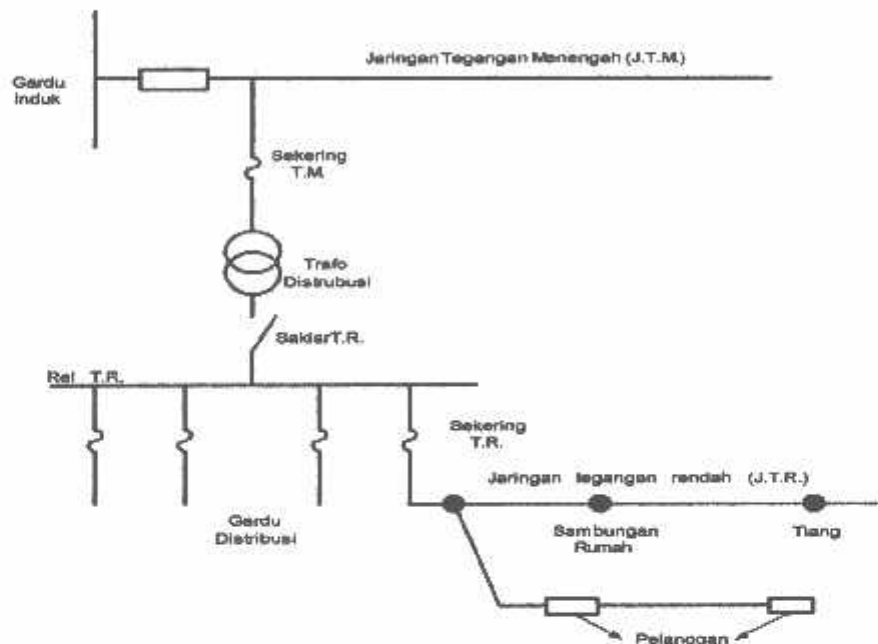
Pengklasifikasian sistem distribusi tenaga listrik menjadi dua ini berdasarkan tingkat tegangan distribusinya.

2.3. Struktur Jaringan Distribusi Tenaga Listrik

Dalam rangka mengantisipasi peningkatan kebutuhan energi listrik pada masa tertentu, maka struktur jaringan harus dieprimbangkan terlebih dahulu sehingga untuk ekspansi sistem di masa yang akan datang tidak menjadi masalah.

2.3.1. Sistem Distribusi Primer

Jaringan Distribusi Primer merupakan sistem tenaga listrik yang menyalurkan energi listrik antara Gardu Induk Distribusi sampai ke Gardu Distribusi dengan tegangan kerja 20 kV atau 6 kV.



Gambar 2.2
Jaringan Tegangan Menengah (JTM), Jaringan Tegangan Rendah (JTR) dan Sambungan Rumah Ke Pelanggan

2.3.2. Sistem Distribusi Sekunder

Secara garis besar jaringan distribusi primer diklasifikasikan menjadi :

2.3.2.1. Struktur Jaringan Radial

Bentuk jaringan ini merupakan bentuk dasar yang paling sederhana dan paling banyak digunakan. Sistem ini dikatakan radial karena dari kenyataan bahwa jaringan ini ditarik secara radial dari GI ke pusat – pusat beban / konsumen

yang dilayani. Sistem ini terdiri dari saluran utama (tunk line) dan saluran cabang (lateral).

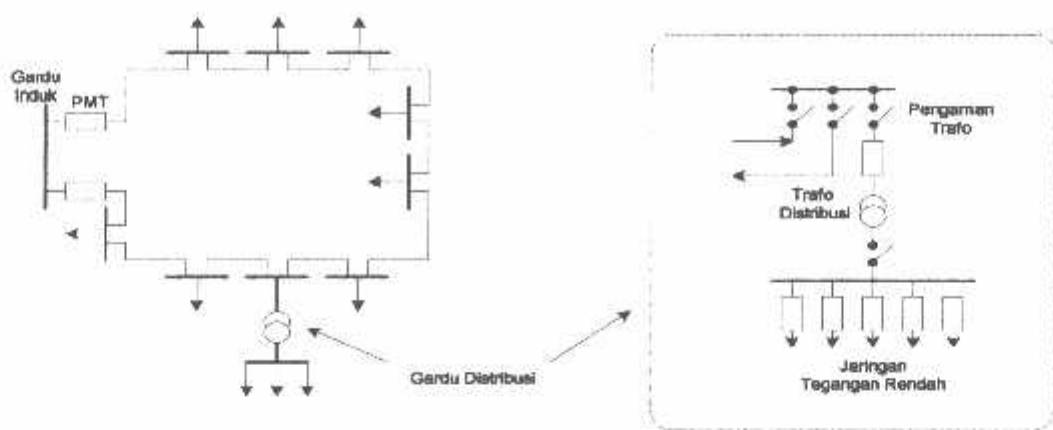


Gambar 2.3
Bentuk Sederhana dari Sistem Distribusi Radial

Pelayanan untuk suatu daerah beban tertentu dilaksanakan dengan memasang transformator di sembarang titik pada jaringan sedekat mungkin dengan beban yang dilayani. Untuk daerah beban yang menyimpang jauh dari saluran utama maupun saluran cabang, maka akan ditarik lagi saluran tambahan yang dicabangkan pada saluran tersebut.

2.3.2.2. Struktur Jaringan Loop (Lingkaran)

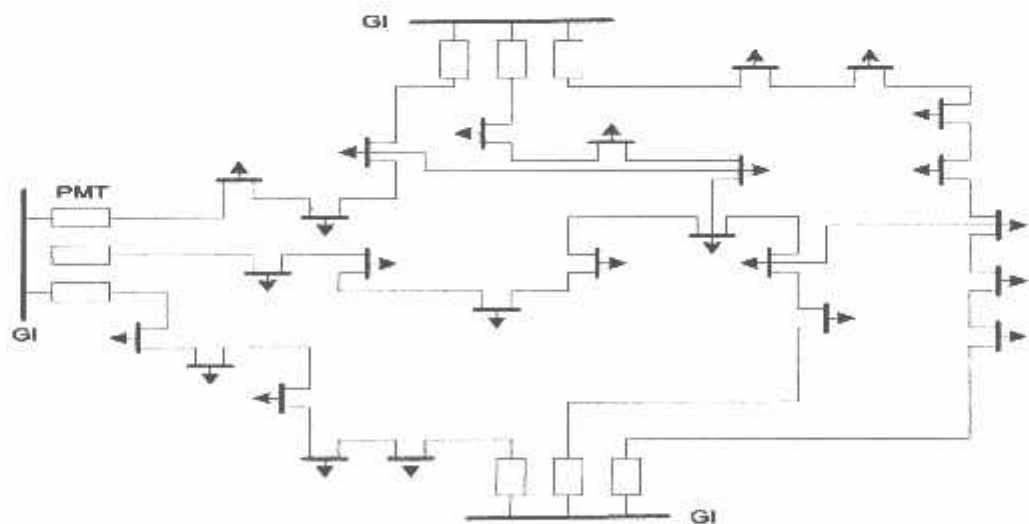
Struktur jaringan loop merupakan gabungan dari dua struktur jaringan radial. Dimana pada ujung kedua jaringan dipasang sebuah pemutus (CB) atau pemisah (DS). Pada saat terjadi gangguan, setelah gangguan dapat diisolir, maka pemutus atau pemisah ditutup sehingga aliran daya listrik ke bagian yang tidak terkena gangguan tidak terhenti. Struktur jaringan loop mempunyai keandalan yang baik, sehingga biaya pembangunannya lebih mahal dibandingkan struktur jaringan radial.



Gambar 2.4
Jaringan Tegangan Menengah Struktur Loop
yang dipasok dari satu sumber.

2.3.2.3. Struktur jaringan Grid atau Mesh (Anyaman)

Struktur jaringan ini merupakan kombinasi antara struktur jaringan radial dengan struktur jaringan loop. Titik beban memiliki lebih banyak alternatif penyulang, sehingga bila salah satu penyulang terganggu maka dengan segera dapat digantikan oleh penyulang yang lain.



Gambar 2.5
Jaringan Tegangan Menengah Struktur Mesh

2.4. Kualitas Daya Elektrik

Dengan semakin tingginya biaya/tarif listrik, maka tuntutan efisiensi dalam pemakaian daya listrik menjadi pertimbangan utama. Efisiensi penggunaan daya listrik dipengaruhi banyak faktor, diantaranya adalah sangat bergantung pada kualitas daya listrik. Kualitas daya listrik sangat dipengaruhi oleh penggunaan jenis-jenis beban tertentu yang mengakibatkan turunnya efisiensi salah satunya pemakaian beban non linier seperti: konverter dengan adanya pengoperasian peralatan seperti ini maka akan menghasilkan harmonisa yang dampaknya mempengaruhi kualitas daya, sehingga menimbulkan banyak kerugian-kerugian. Untuk mendapatkan kualitas tenaga listrik yang baik, maka perlu dilakukan langkah-langkah perbaikan kualitas daya, yaitu dengan cara melakukan audit *power quality* guna menentukan langkah-langkah serta upaya yang tepat untuk mengurangi adanya harmonisa yang dihasilkan, contohnya dengan menggunakan alat kompensasi UCPC. Sehingga kerugian serta gangguan dapat diminimalkan agar kualitas tenaga listrik dapat optimal sehingga kontinuitas pelayanan semakin terjaga.

2.4.1. Gangguan Dalam Sistem Tenaga Listrik

Pada dasarnya gangguan dalam sistem distribusi tenaga listrik dapat dibedakan menjadi dua bagian, yaitu gangguan yang bersifat sementara dan yang bersifat permanen, gangguan yang bersifat sementara atau *temporary* biasanya hanya terjadi dalam waktu yang sebentar, kemudian normal kembali. Sehingga apabila terjadi gangguan sementara maka diusahakan tidak sampai trip pada sistem secara keseluruhan, karena menyangkut kontinuitas pelayanan ke beban.

Secara umum jenis gangguan yang dapat terjadi dapat digolongkan menjadi tiga macam yaitu:

- a. Gangguan shunt
 - Gangguan tiga fasa (3φ)
 - Gangguan line to line (L-L)
 - Gangguan double line to ground (2L-G)
 - Gangguan single line to ground (SL-G)
- b. Gangguan seri
 - Gangguan satu saluran terbuka
 - Gangguan dua saluran terbuka
 - Impedansi seri tak seimbang
- c. Gangguan simultan, merupakan dua jenis gangguan yang terjadi pada waktu yang bersamaan, berupa:
 - Gangguan shunt dengan gangguan shunt
 - Gangguan shunt dengan gangguan seri
 - Gangguan seri dengan gangguan seri

Dari bermacam-macam gangguan di atas tersebut, gangguan dapat dikelompokan lagi menjadi dua bagian yaitu:

1. Gangguan hubung singkat simetris

Gangguan hubungan singkat tiga phasa merupakan jenis gangguan hubungan singkat simetris, sedangkan gangguan yang lain merupakan gangguan tidak simetris. Gangguan arus hubung singkat ini menyebabkan timbulnya arus

yang sangat besar yang melewati kapasitas arus yang diijinkan, adapun akibat akibat yang ditimbulkan dengan adanya gangguan hubung singkat tersebut:

- Rusaknya peralatan-peralatan listrik yang berada dekat dengan gangguan yang disebabkan arus-arus yang besar, arus tidak seimbang maupun tegangan-tegangan rendah.
- Terhentinya kontinuitas pelayanan listrik kepada konsumen apabila gangguan tersebut sampai mengakibatkan terputusnya *circuit* yang biasa disebut dengan pemadaman listrik.

Untuk menganalisa gangguan pada rangkaian tiga phasa seimbang, maka menganalisisanya dapat diselesaikan secara langsung dengan menggunakan rangkaian setara phasa tunggal.

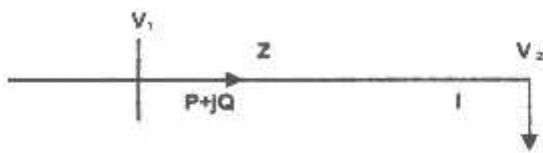
2. Gangguan hubung singkat tak simetris

Hampir semua gangguan yang terjadi pada sistem tenaga listrik adalah merupakan gangguan tidak simetri. Gangguan tidak simetri ini terjadi sebagai akibat dari gangguan satu fasa ke tanah, gangguan antar fasa atau gangguan dua fasa ke tanah.

2.4.2. Kualitas Tegangan

Keseimbangan daya reaktif yang dihasilkan dan digunakan harus dapat dipertahankan agar tidak terjadi perubahan tegangan. Bila besaran tegangan ini mengalami perubahan, maka daya reaktif pada simpul tersebut tidak dapat dipertahankan lagi. Ini perlu aliran daya reaktif pada sistem.

Dari gambar dibawah ini terlihat bahwa pembangkit memberikan daya sebesar $P + jQ$ ke beban. Misalkan R dianggap jauh lebih kecil dari X , maka resistansi saluran dapat diabaikan. Sehingga impedansi saluran dituliskan $Z = jX$.



Gambar 2.6
Aliran Daya Melalui Saluran Pendek

Jatuh tegangan yang terjadi sepanjang saluran disebabkan oleh adanya impedansi sehingga hubungan yang terjadi :

$$V_2 = V_1 - IZ \quad \dots \dots \dots \quad (2.1)$$

Karena daya yang mengalir pada simpul I adalah $P + jQ$, maka :

$$I = \frac{P + jQ}{V_1} \quad \dots \dots \dots \quad (2.2)$$

Jika V_1 dipilih sebagai referensi maka dapat dianggap mempunyai sudut nol maka persamaan menjadi :

$$I = \frac{P - jQ}{V_1} \quad \dots \dots \dots \quad (2.3)$$

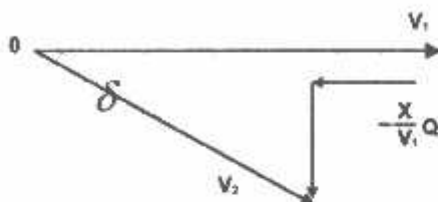
Subtitusi persamaan (2.3) ke persamaan (2.1) diperoleh :

$$V_2 = V_1 - \left(\frac{P - jQ}{V_1} \right) Z \quad \dots \dots \dots \quad (2.4)$$

$$V_2 = V_1 - \left(\frac{jXP}{V_1} + \frac{XQ}{V_1} \right) \quad \dots \dots \dots \quad (2.5)$$

$$V_2 = V_1 - \frac{X}{V_1} Q - j \frac{X}{V_1} P \dots \dots \dots (2.6)$$

Persamaan diatas dapat dilihat dalam bentuk gambar sebagai berikut :



Gambar 2.7
Perubahan Tegangan Sebagai Fungsi Aliran Daya Reaktif

Dari persamaan diatas dapat dijelaskan :

1. Perubahan daya aktif ΔP pada dasarnya hanya mempengaruhi sudut fasa tegangan sedangkan magnitude tegangan hampir tidak berubah.
2. Perubahan daya reaktif ΔQ pada dasarnya hanya mempengaruhi magnitude tegangan [V] dan hampir tidak berpengaruh pada sudut fasa tegangan.

2.4.3. Daya dalam Sistem Tenaga Listrik

➤ Daya aktif (*Active Power*)

Secara umum daya aktif dinyatakan oleh persamaan :

$$P = [V][I] \cos \phi \dots \dots \dots (2.7)$$

dimana :

V = tegangan

I = Arus

P = Daya rata-rata yang disebut juga daya aktif.

➤ Daya Reaktif (*Reactive Power*)

Daya reaktif adalah daya yang timbul karena adanya pembentukan medan magnet pada beban-beban induktif (VAR).

Persamaan daya reaktif adalah :

$$Q = [V] [I] \sin \varphi \dots \dots \dots \quad (2.8)$$

Dua macam daya reaktif yaitu : daya reaktif induktif dan daya reaktif kapasitif, dimana keduanya memiliki tanda yang berlawanan. Daya reaktif kapasitif adalah daya yang dibutuhkan oleh kapasitor yang tidak menghasilkan kerja, tetapi tersimpan dalam bentuk energi magnetis atau energi kapasitif.

Daya reaktif induktif adalah daya listrik yang dibutuhkan untuk menghasilkan medan magnet yang dibutuhkan oleh alat-alat seperti motor induksi, transformator dan sebagainya.

➤ Daya Semu (*Apparent Power*)

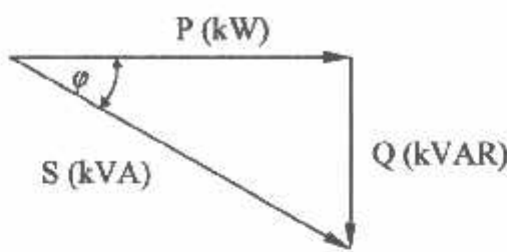
Daya semu merupakan penjumlahan secara vektoris antara daya aktif dan daya reaktif.

➤ Power Factor

Faktor daya pada dasarnya didefinisikan sebagai perbandingan antara daya nyata dan daya semu, dinyatakan oleh persamaan:

$$\text{Faktor Daya} = \frac{\text{Daya Nyata(kW)}}{\text{Daya Semu(kVA)}} \dots \dots \dots \quad (2.9)$$

Untuk daya sendiri dibentuk oleh dua komponen, daya nyata (P) dan komponen daya reaktif (Q). Hubungan ini dapat digambarkan dalam diagram vektor berikut:



Gambar 2.8
Segitiga Daya

Dengan Faktor Daya:

$$\cos \varphi = \frac{P}{S} = \frac{P}{\sqrt{P^2 + Q^2}} = \frac{kW}{kVA}$$

$$kW = kVA \cos \varphi$$

$$kVAR = kVA \sin \varphi = kW \tan \varphi$$

$$\tan \varphi = \frac{kVAR}{kW}$$

dengan:

$\cos \varphi$ = Faktor Daya

P = Daya Nyata (kW)

S = Daya Semu (kVA)

Q = Daya Reaktif (kVAR)

2.4.4. Harmonik

2.4.4.1. Penyebab Distorsi Harmonik

Banyaknya aplikasi beban nonlinier pada sistem distribusi tenaga listrik seperti konverter statis yang berbasis elektronika daya telah membuat arus sistem menjadi sangat terdistorsi dengan persentase kandungan harmonisa arus THD (*total harmonic distortion*) yang sangat tinggi. Umumnya arus sistem distribusi tenaga listrik yang terdistorsi tersebut didominasi oleh arus harmonisa orde ganjil frekuensi rendah, yakni arus harmonisa orde lima, tujuh, sebelas, dan seterusnya,

yang magnitud arus harmonisanya berbanding terbalik dengan orde harmonisanya.

Tingginya persentase kandungan harmonisa arus (THD) pada suatu sistem tenaga listrik dapat menyebabkan timbulnya beberapa persoalan harmonisa yang serius pada sistem tersebut dan lingkungannya, seperti terjadinya resonansi pada sistem yang merusak kapasitor kompensasi faktor daya, membuat faktor daya sistem menjadi lebih buruk, menimbulkan interferensi terhadap sistem telekomunikasi, meningkatkan rugi-rugi sistem, menimbulkan berbagai macam kerusakan pada peralatan listrik yang sensitif, yang kesemuanya menyebabkan penggunaan energi listrik menjadi tidak efektif.

Beberapa metode minimisasi harmonisa arus pada sistem tenaga listrik telah banyak dipresentasikan, misalnya dengan menggunakan filter pasif L-C dan filter aktif. Namun, dalam prakteknya, penggunaan filter pasif L-C mempunyai beberapa kelemahan, antara lain desain ukuran dan berat induktor L dan C yang cukup besar untuk memfilter arus harmonisa orde frekuensi rendah, dan juga dibutuhkan sejumlah filter L-C dengan ukuran yang berbeda untuk memfilter sejumlah arus harmonisa dengan masing-masing ordenya. Selain itu, karakteristik filter L-C sangat dipengaruhi oleh impedansi sistem yang sulit diketahui secara pasti karena selalu berubah terhadap konfigurasi sistem. Sementara itu, filter daya aktif merupakan sebuah inverter PWM sumber arus, sehingga sulit merealisasikannya dalam kapasitas yang besar, disamping biaya investasinya yang tinggi. Dan dikhawatirkan bahwa filter daya aktif juga berfungsi sebagai pembangkit arus harmonisa orde tinggi yang dapat mengganggu sistem telekomunikasi, audio, dan video.

Dalam tulisan ini digunakan metode minimisasi harmonisa arus sistem yang dilakukan dengan mensuper-positikan komponen-komponen arus harmonisa arus yang signifikan dari dua cabang beban sistem sehingga saling meniadakan. Super-positi komponen arus harmonisa pada sistem dapat dilakukan dengan menggeser sudut fasa tegangan suplai beban dengan menggunakan sebuah *Active Power Filter* (APF). Dalam hal ini, APF bertindak sebagai minimisator harmonisa arus sistem. Beberapa konfigurasi APF penggeser fasa dibentuk dan dibandingkan besar masing-masing rating kVA yang dibutuhkannya.

2.4.4.2. Mekanisme Minimisasi Harmonisa Arus Sistem

Gambar 2.9 memperlihatkan sistem distribusi tenaga listrik yang mensuplai beban-beban non-linier yang menyebabkan arus sistem terdistorsi dan mengandung harmonisa arus. Persamaan arus sistem yang mengandung harmonisa dapat dinyatakan sebagai berikut:

Arus sistem $I_s(t)$ sama dengan arus beban total $I_B(t)$, yaitu:

$$i_s(t) = \sqrt{2}I_{s1} \sin(\omega t) + \sum_{h=(6n\pm 1)}^{\infty} \sqrt{2}I_{sh} \sin(h\omega t) \dots \quad (2.10)$$

dengan: $I_s(t)$ adalah nilai sesaat dari arus sistem

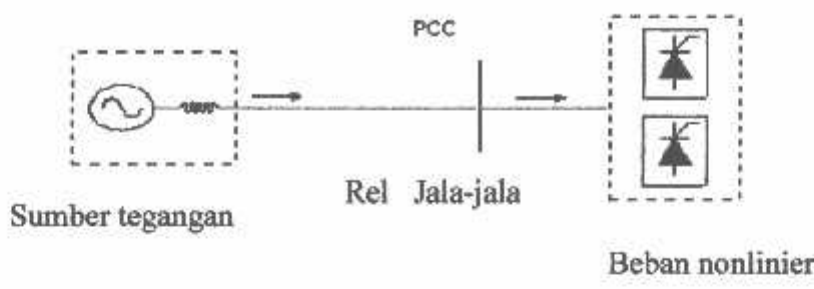
I_{s1} adalah nilai rms dari komponen arus fundamental

I_{sh} adalah nilai rms dari arus harmonisa orde h

h adalah orde harmonisa

n adalah bilangan integer (1,2, 3, ...)

ω sama dengan $2\pi f$, dimana f adalah frekuensi sistem atau frekuensi fundamental



Gambar 2.9
Sistem Yang Mensuplai Beban Non-linier

Komponen arus harmonika dari arus sistem ini mempunyai sifat yang sama dengan komponen arus urutan pada sistem komponen simetris; komponen arus harmonika orde ($h=6n+1$) mempunyai sifat yang sama dengan komponen urutan positif dan dinamakan komponen arus harmonika urutan positif, sedangkan komponen arus harmonika orde ($h=6n-1$) mempunyai sifat yang sama dengan komponen arus urutan negatif dan dinamakan komponen arus harmonika urutan negatif. Umumnya magnitud arus harmonika yang terdapat pada sistem akan berbanding terbalik terhadap ordenya, dan dinyatakan sebagai :

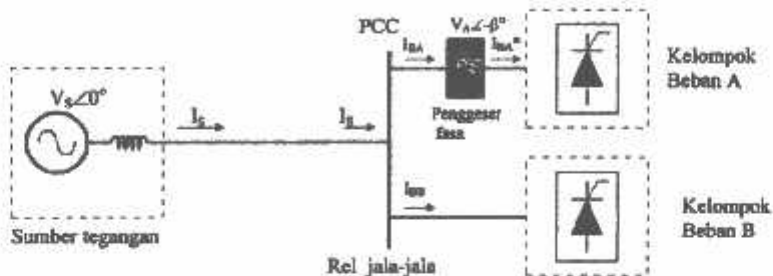
$$I_{sh} = \frac{I_{sl}}{h} \quad \dots \dots \dots \quad (2.11)$$

Persentase kandungan arus harmonika yang terdapat pada suatu sistem atau tingkat distorsi arus sistem dinyatakan dalam THD (*total harmonic distortion*) yang didefinisikan sebagai:

$$THD_{max} = \sqrt{\sum_{h=1}^{\infty} \left(\frac{I_{sh}}{I_{sl}} \right)^2} \times 100\% \quad \dots \dots \dots \quad (2.12)$$

Untuk meminimalkan harmonika arus sistem (THD) agar dapat memenuhi standarisasi dengan metode yang diusulkan ini, dilakukan mekanisme sebagai berikut. Beban sistem dibagi menjadi dua kelompok cabang beban, misalkan kelompok cabang beban A dan B. Kemudian, sudut fasa tegangan suplai untuk salah satu cabang beban digeser sebesar $(-\beta)$ terhadap tegangan sumber dengan

menggunakan sebuah penggeser fasa PS (*phase shifter*), sementara cabang beban lainnya disuplai langsung dari sumber tegangan seperti yang diperlihatkan pada gambar 2.10.



Gambar 2.10
Sistem Yang Mensuplai Dua Cabang Beban

Kelompok beban nonlinier pada cabang B yang langsung disuplai dari sumber tegangan sistem mempunyai persamaan arus di rel jala-jala sebagai berikut :

$$\begin{aligned} i_{BB}(t) &= \sqrt{2}I_{BB} \sin(\omega t) + \sum_{h=(6n\pm 1)}^{\infty} \sqrt{2}I_{BBh} \sin(h\omega t) \\ &= \sqrt{2}I_{BB1} \sin(\omega t) + \sqrt{2}I_{BB5} \sin(5\omega t) \\ &\quad + \sqrt{2}I_{BB7} \sin(7\omega t) + \sqrt{2}I_{BB11} \sin(11\omega t) \\ &\quad + \sqrt{2}I_{BB13} \sin(13\omega t) + \sqrt{2}I_{BB17} \sin(17\omega t) \\ &\quad + \sqrt{2}I_{BB19} \sin(19\omega t) \dots \end{aligned} \quad (2.13)$$

Kelompok beban A yang mendapat tegangan suplai dengan pergeseran sudut fasa sebesar $-\beta^\circ$ terhadap sudut fasa tegangan sumber $V_{S6} 0^\circ$ mempunyai persamaan arus di sisi beban adalah sebagai berikut :

$$\begin{aligned} i_{BA}(t) &= \sqrt{2}I_{BA1} \sin(\omega t - \beta) + \sum_{h=(6n\pm 1)}^{\infty} \sqrt{2}I_{BAh} \sin(h\omega t - \beta) \\ &= \sqrt{2}I_{BA1} \sin(\omega t - \beta) + \sqrt{2}I_{BA5} \sin(5\omega t - \beta) \\ &\quad + \sqrt{2}I_{BA7} \sin(7\omega t - \beta) + \sqrt{2}I_{BA11} \sin(11\omega t - \beta) \\ &\quad + \sqrt{2}I_{BA13} \sin(13\omega t - \beta) + \sqrt{2}I_{BA17} \sin(17\omega t - \beta) \\ &\quad + \sqrt{2}I_{BA19} \sin(19\omega t - \beta) \dots \end{aligned} \quad (2.14)$$

Besar sudut fasa tegangan cabang beban A di sisi jala-jala sistem (input penggeser fasa) sama dengan sudut fasa tegangan sumber, yaitu $V_{S\delta} 0^\circ$, atau sama dengan sudut fasa tegangan di beban A, yaitu $V_{A\delta} (-\beta^\circ)$ yang digeser sebesar $(+\beta^\circ)$. Adanya pergeseran sudut fasa ini juga menyebabkan terjadinya pergeseran sudut fasa pada komponen arus beban A di jala-jala sistem. Sudut fasa komponen arus fundamental I_{BA1} akan tergeser sebesar $(+\beta^\circ)$ dan komponen arus harmonika urutan positif (arus harmonika orde $h = 6n + 1$, yaitu orde 7, 13, 19, ... dst) akan tergeser sebesar $(\beta^\circ h)^\circ$, sedangkan sudut fasa komponen arus harmonika urutan negatif (arus harmonika orde $h = 6n - 1$, yaitu orde 5, 11, 17, ... dst) tergeser sebesar $-(\beta^\circ h)^\circ$. Dengan demikian, dari persamaan (2.14) dapat ditentukan persamaan arus cabang beban A di sisi jala-jala sebagai berikut:

$$\begin{aligned}
 i_{BA}(t) &= \sqrt{2}I_{BA1} \sin(\omega t - \beta^\circ + \beta^\circ) \\
 &\quad + \sqrt{2}I_{BA5} \sin(5\omega t - \beta^\circ - 5\beta^\circ) \\
 &\quad + \sqrt{2}I_{BA7} \sin(7\omega t - \beta^\circ + 7\beta^\circ) \\
 &\quad + \sqrt{2}I_{BA11} \sin(11\omega t - \beta^\circ - 11\beta^\circ) \\
 &\quad + \sqrt{2}I_{BA13} \sin(13\omega t - \beta^\circ - 13\beta^\circ) \\
 &\quad + \sqrt{2}I_{BA17} \sin(17\omega t - \beta^\circ - 17\beta^\circ) \\
 &\quad + \sqrt{2}I_{BA19} \sin(19\omega t - \beta^\circ - 19\beta^\circ) \\
 &= \sqrt{2}I_{BA1} \sin(\omega t) + \sqrt{2}I_{BA5} \sin(5\omega t - 6\beta^\circ) \\
 &\quad + \sqrt{2}I_{BA7} \sin(7\omega t + 6\beta^\circ) \\
 &\quad + \sqrt{2}I_{BA11} \sin(11\omega t - 12\beta^\circ) \\
 &\quad + \sqrt{2}I_{BA13} \sin(13\omega t + 12\beta^\circ) \\
 &\quad + \sqrt{2}I_{BA17} \sin(17\omega t - 18\beta^\circ) \\
 &\quad + \sqrt{2}I_{BA19} \sin(19\omega t + 18\beta^\circ) \dots \dots \dots \quad (2.15)
 \end{aligned}$$

Besar arus sistem I_s pada jala-jala (PCC) atau pada sumber tegangan adalah penjumlahan arus cabang beban A dan cabang beban B. Dari persamaan (2.14) dan (2.15) dapat ditentukan besar arus sistem I_s sebagai berikut:

$$\begin{aligned} i_s(t) &= i_{BA1}(t) + i_{BB1}(t) \\ &= \sqrt{2} [\{ I_{BA1} + I_{BB1} \} \sin(\omega t) \\ &\quad + I_{BA3} \sin(5\omega t - 6\beta^\circ) + I_{BB3} \sin(5\omega t) \\ &\quad + I_{BA7} \sin(7\omega t + 6\beta^\circ) + I_{BB7} \sin(7\omega t) \\ &\quad + I_{BA11} \sin(11\omega t - 12\beta^\circ) + I_{BB11} \sin(11\omega t) \\ &\quad + I_{BA13} \sin(13\omega t + 12\beta^\circ) + I_{BB13} \sin(13\omega t) \\ &\quad + I_{BA17} \sin(17\omega t - 18\beta^\circ) + I_{BB17} \sin(17\omega t) \\ &\quad + I_{BA19} \sin(19\omega t - 18\beta^\circ) + I_{BB19} \sin(19\omega t)] \dots \dots \dots (2.16) \end{aligned}$$

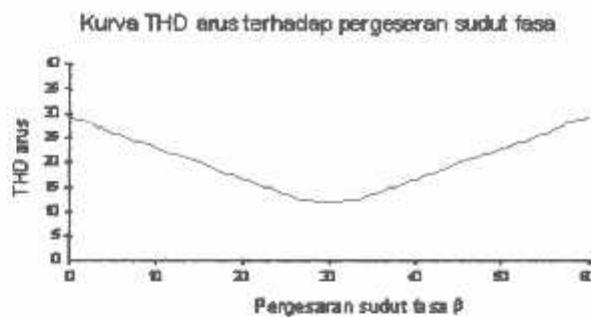
Apabila diasumsikan bahwa besar magnitud arus cabang A dan B adalah sama besar, yakni:

$$\begin{aligned} I_{AB1} &= I_{BB1} = I_B = \frac{1}{2} I_s \\ I_{ABh} &= I_{BBh} = I_Bh = \frac{1}{2} I_{sh} \end{aligned}$$

maka persamaan (2.16) arus sistem I_s dapat ditulis menjadi:

$$\begin{aligned} i_s(t) &= \sqrt{2} [I_{S1} \sin(\omega t) + \frac{1}{2} \{ I_{S5} \sin(5\omega t - 6\beta^\circ) \\ &\quad + I_{S3} \sin(5\omega t) + I_{S7} \sin(7\omega t + 6\beta^\circ) \\ &\quad + I_{S7} \sin(7\omega t) + I_{S11} \sin(11\omega t - 12\beta^\circ) \\ &\quad + \sqrt{2} I_{BB7} \sin(7\omega t) + \sqrt{2} I_{BB11} \sin(11\omega t) \\ &\quad + I_{S13} \sin(\omega t) + I_{S17} \sin(5\omega t - 18\beta^\circ) \\ &\quad + I_{S17} \sin(5\omega t) + I_{S19} \sin(19\omega t + 18\beta^\circ) \\ &\quad + I_{S19} \sin(19\omega t + 18\beta^\circ) \}] \dots \dots \dots (2.17) \end{aligned}$$

Dengan melakukan perubahan besar sudut pergeseran fasa β pada persamaan (8), akan didapatkan grafik nilai THD arus sistem terhadap sudut pergeseran fasa (β) yang diperlihatkan pada gambar berikut ini.



Gambar 2.11
Kurva THD arus sistem terhadap pergeseran
sudut fasa tegangan

Hasil simulasi pada gambar 2.11 memperlihatkan bahwa THD arus sistem I_s akan mencapai nilai minimum, yaitu $THD = 11,09\%$ pada sudut pergeseran fasa sebesar $\beta = 30^\circ$.

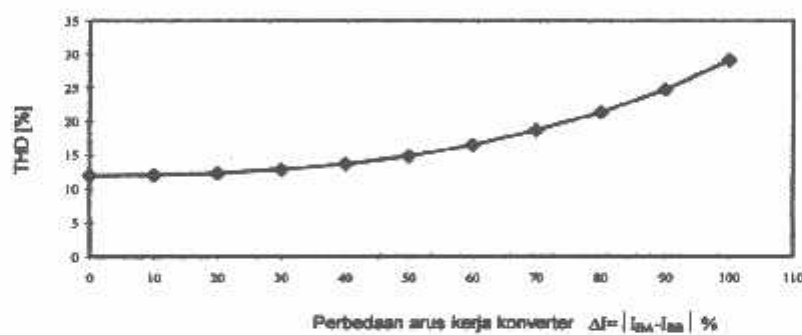
Dengan mensubtitusikan nilai $\beta = 30^\circ$ ke dalam persamaan (8) akan didapatkan persamaan arus sistem sebagai berikut :

$$i_s(t) = \sqrt{2}[I_{S1} \sin(\omega t) + I_{S11} \sin(11\omega t) + I_{S13} \sin(13\omega t) + \dots] \quad (2.18)$$

Di sini terlihat bahwa arus sistem I_s tidak mengandung komponen arus harmonis orde 5, 7, 17, 19 ... dan seterusnya, karena komponen-komponen ini, dari kedua cabang beban A dan B, saling meniadakan (sudut fasanya berlawanan), sehingga kondisi ini membuat THD arus sistem menjadi minimum. Dengan kata lain, arus harmonis pada sistem dapat diminimisasi dengan melakukan penggeseran sudut fasa tegangan beban sebesar 30° .

Hasil minimisasi harmonis arus atau THD arus sistem juga sangat dipengaruhi oleh kondisi besar perbedaan arus kerja masing-masing cabang beban. Gambar 2.10 memperlihatkan THD arus sistem yang dipengaruhi oleh besarnya perbedaan antara arus cabang beban A dan B.

Kondisi terburuk didapat pada nilai THD arus sistem sebesar 32,4%, yaitu perbedaan arus cabang beban A dan B adalah 100%; artinya, sistem hanya mensuplai satu cabang beban. Kondisi ini sama dengan kondisi tanpa dilakukan minimisasi harmonisa arus (tanpa penggeseran sudut fasa). Kondisi terbaik dengan THD sistem sebesar 11,09% didapatkan pada perbedaan arus kerja cabang beban A dan B sebesar 0%, yakni besar magnitud arus cabang A dan B sama besar. Kondisi ini adalah kondisi harmonisa arus sistem paling minim.



Gambar 2.12
Pengaruh perbedaan arus kerja cabang beban A dan B terhadap THD arus di sumber tegangan.

Derek A. Paice memberikan suatu formulasi praktis yang dapat digunakan untuk menentukan nilai sudut pergeseran fasa (β) yang dibutuhkan dalam meminimisasi harmonisa arus dari sejumlah cabang beban-nolinier adalah sebagai berikut:

$$\beta = \frac{60^\circ}{\text{Jumlah cabang beban nonlinier}} \dots\dots\dots(2.19)$$

Misalkan suatu sistem distribusi tenaga listrik mempunyai lima cabang beban nonlinier seperti pada gambar 5, maka besar sudut pergeseran fasa yang diperlukan adalah $\beta = 60^\circ/5 = 12^\circ$.

2.5. Peralatan Elektronika Daya dalam Sistem Distribusi Tenaga Listrik

2.5.1. *Transistor Bipolar*

transistor bipolar sangat lebih lambat daripada MOSFET. Secara prinsip, hal ini disebabkan oleh waktu gulir mati (*turn-off*) piranti bipolar yang lebih panjang. Kedua adalah resistansi saat kondisi menyambung (*on-state*) piranti bipolar yang relatif tak bergantung (bersifat invarian) terhadap temperatur, dibandingkan dengan adanya nilai koefisien temperatur yang tinggi pada MOSFET. Informasi koefisien temperatur ini merupakan pertimbangan penting dalam perencanaan batas aman thermal pada sistem-sistem yang berdaya tinggi.

2.5.2. *Metal Oxide Semiconductor FET (MOSFET)*

Power MOSFET adalah piranti elektronika daya konvensional yang beroperasi pada tegangan tinggi dan rugi konduksi yang rendah. Sebelum adanya kemajuan kinerja *power MOSFET*, gelanggang penyakelar daya dulunya memang didominasi oleh BJT (*bipolar junction transistor*), dan SCR yang sulit untuk dimatikan (*turn-off*) dan lambat. MOSFET merupakan piranti elektronik yang dikemudikan oleh tegangan, dengan kebutuhan akan daya pengemudi yang relatif kecil saja. Sementara itu, pada transistor bipolar yang sifatnya dikemudikan oleh arus (arus keluaran dibagi oleh h_{FE}), ia memerlukan pengemudi dengan daya yang relatif lebih besar.

Dalam hal kapasitansi masukan, untuk MOSFET, bergantung pada ratingnya (kemampuan arusnya). Kapasitansi ini dapat menjadi demikian besar, sehingga rangkaian pengemudinya dituntut memiliki kemampuan untuk mengisi dan

membuang dengan cepat muatan kapasitansi yang besar ini. Rugi penyakelaran (*switching losses*) dari piranti ini sangat kecil, hal ini menadakan bahwa MOSFET memiliki transisi saat menyambung (*turn-on*) dan memutus (*turn-off*) sangat cepat.

2.5.3. Insulated Gate Bipolar Transistor (IGBT)

IGBT (*Insulated Gate Bipolar Transistor*), merupakan piranti atau komponen aktif pokok yang kini banyak digunakan dalam bidang Elektronika Daya; seperti UPS (*Uninterruptible Power Supply*), dan sistem pengendali daya/motor-motor besar di bidang industri.

Adanya suatu kendala tentang kecepatan respon penyakelar (*Switching Devices*) antara lain sulit untuk dimatikan (*turn-off*) dan lambat. Maka dalam hal ini dipilih IGBT yang memiliki kemampuan lebih baik.

2.5.4. Perbandingan Umum Antara Kinerja MOSFET dan IGBT

Perbandingan kinerja penyakelaran MOSFET dan IGBT secara singkat dinyatakan dalam Tabel 1. Untuk tujuan komparasi, Tabel 1 tersebut juga menyertakan pula perbandingannya dengan transistor bipolar. Besaran tegangan kolektor-emitor dalam kondisi menyambung atau jenuh (V_{CEsat}) yang biasa digunakan untuk menggambarkan karakter suatu IGBT, dalam Tabel 1 tersebut ditranslasikan ke dalam besaran resistansi kolektor-emitor dalam kondisi menyambung (R_{on}).

Tabel 2.1.
Perbandingan tiga piranti penyakelar daya untuk kemampuan
(*rating*) yang setara

Karakteristik	MOSFET	IGBT	Bipolar
Kemampuan arus (A)	20	20	20
Kemampuan tegangan (V)	500	600	500
R_{on} (ohm) Pada 25°C	0,2	0,24	0,18
R_{on} (ohm) Pada 150°C	0,6	0,23	0,24
Waktu turun (nanodetik)	40	200	200

Dua fakta yang bersumber pada Tabel 2.1 tersebut adalah bahwa; pertama, transistor bipolar sangat lebih lambat daripada MOSFET. Secara prinsip, hal ini disebabkan oleh waktu gulir mati (*turn-off*) piranti bipolar yang lebih panjang. Kedua adalah resistansi saat kondisi menyambung (*on-state*) piranti bipolar yang relatif tak bergantung (bersifat invarian) terhadap temperatur, dibandingkan dengan adanya nilai koefisien temperatur yang tinggi pada MOSFET. Informasi koefisien temperatur ini merupakan pertimbangan penting dalam perencanaan batas aman thermal pada sistem-sistem yang berdaya tinggi.

Tabel 2.2 menyatakan perbandingan yang lebih umum mengenai karakteristik penyakelarannya. Disebabkan oleh struktur masukan gate-nya, MOSFET dan IGBT merupakan piranti elektronik yang dikemudikan oleh tegangan, dengan kebutuhan akan daya pengemudi yang relatif kecil saja. Sementara itu, pada transistor bipolar yang sifatnya dikemudikan oleh arus (arus keluaran dibagi oleh h_{FE}), ia memerlukan pengemudi dengan daya yang relatif lebih besar.

Dalam hal kapasitansi masukan, untuk MOSFET dan IGBT, bergantung pada ratingnya (kemampuan arusnya). Kapasitansi ini dapat menjadi demikian besar,

sehingga rangkaian pengemudinya dituntut memiliki kemampuan untuk mengisi dan membuang dengan cepat muatan kapasitansi yang besar ini.

IGBT tampaknya memang menawarkan rating kemampuan arus yang lebih baik. Namun demikian, kekurangan dan kelebihan masing-masing piranti yang tercantum pada Tabel 2.2 tersebut dapat digunakan sebagai acuan untuk memilih salah satu di antara ketiganya.

Tabel 2.2
Perbandingan Karakteristik Piranti Penyakelar Daya

Karakteristik	MOSFET	IGBT	Bipolar
Tipe pengemudi	Tegangan	Tegangan	Arus
Daya pengemudi	minimum	Minimum	Besar
Tingkat kerumitan pengemudi	Sederhana	Sederhana	Cukupan atau sedang
Kemampuan arus pada nilai tegangan drop di ujung-ujung terminal piranti	Tinggi pada teg. rendah; rendah pada teg. tinggi	Sangat tinggi (terpengaruh oleh kecepatan penyakelaran)	Cukupan (sangat terpengaruh oleh kecepatan penyakelaran)
Rugi penyakelaran	Sangat rendah	Rendah sampai sedang (dipengaruhi oleh rugi konduksi)	Sedang sampai tinggi (dipengaruhi oleh rugi konduksi)

Untuk mempertahankan nilai resistansi yang tetap rendah, pembuat IGBT membuat kemampuan arus yang lebih rendah untuk tipe yang lebih cepat. Sebagai contoh, Perusahaan *International Rectifier* (IR) di pasaran menawarkan tiga tipe IGBT; yakni tipe standar, cepat dan ultra cepat. IR mendeskripsikan kemampuan arus dengan perbandingan terbalik terhadap kecepatan penyakelarannya. Sementara itu V_{CE} saturasinya naik berturut-turut untuk masing-masing tipe tersebut menjadi; 1.3, 1.5 dan 1.9 Volt.

Parameter terakhir dalam Tabel 2.2 tersebut adalah rugi penyakelaran (*switching losses*), yang mencerminkan kecepatan penyakelaran dari ketiga piranti

elektronik tersebut. Untuk MOSFET, baik transisi saat menyambung (*turn-on*) dan memutus (*turn-off*) sangat cepat. Sedang untuk IGBT, kita dihadapkan pada kenyataan bahwa ada perimbangan dalam hal kecepatan penyakelaran versus kemampuan arus; jenis yang lebih cepat akan mengalami rugi konduksi yang lebih tinggi. Waktu penyakelaran pada IGBT sebagian besar didominasi oleh waktu saat menyambung, sehingga secara garis besar membatasi penggunaannya dalam sistem yang beroperasi pada laju penyakelaran yang lebih rendah daripada 100 kHz.

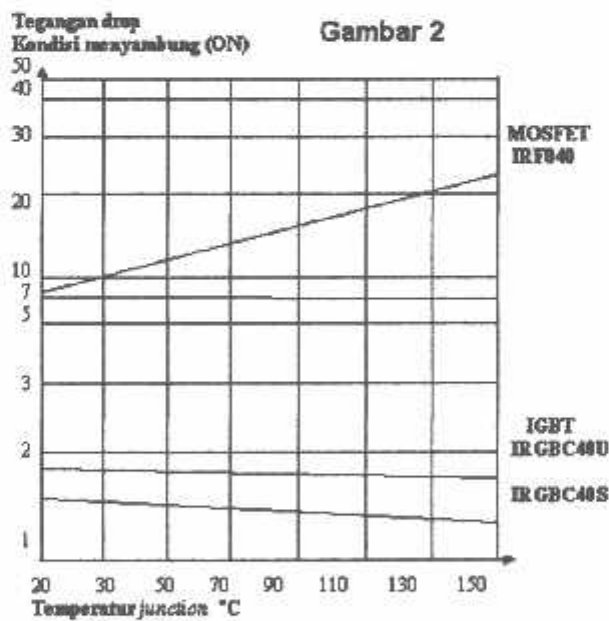
Tabel 2.3
Perbandingan tegangan drop dan rating tegangan
antara IGBT dan MOSFET

Rating Tegangan (Volt)	IGBT	100	300	600	1200
	MOSFET	100	250	500	1000
Tegangan drop untuk 1,7 amper per mm ² pada temperatur 100°C (Volt)	IGBT	1,5	2,1	2,4	3,1
	MOSFET	2,0	11,2	26,7	100

Tabel diatas menunjukkan perbandingan IGBT dengan MOSFET dalam hal rugi konduksi yang dinyatakan dalam bentuk tegangan drop (tegangan yang terdapat pada kedua ujung terminalnya saat pirantai tersebut dalam keadaan menyambung) untuk kondisi kemampuan arus pada luasan (area) piranti maupun temperatur yang sama. Pada MOSFET, untuk kemampuan arus yang sama per satuan luasan silikon, resistansi dalam kondisi menyambung naik secara eksponensial terhadap rating tegangannya. Sementara itu, untuk piranti IGBT (yang dinyatakan dalam besaran tegangan kolektor-emitor jenuh ketimbang resistansi dalam kondisi menyambung) lebih mampu mempertahankan rugi konduksi yang rendah untuk semua rating tegangan. Dari Tabel 2.3 tersebut juga

dapat diketahui bahwa MOSFET memiliki rating tegangan yang sedikit lebih rendah daripada IGBT.

Perbandingan MOSFET dan IGBT untuk luasan die (irisian tipis bahan semikonduktor yang dipakai untuk membuat transistor atau piranti semikonduktor lainnya) yang sama, secara grafis dinyatakan dalam Gambar 2.13. Pada gambar tersebut, jelas tampak bahwa IGBT memiliki rugi pada kondisi menyambung lebih rendah. Grafik tersebut menunjukkan tegangan drop dalam kondisi menyambung untuk sebuah MOSFET dan dua IGBT hasil produksi IR untuk arus beban 10 ampere. Piranti yang memiliki rugi yang paling rendah dalam gambar tersebut adalah IRGBC40S, yakni IGBT tipe standar. Tipe ultra cepatnya; IRGBC40U menawarkan penyakelaran yang lebih cepat, namun rugi dalam kondisi menyambungnya juga lebih tinggi.



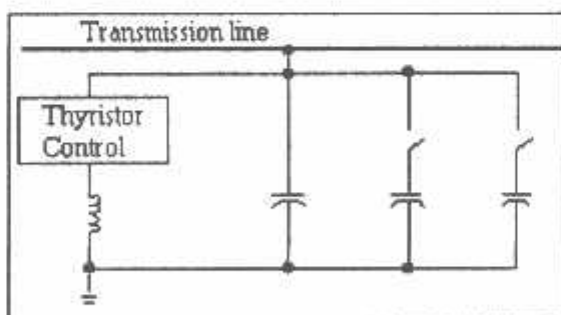
Gambar 2.13
Tegangan Drop Dalam Kondisi Menyambung
Untuk Sebuah MOSFET dan Dua IGBT

2.6. Peralatan Kompensasi dalam Sistem Tenaga Listrik

2.6.1. *Static VAR Compensator (SVC)*

Perkembangan teknologi FACTS telah mengalami dua generasi. Generasi pertama menghasilkan dua jenis peralatan. Alat pertama diberi nama *Static Var Compensator (SVC)* yang sudah diimplementasikan pada jaringan transmisi listrik semenjak pertengahan tahun 70-an. SVC berfungsi sebagai pemelihara kestabilan kondisi *steady state* dan dinamika tegangan dalam batasan yang sudah ditentukan pada jaringan transmisi berjarak jauh dan berbeban tinggi (*heavily loaded*). Fungsi SVC diperoleh dengan menggunakan thyristor yang secara cepat dapat menghubungkan atau memutuskan induktor ataupun kapasitor pada jaringan transmisi. Namun kekurangannya, alat ini tidak dapat dipergunakan sebagai alat pengendali aliran daya listrik aktif (*active power*) yang sangat vital dalam sistem jaringan transmisi listrik AC. Lain dari itu, SVC juga didapati sangat rendah efisiensinya jika terjadi turunnya tegangan dari transmisi secara drastis. Demonstrasi pertama pemasangan SVC dilaksanakan tahun 1978 pada jaringan transmisi 115kV Minnesota Power & Light dan telah berhasil menunjukkan perbaikan kendali stabilisasi dan tegangan pada jaringan transmisi tersebut.

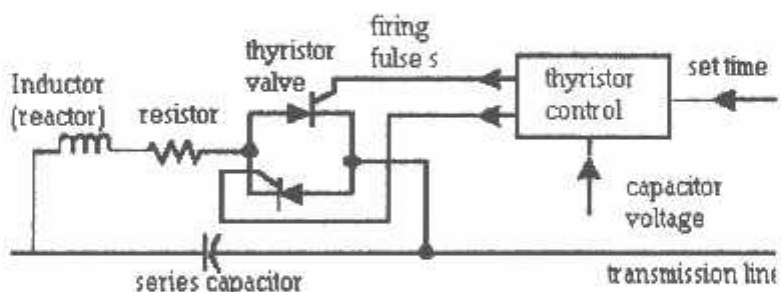
Gambar 2.14 menunjukkan contoh dari topologi SVC.



Gambar 2.14
Static VAR Compensator

2.6.2. NGH – Sub Synchronous Resonance (SSR)

Alat berikutnya yang dikembangkan pada generasi pertama diberi nama NGH-SSR (*Narain G. Hingorani – SubSynchronous Resonance*) Damper. Alat ini dirancang untuk mengatasi permasalahan subsynchronous resonance (SSR) yang ditemukan pada jaringan transmisi listrik AC. Jaringan transmisi 500kV Southern California Edison dijadikan tempat pemasangan pertama dari alat ini pada tahun 1980-an setelah SSR mengakibatkan kerusakan fatal pada salah satu generatornya. NGH-SSR seperti yang ditunjukkan gambar 2.15 juga terdiri dari thyristor yang dihubungkan dengan induktor dan tahanan secara seri. Alat inilah yang kemudian menjadi cikal bakal dari salah satu alat yang dikembangkan dalam generasi kedua FACTS yaitu alat yang dikenal dengan nama Thyristor Controlled Series Capacitor (TCSC).

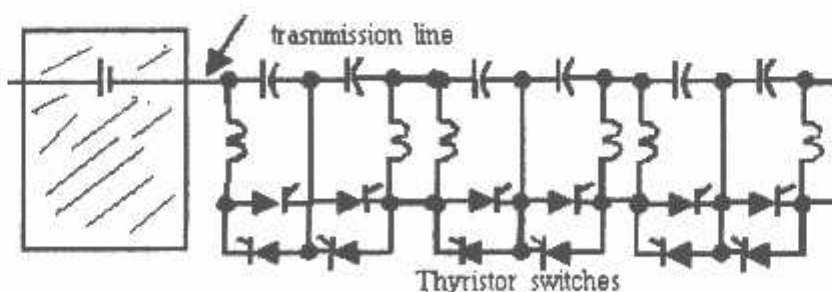


Gambar 2.15
NGH - SubSynchronous Resonance

2.6.3. Thyristor Controlled Series Capacitor (TCSC)

Semakin berkembangnya teknologi dibidang pembuatan Thyristor mendorong terciptanya generasi kedua dari FACTS. Pada generasi kedua beberapa peralatan FACTS baru telah dikembangkan. Pertama adalah alat yang diberi nama *Thyristor Controlled Series Capacitor* (TCSC) yang berfungsi

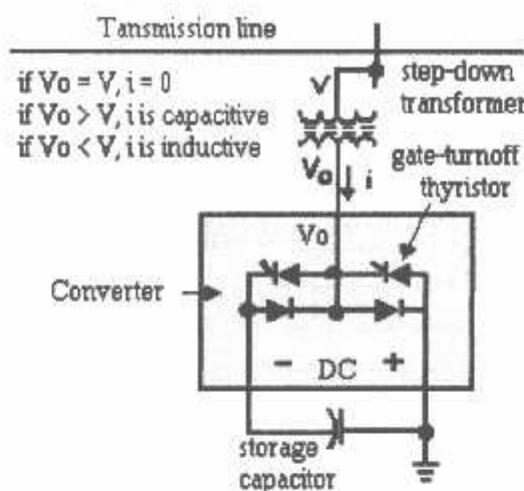
sebagai pengendali impedansi dari jaringan transmisi. Seperti diketahui, impedansi sepanjang jaringan transmisi umumnya bersifat induktif sedangkan yang bersifat resistif hanya berkisar 5 sampai 10 persen. Ini berarti akan terasa sangat besar manfaatnya apabila kita mampu mengendalikan impedansi transmisi yang bersifat induktif pada kondisi stabil (*steady state impedance*). Hal ini dapat ditempuh dengan cara penambahan kapasitor dan induktor secara seri. Penghubungan kapasitor secara seri akan berakibat pengurangan impedansi pada transmisi sedangkan penghubungan induktor secara seri akan berarti penaikan impedansi pada transmisi yang sama. Gambar 2.16 menunjukkan contoh dari TCSC yang telah dipasang pada jaringan transmisi 500kV milik Bonneville Power Administration (BPA) dinegara bagian Oregon. Studi kasus pemasangan TCSC yang telah dilaksanakan oleh Electric Power Research Institute (EPRI) pada satu jaringan transmisi menunjukkan bahwa TCSC berhasil meningkatkan kuantitas aliran daya (dalam MW) sebanyak 30% dengan sekaligus menjaga stabilitas sistem jaringan transmisi tersebut. Hal ini yang mengakibatkan pemasangan TCSC, menurut studi kasus pada jaringan transmisi tersebut, akan memberikan keuntungan sebesar kurang lebih \$68 juta US dolar setiap tahunnya.



Gambar 2.16
Thyristor Controlled Series Capacitor (TCSC)

2.6.4. *Static Condenser* (STATCON)

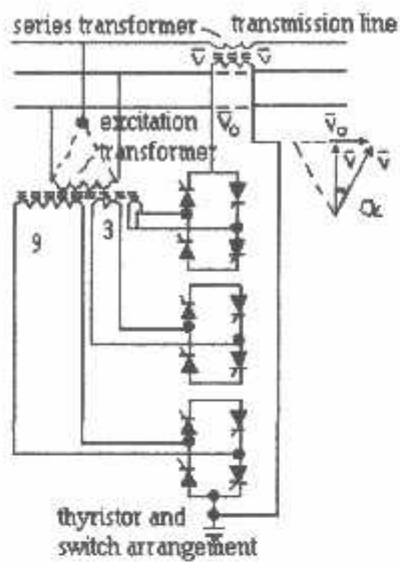
Alat yang kedua diberi nama *Static Condenser* (STATCON) dan berfungsi sebagai penyedia Volt Amp Reactive (VAR) untuk menjaga kestabilan tegangan pada jaringan transmisi yang panjang dan berbeban tinggi (*heavily loaded*). Pada akhirnya nanti, STATCON diharapkan untuk dapat menggantikan pemakaian alat *Rotating Synchronous Condensers* yang kini umum dipasang. STATCON adalah alat FACTS pertama yang menggunakan tipe thyristor berbeda dari peralatan FACTS sebelumnya. Jenis thyristor yang dipakai adalah jenis GTO (Gate Turned-Off). Pada dasarnya, STATCON adalah alat yang berbasis inverter tiga fasa yang dihasilkan oleh tegangan satu arah (dc) dari kapasitor seperti yang diilustrasikan oleh Gambar 2.17. Pada gambar tersebut, jika tegangan V_0 lebih tinggi (atau lebih rendah) dari pada tegangan sistem transmisi V , maka selisih sudut fasa dari kedua tegangan tersebut akan menentukan jumlah arus listrik yang mengalir serta arus listrik akan menjadi lead (atau lag). Dengan jalan demikian, maka daya reaktif beserta arahnya pada sistem transmisi akan dapat dikendalikan secara cepat dan berkelanjutan (continuous). Dua contoh studi kasus pemasangan STATCON di Amerika Serikat telah dilaksanakan dengan hasil yang memuaskan. Percobaan pertama adalah pemasangan 1 Mvar STATCON pada jaringan transmisi milik Orange & Rockland Utilities Inc. di negara bagian New York pada tahun 1989. Sedangkan studi kasus berikutnya adalah pemasangan 100-Mvar STATCON pada tahun 1995 di jaringan transmisi Sullivan milik Tennessee Valley Authority (TVA) di negara bagian Tennessee.



Gambar 2.17
Static Condenser (STATCON)

2.6.5. Thyristor Controlled Phase Angle Regulator (TCPR)

Selanjutnya adalah alat FACTS yang disebut TCPR kependekan dari *Thyristor Controlled Phase angle Regulator*. Fungsi dari alat ini tidak lain adalah sebagai pengendali selisih sudut fasa pada tegangan dari kedua ujung jaringan transmisi yang sama. Fungsi tersebut dimungkinkan dengan cara menyuntikan tegangan secara seri pada jaringan transmisi listrik. Gambar 2.18 menunjukkan konsep dari TCPR ini. Penambahan sudut fasa α pada tegangan transmisi V dicapai dengan cara menambahkan tegangan V_q yang tegak lurus terhadap V . Tegangan V_q sendiri dihasilkan dari tegangan sekunder dari transformer yang dihubungkan ke dua fasa dari sistem transmisi tiga fasa ini. Percobaan pemasangan TCPR telah dilaksanakan dengan sukses diberbagai lokasi jaringan transmisi di Amerika Serikat. Salah satu contoh adalah pemasangan TCPR di jaringan transmisi 230kV milik Minnesota Power yang telah terbukti mampu menghasilkan selisih sudut fasa dengan sangat cepat.

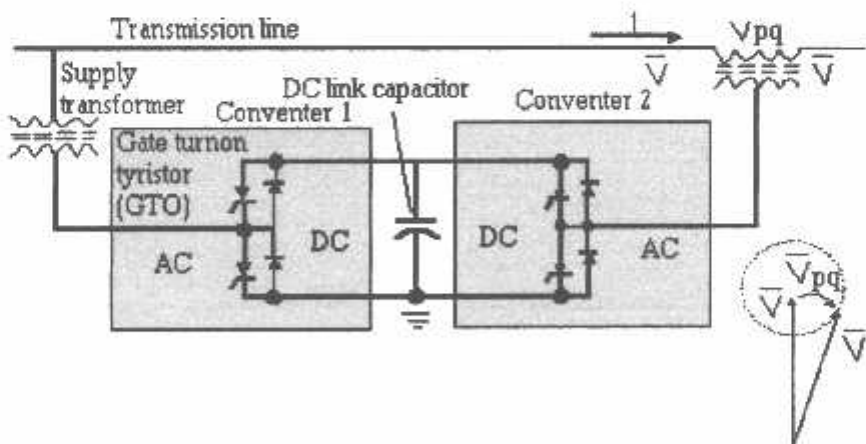


Gambar 2.18
Thyristor Controlled Phase angle Regulator (TCPR)

2.6.6. *Unified Power Flow Controller* (UPFC)

Alat selanjutnya adalah konsep lain dari pengaturan selisih sudut fasa seperti pada TCPR. Alat ini diberi nama *Unified Power Flow Controller* (UPFC) yang mana perancangannya berbasis inverter dengan menggunakan thyristor. Sebagaimana diilustrasikan pada gambar 2.19, pada UPFC, vektor tegangan V_{pq} yang dihasilkan oleh inverter disuntikkan secara seri ke jaringan transmisi. Tegangan searah (dc) yang digunakan inverter ini didapatkan dari hasil penyearah (*rectification*) tegangan dari transmisi yang sama. UPFC merupakan alat kendali daya aktif dan daya reaktif secara terpisah pada transmisi listrik dan dapat dipasang pada ujung pengirim maupun penerima daya. Lebih penting lagi, UPFC juga merupakan alat pengendali daya yang sangat fleksibel karena dapat menggunakan salah satu ataupun kombinasi parameter dasar dari sistem aliran daya yaitu tegangan transmisi, impedansi transmisi, dan selisih sudut fasa transmisi. Hal ini merupakan suatu keuntungan karena dengan pemasangan satu UPFC yang dapat

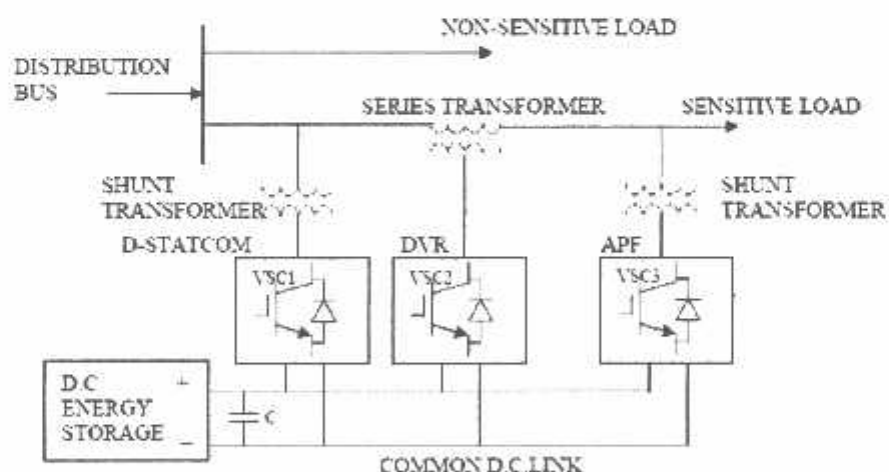
mengendalikan ketiga parameter tersebut, maka tidak hanya sistem jaringan transmisi akan menjadi lebih baik, tetapi juga akan menjadi lebih murah dan mudah dalam pemeliharaan dan pengoperasiannya. Dengan kata lain, pemasangan satu UPFC akan sama halnya dengan pemasangan alat TCSC, STATCON dan TCPR secara bersamaan. Studi kasus terhadap UPFC, baik itu dalam skala besar maupun kecil telah berhasil dilaksanakan. Sebagai contoh, 1060 MVA UPFC telah dipasang pada jaringan transmisi 500kV yang menghubungkan kota Phoenix (negara bagian Arizona) dengan kota Las Vegas (negara bagian Nevada) dan kota Los Angeles (negara bagian California). Gangguan tiga fasa pada satu titik di jaringan tersebut disimulasikan untuk menginvestigasi reaksi UPFC dan peralatan konvesional. Hasil simulasi menunjukkan UPFC memberikan reaksi lebih stabil dibandingkan dengan reaksi peralatan konvesional. Tegangan dari transmisi menunjukkan lebih kurang osilasinya dengan menggunakan UPFC dibandingkan pemasangan peralatan lama. Dengan demikian, UPFC merupakan alat yang dapat diandalkan untuk pengendalian aliran daya listrik dengan sekaligus menjaga kestabilan sistem jaringan transmisi itu sendiri.



Gambar 2.19
Unified Power Flow Controller (UPFC)

2.6.7. Universal Custom Power Conditioner (UCPC)

Alat UCPC memiliki kesamaan konstruksi dengan *unified power flow controller* (UPFC). UPFC memberikan pengaturan kompensasi shunt dan atau seri. Suatu sistem distribusi tenaga mengandung ketidakseimbangan, penyimpangan dan komponen DC. Suatu UCPC harus beroperasi dengan semua aspek ini untuk memberikan kompensasi shunt atau seri, peningkatan kualitas suplai daya dan keandalan sistem tenaga. Ini merupakan suatu kombinasi DSTATCOM, DVR dan APF. Topologi utama UCPC yaitu mempunyai satu unit penyimpanan energi DC dan tiga sumber tegangan konverter dihubungkan dengan jaringan DC. Sistem yang ditawarkan tidak hanya beroperasi sebagai D-Statcom Atau DVR atau APF, tetapi bertindak sebagai suatu pengatur kualitas daya yang lengkap. Komponen seri Rangkaian UCPC terpasang tegangan agar memelihara keseimbangan dan distorsi tegangan bebas pada terminal beban.



Gambar 2.20
Diagram Blok Fungsional dari UCPC

Secara simultan, komponen shunt UCPC menginjeksi arus dalam sistem AC seperti arus yang memasuki bus dimana UCPC dihubungkan adalah sinusoida seimbang.

Sasaran hasil Keduanya harus memenuhi masing-masing keseimbangan dan distorsi di dalam salah satu sumber atau sisi beban. Tiga konverter Sumber tegangan digunakan untuk mensuplai tegangan rangkaian, injeksi arus shunt dan penyaring daya aktif. Konverter Sumber Tegangan 1 pada gambar 2.18 digunakan untuk menyediakan kebutuhan tegangan DC Konverter 2. Konverter 3 digunakan sebagai suatu filter daya aktif untuk memberikan suatu impedansi rendah dan kendali faktor daya beban yang tidak linier tersebut. UCPC dirancang untuk menyediakan daya yang bersih dan tidak terganggu oleh tegangan beban sensitif.

BAB III

PERBAIKAN KUALITAS DAYA MENGGUNAKAN *UNIVERSAL CUSTOM POWER CONDITIONER (UCPC)*

3.1. *Software PSCAD/EMTDC V4.2 Power Simulation*

PSCAD (*Power System CAD*) adalah *graphical user interface* yang sangat kokoh dan fleksibel. PSCAD memungkinkan pengguna menggambar, mengkonstruksi sebuah rangkaian, menjalankan sebuah simulasi, analisa hasil dan manajemen data terintegrasi secara lengkap. Penggambaran, pengontrolan dan pengukuran juga tersedia, jadi pengguna dapat mengubah parameter sistem, menjalankan simulasi dan melihat hasil secara langsung.

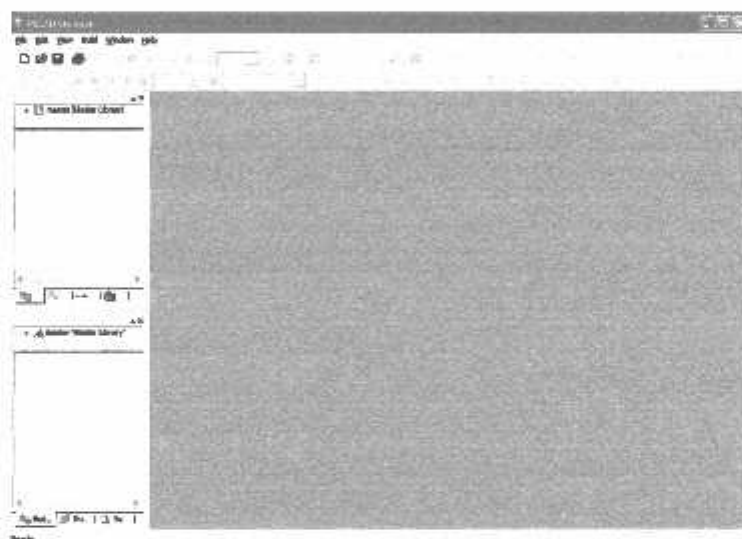
Dibawah ini adalah model umum yang terdapat di dalam studi system menggunakan PSCAD/EMTDC:

- Resistors, inductors, capacitors
- Mutually coupled windings, such as transformers
- Frequency dependent transmission lines and cables (including the most accurate time domain line model in the world)
- Current and voltage sources
- Switches and breakers
- Protection and relaying
- Diodes, thyristors and GTOs
- Analog and digital control functions

- AC and DC machines, excitors, governors, stabilizers and inertial models
- Meters and measuring functions
- Generic DC and AC controls
- HVDC, SVC, and other FACTS controllers
- Wind source, turbines and governors

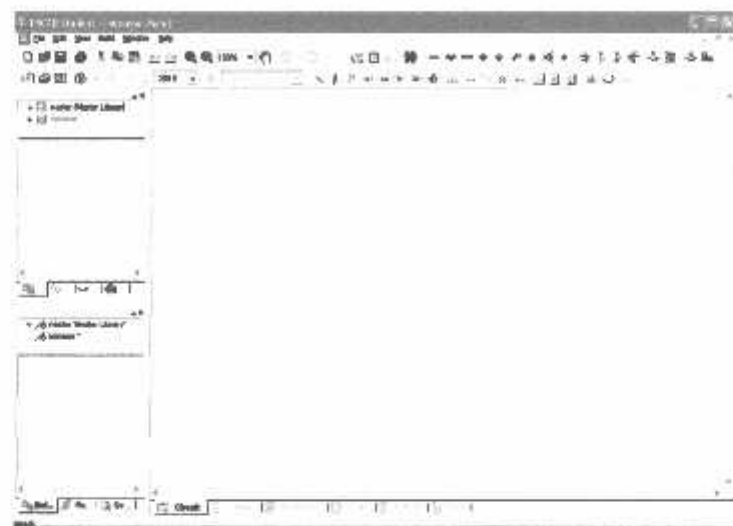
3.2. Memulai PSCAD/EMTDC *Power Simulation*

▪ Tampilan Utama PSCAD



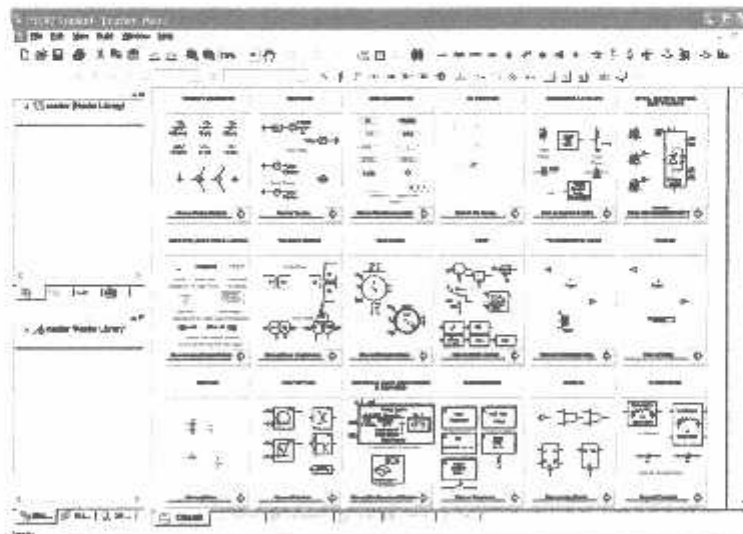
Gambar 3.1.
Tampilan Utama Software PSCAD Power Simulation

- Untuk memulai membuat *single line* baru maka kita klik: *File > New > Case*. Setelah melakukan prosedur di atas secara default PSCAD akan memberi nama *file* baru yang kita buat dengan nama “*noname*”. *Double click* *file* baru yang sudah dibuat, maka akan muncul tampilan seperti di bawah ini, komponen-komponen dirangkai dalam modul ini. Lihat Gambar 3.2.



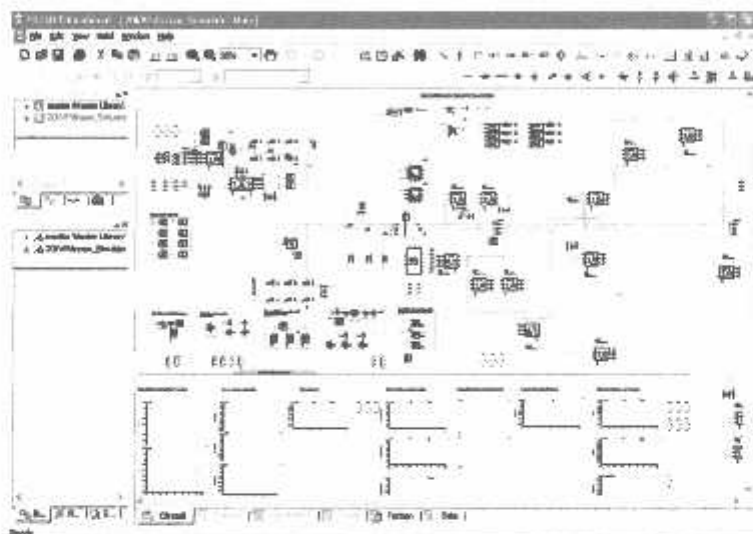
Gambar 3.2.
Tampilan Modul Utama

- Semua komponen yang akan digunakan dalam menggambar *single line* terdapat di dalam *Master Library* seperti pada tampilan di bawah ini. Untuk menggunakan *right click on the component > copy* dan kemudian *paste* pada modul.



Gambar 3.3.
Tampilan *Master Library*

- Setelah mendesain sistem seperti yang dibutuhkan (contohnya untuk skripsi ini), maka dapat kita lihat tampilan *single line* dalam modul utama sebagai berikut.



Gambar 3.4.
Tampilan *Single Line* Penyulang Dinoyo dalam PSCAD

3.3. Sistem Pengendalian PWM Sinusoida

3.3.1. PWM Sinusoida

Gelombang sinusoidal pada tiga VSC dikendalikan dengan teknik PWM. Rencana Kendali berdasarkan PWM berkenaan dengan D-Statcom diterangkan pada bagian ini. Rencana Kendali untuk DVR dan APF mengikuti prinsip yang sama. Tujuan rencana kendali adalah untuk memelihara magnitud tegangan konstan suatu beban sensitif. Sistem kendali mengukur tegangan rms di titik beban, tidak dibutuhkan pengukuran daya reaktif. strategi penyakelaran VSC adalah didasarkan pada suatu teknik PWM sinusoidal [8], yang sederhana dan memberikan respon yang baik. Sejak *custom power* adalah secara relatif sebagai aplikasi *low-power*, metode PWM menawarkan suatu pilihan yang lebih fleksibel dibandingkan dengan metode *Fundamental Frequency Switching* (FFS) yang

diunggulkan dalam aplikasi FACTS. Suatu sinyal error diperoleh dengan membandingkan tegangan acuan dengan tegangan rms pengukuran di titik beban. pengontrol PI memproses sinyal error dan menghasilkan sudut penundaan yang diperlukan (δ) untuk membawa kesalahan itu menjadi nol. Dalam generator PWM, kendali sinyal sinusoidal adalah *phase-modulated* dengan cara sudut δ . Sinyal yang diatur dibandingkan dengan suatu sinyal bersegi tiga (*carrier*) dalam rangka menghasilkan sinyal penyakelaran untuk VSC. parameter utama dalam rencana sinusoidal PWM adalah index sinyal amplitudo modulasi (ma) pada sinyal $V_{control}$, dan sinyal segi tiga pada index modulasi frekuensi (mf). Index Amplitudo Ma dipertahankan tetap pada 1 pu, dalam hal memperoleh komponen dasar tagangan tinggi pada pengontrol keluaran. frekwensi *Switching* ditetapkan pada 450 Hz, Mf= 9, dan kasus pengujian dilakukan pada jaringan yang stabil. Sudut modulasi diterapkan pada pembangkit sinyal PWM pada fasa A. untuk fasa B dan C dengan pergeseran berturut-turut 120° dan 240° .Penerapan pengendalian sangat sederhana dengan menggunakan sinyal tegangan sebagai variabel umpan balik dalam perencanaan pengontrolan. Kecepatan respon dan efektifitas perencanaan pengontrolan ditunjukkan dalam hasil simulasi.

3.3.2. Aksi Kontrol PWM Sinusoida Terhadap UCPC

Prinsip dari UCPC adalah menirima dan memproses sinyal *error* dari sumber. Hasilnya kemudian dimasukan ke PWM *Voltage Source Converter* tiga fasa pada rangkaian utama. Dari hasil perhitungan arus referensi yang dihasilkan oleh sinyal *error* antara tegangan beban dengan tegangan referensi. Jadi sinyal

yang diolah oleh PWM merupakan sinyal referensi yang diperoleh dari hasil perhitungan tersebut. Sinyal referensi ini kemudian dimodulasikan dengan sinyal *carrier* (*triangular wave*) yang berupa sinyal gigi gergaji (*saw tooth*). Sinyal *error* ini berbentuk sinusoidal yang dimodulasikan dengan sinyal gigi gergaji sebagai sinyal *carrier*. *Output* dari PWM di atas digunakan untuk mentrigger rangkaian *switching* yang terdiri atas 6 IGBT tiap fasa terdiri dari 2 IGBT.

3.4. Aksi Kontrol Proporsional Integral (PI)

3.4.1. Umum

Kontrol automatik telah memegang peranan yang sangat penting dalam perkembangan ilmu dan teknologi. Disamping banyak diperlukan pada pesawat ruang angkasa, peluru kendali, sistem pengemudi pesawat dan sebagainya. Kontrol automatik telah menjadi bagian penting dan terpadu dari proses-proses dalam pabrik dan industri modern. Misalnya, kontrol automatik telah memegang peranan yang sangat penting dalam pengembangan ilmu pengetahuan dan teknologi. Disamping banyak diperlukan pada pesawat ruang angkasa, peluru kendali, sistem pengemudi pesawat, dan sebagainya. Kontrol automatik telah menjadi bagian yang sangat penting dan terpadu dari proses – proses dalam pabrik dan industri modern. Misalnya, kontrol otomatis sangat diperlukan di dalam dunia industri seperti pengontrolan tekanan, suhu, kelembaban, viskositas, dan arus dalam industri proses.

Karena kemajuan dalam teori dan praktek kontrol automatik memberikan kemudahan dalam mendapatkan performansi dari sistem dinamik, mempertinggi

kualitas dan menurunkan biaya produksi, mempertinggi laju produksi, meniadakan pekerjaan-pekerjaan rutin dan membosankan yang harus dilakukan oleh manusia, dan sebagainya.

Sejarah perkembangan. Hasil karya pertama yang sangat penting dalam kontrol automatik adalah governor sentrifugal untuk pengontrolan kecepatan mesin uap yang dibuat oleh *James Watt* pada abad ke delapan belas. Hasil karya lainnya yang penting pada tahap awal perkembangan teori kontrol dibuat oleh *Minorsky, Hazen, Nyquiste*, dan sebagainya. Pada tahun 1922, *Minorsky* membuat kontroler automatik untuk mengendalikan pengemudian kapal dan menunjukkan cara menentukan kestabilan dari persamaan differensial yang melukiskan sistem. Pada tahun 1932 *Nyquis* mengembangkan suatu prosedur yang relatif sederhana untuk menentukan kestabilan sistem loop tertutup pada basis sistem loop terbuka terhadap masukan tunak (*steady state*) sinusoida. Pada tahun 1934 *Hazen*, yang memperkenalkan istilah servomekanis untuk sistem kontrol posisi, membahas desain servomekanis relay yang mampu mengikuti dengan baik masukan yang berubah. Selama dasawarsa 1940-an, metode respon frekuensi memungkinkan para insinyur untuk mendesain sistem kontrol linier berumpan balik yang memenuhi persyaratan kinerja. Metode respon frekuensi dan tempat kedudukan akar, yang merupakan inti teori kontrol fisik, akan membawa sistem yang stabil dan memenuhi seperangkat persyaratan kinerja yang hampir seimbang.

Hampir semua proses dalam industri membutuhkan peralatan – peralatan otomatis untuk mengendalikan parameter – parameter prosesnya. Otomatisasi tidak saja diperlukan demi operasi, keamanan, ekonomi maupun mutu produk,

tetapi lebih merupakan kebutuhan pokok. Kelak akan dipelajari alat tidak mungkin menjalankan suatu proses industri tanpa bantuan sistem pengendali. Contohnya adalah pengendalian penggilingan minyak. Proses disuatu penggilingan minyak tidak mungkin dapat dijalankan tanpa bantuan fungsi sistem dari pengendalian.

Ada banyak parameter yang baru dikendalikan di dalam suatu proses. Diantaranya yang paling umum adalah tekanan (*pressure*) didalam sebuah *vessel* atau pipa, aliran (*flow*) didalam pipa, suhu temperatur di unit proses seperti *heat exchanger*, atau permukaan zat cair (*level*) disebuah tangki. Ada beberapa parameter lain diluar keempat parameter diatas yang cukup penting dan perlu dikendalikan karena kebutuhan spesifik proses, diantaranya : PH di industri petrokimia, *water cut (w&w)* diladang minyak mentah, warna produksi suatu fasilitas pencairan gas (NGL) dan sebagainya.

Gabungan serta kerja alat-alat pengendalian otomatis inilah dinamai sistem pengendalian proses (proses contoh sistem). Sedangkan semua peralatan yang menjalankan sistem pengendali disebut instrumentasi pengendalian proses (*Process Control Instrumentation*). Kedua hal ilmu tersebut berhubungan satu dengan yang lain, dimana keduanya mempunyai hakikat yang berbeda. Pembahasan tentang ilmu proses kontrol sistem lebih dipusatkan pada kerja sistem, sering kali diperlukan penjelasan melalui alat kerja.

3.4.2. Prinsip-Prinsip Pengendalian Proses

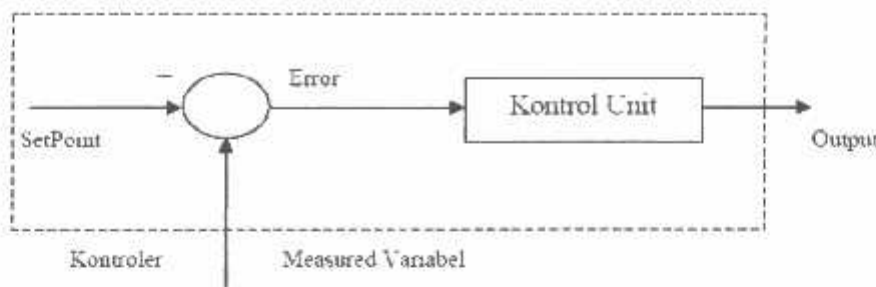
Dalam pengendali proses, operator mengerjakan empat langkah sebagai berikut: *Mengukur, Membandingkankan, Menghitung dan Mengoreksi*. Keempat

langkah yang dilakukan operator itu, seluruhnya dapat dikerjakan oleh instrumentasi. Manusia kemudian sama sekali tidak menentukan keempat langkah tadi. Operator hanya perlu menentukan besarnya *set point*, dan semuanya akan dikerjakan secara otomatis oleh instrument. Sistem pengendali semacam inilah yang disebut sistem pengendali otomatis (*automatik control system*). Keempat tahap pengendaliannya, sepenuhnya dilakukan oleh instrumentasi. Mata rantai pengendalinya kemudian disebut mata rantai tertutup, dan sistemnya juga disebut sistem pengendalian tertutup atau *sistem closed loop*.

3.4.3. Prinsip Kerja Pengendali

Ada tiga jenis pengendali kontinu, yaitu pengendali proporsional di singkat P, pengendali integral di singkat I, dan pengendali diferensial di singkat D. Karena kelebihan dan kekurangan ketiga pengendali itu, mereka seringkali dipakai dalam bentuk kombinasi, yaitu P+I disingkat PI, P+D disingkat PD, dan P+I+D disingkat PID. Ketiga jenis pengendali ini memberikan respon yang berbeda-beda. Pada dasarnya, tugas sebuah pengendali kontinu terbagi dalam dua tahap, yaitu membandingkan dan menghitung.

Pembandingan itu sendiri dilakukan dengan mengurangi besarnya *set point* dengan besaran *measurement varibel*, yang hasilnya adalah besaran yang disebut *error*. Karena set point bisa lebih besar atau lebih kecil dari *measurement variable*, nilai *error* bisa positif dan bisa juga negatif. Jadi *error* adalah *input unit* kontrol dan *manipulated variable* adalah *output unit* kontrol. Besarnya *manipulated variable* dihitung berdasarkan *error* dan *transfer function* unit kontrol. Bentuk *transfer function* dari unit kontrol terhitung pada “mode” yang ada dikontroler.



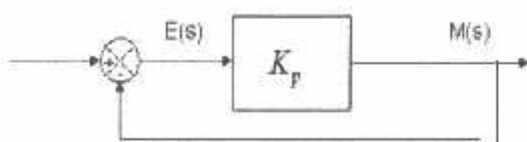
Gambar 3.5
Kontroler Dan Diagram Kotaknya

3.4.4. Pengendali Proporsional (*Proporsional Controller*)

Salah satu dari ketiga unit kontrol yang paling populer dan paling banyak dipakai adalah unit kontrol P, seperti tercermin dari namanya, besar *output* unit kontrol P selalu sebanding dengan besarnya *input*. Bentuk *transfer function* unit kontrol *proporsional* oleh karenanya akan sederhana sekali, sehingga bentuk *transfer function*-nya juga sederhana. Unit kontrol P adalah unit kontrol yang paling banyak dipakai, baik tersendiri dalam bentuk pengendali *P-only* maupun dalam kombinasi dengan mode integral (I) dan differensial (D).

Kontroler proporsional memiliki keluaran yang sebanding / proporsional dengan besarnya sinyal kesalahan (selisih antara besaran yang diinginkan dengan harga aktualnya). Secara lebih sederhana dapat dikatakan bahwa keluaran kontroler proporsional merupakan perkalian antara konstanta proporsional dengan masukan. Perubahan pada sinyal masukan akan segera menyebabkan sistem secara langsung mengubah keluarannya sebesar konstanta pengalinya. Gambar 3.5 menunjukkan blok diagram yang menggambarkan hubungan antara besaran *setting*, besaran *actual* dengan besaran keluaran kontroler proporsional. Sinyal kesalahan (*error*) merupakan selisih antara besaran *setting* dengan besaran

aktualnya. Selisih ini akan mempengaruhi kontroler, untuk mengeluarkan sinyal positif (mempercepat pencapaian harga *setting*) atau negative (memperlambat tercapainya harga yang diinginkan).



Gambar 3.6
Diagram Blok Kontroler Proporsional

Kontroler proporsional memiliki 2 parameter, yaitu pita proporsional (*proporsional band*) dan konstanta proporsional.

Hubungan antara pita proporsional (*PB*) dengan konstanta proporsional (K_p) ditunjukkan secara prosentase oleh persamaan berikut ini :

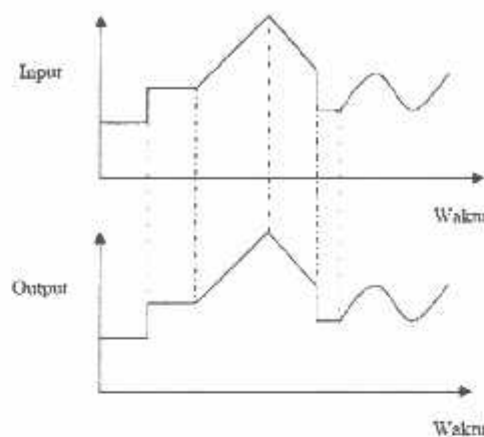
$$PB = \frac{1}{K_p} \times 100\%$$

Dimana:

PB = Proporsional Band

K_p = Konstanta Proporsional

Walaupun hubungan input-output unit kontrol proporsional bukan merupakan fungsi waktu, untuk bahan perbandingan dengan unit kontrol lain, ada baiknya kalau hubungan itu dinyatakan dalam bentuk kurva fungsi waktu. Dari gambar 3.7 jelas terlihat bahwa output selalu mengikuti input secara proporsional. Naik turunnya input diikuti secara langsung oleh output, dan besarnya selalu sama dengan input kali gain. Karena unit kontrol proporsional ini bukan fungsi waktu, dinamik gain pengendali ini sama dengan *steady state* gainnya. Dengan kata lain, besarnya gain tidak tergantung pada besarnya frekuensi loop.



Gambar 3.7
Respon Sebuah Pengendali Proporsional

Contoh pengendali integral proporsional yang mudah ditemui dalam kehidupan sehari-hari adalah pengisian tangki penampung air di kloset. Hal yang perlu diperhatikan pada contoh ini adalah bahwa kontrol unit di contoh bekerja secara proporsional. Artinya, koreksi dalam hal ini buka tutupnya *control valve* akan selalu sebanding dengan ketinggian level. *Set point* dalam hal ini adalah sama dengan ketinggian level maksimum.

3.4.5. Pengendali Integral (*Integrator Controller*)

Setelah pengendali proporsional diketahui “*gagal*” mengendalikan sistem secara sempurna dalam arti masih adanya *offset*. Dikarenakan sifat dasar pengendali proporsional yang masih memerlukan *error* untuk menghasilkan *output*. Oleh karena itu, untuk menghilangkan *offset*, diperlukan pengendali lain yang dapat menghasilkan *output* walaupun sudah tidak ada *input* lagi. Sifat unit inilah yang dimiliki oleh pengendali integral. Sayangnya, kemampuan pengendali integral menghilangkan *offset* tidak disertai kemampuan bereaksi secara cepat. Karena lambatnya reaksi tersebut maka pengendali integral biasanya dipakai dalam kombinasi dengan pengendali proporsional. Kedua pengendali tersebut

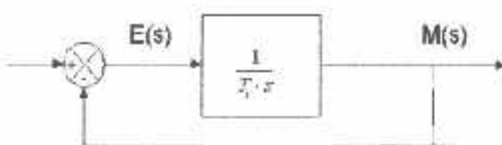
dipasang secara paralel sehingga kelebihan kedua pengendali dapat dimanfaatkan secara serempak.

Kalau diteliti dengan seksama, *offset* dapat terjadi di sistem pengendali proporsional, karena pengendali proporsional selalu membutuhkan *error* (dalam hal ini *input* ke *unit control*) untuk menghasilkan suatu *output*. Kalau tidak ada *error*, *output* yang keluar dari pengendali proporsional hanyalah bias yang biasanya disetel 50%.

Jadi untuk menghasilkan *offset* dibutuhkan sebuah pengendali lain, yang dapat menghasilkan output walaupun padanya tidak diberikan *input*. Dengan kata lain, diperlukan pengendali yang dapat menghasilkan *output* lebih besar atau lebih kecil dari bias pada saat *input (error)* sama dengan nol. Pengendali yang memenuhi kriteria ini adalah pengendali integral, disingkat I.

Kontroler integral berfungsi menghasilkan respon sistem yang memiliki kesalahan keadaan mantap nol. Kalau sebuah plant tidak memiliki unsur *integrator* ($1/s$), kontroler proporsional tidak akan mampu menjamin keluaran sistem dengan kesalahan keadaan mantapnya nol. Dengan kontroler integral, respon sistem dapat diperbaiki, yaitu mempunyai kesalahan keadaan mantapnya nol. Kontroler integral memiliki karakteristik seperti halnya sebuah integral. Keluaran kontroler sangat dipengaruhi oleh perubahan yang sebanding dengan nilai sinyal kesalahan. Keluaran kontroler ini merupakan jumlahan yang terus menerus dari perubahan masukannya. Kalau sinyal kesalahan tidak mengalami perubahan, keluaran akan menjaga keadaan seperti sebelum terjadinya perubahan masukan.

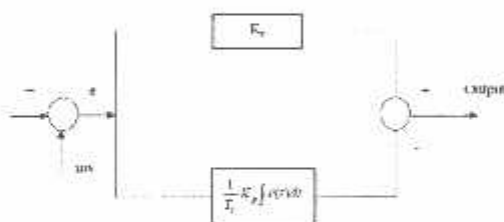
Gambar 3.8 menunjukkan blok diagram antara kesalahan dengan keluaran suatu kontroler integral.



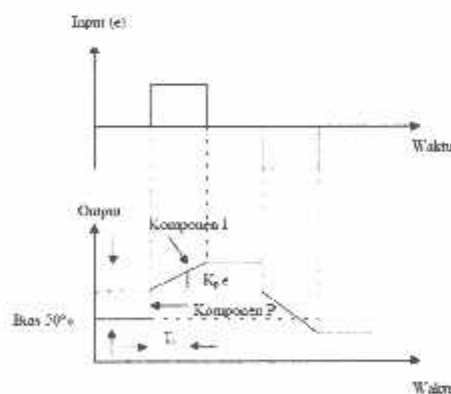
Gambar 3.8
Blok Diagram Kontroler Integral

3.4.6. Pengendali Proporsional Integral (*PI Controller*)

Karena sifatnya yang tidak mengeluarkan *output* sebelum selang waktu tertentu, pengendali integral jadi memperlambat respon, walaupun *offset* hilang oleh karenanya. Untuk memperbaiki lambatnya respon, umumnya pengendali integral dipasang paralel dengan pengendali proporsional seperti gambar 3.9. Gabungan kedua pengendali tersebut lazim disebut dengan pengendali PI atau PI kontroler, dan pengendali dikatakan punya dua mode, yaitu P dan I.



Gambar 3.9
Diagram Kotak Pengendali PI



Gambar 3.10
Hubungan Input-Output Pengendali PI dalam Fungsi Waktu

3.5. Kompensasi UCPC Pada Sistem Distribusi 20 kV

3.5.1. Sistem Distribusi Tanpa Kompensasi UCPC

Hampir semua beban dalam sistem tenaga listrik didominasi oleh beban-beban induktif seperti motor-motor listrik, inverter, UPS dan masih banyak lagi peralatan yang menggunakan komponen-komponen induktif yang berakibat menimbulkan gangguan ketidakstabilan tegangan dan dapat mengintroduksir frekuensi harmonik ke jala-jala sistem. Untuk mengatasi permasalahan ini UCPC menawarkan pengendalian yang fleksibel dalam mengatasi permasalahan yang ditimbulkan oleh beban-beban tersebut. Ini mungkin dilakukan dengan adanya perkembangan piranti elektronika daya yang berkembang cukup pesat, *full controllable* dan penggunaanya dapat dipadukan ke dalam sistem tenaga listrik baik sisi tegangan tinggi maupun tegangan rendah. Dalam hal ini UCPC dilengkapi dengan pengendali PI dan kontrol SPWM.

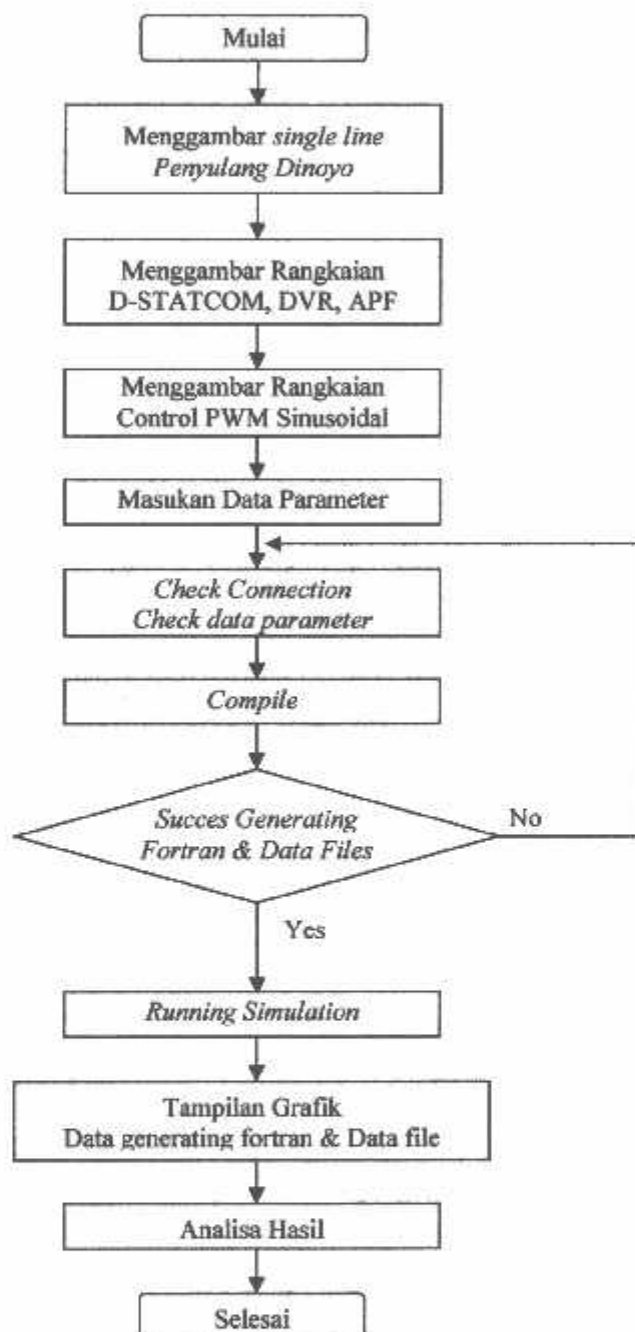
3.5.2. Sistem Distribusi Dengan Kompensasi UCPC

Ketidakstabilan tegangan dalam sistem distribusi bisa menyebabkan terjadinya pemborosan energi listrik. Ketidakstabilan itu dapat diartikan tegangan pada suatu fase lebih besar, lebih kecil atau berfluktuasi terhadap tegangan standar. Sedangkan akibat pembrosan energi listrik itu maka timbul panas sehingga bisa menyebabkan pertama kerusakan isolator peralatan yang dipakai. Ke dua memperpendek daya isolasi pada lilitan. Sementara itu dengan ketidakseimbangan sebesar 3% saja dapat memperbesar suhu motor yang sedang beroperasi sebesar 18% dari keadaan semula. Hal ini tentunya akan menimbulkan suara bising pada motor dengan kecepatan tinggi.

Selain permasalahan kualitas tegangan, yang menjadi masalah dalam sistem distribusi adalah munculnya harmonik. Harmonik itu bisa menimbulkan panas, hal ini terjadi karena adanya energi listrik yang berlebihan. Harmonik itu bisa muncul karena peralatan seperti komputer, kontrol motor dll. Harmonik merupakan suatu keadaan timbulnya tegangan yang periodenya berbeda dengan periode tegangan standar. Periode itu bisa 180 Hz (harmonik ke-3), 300 Hz (harmonik ke-5) dan seterusnya. Harmonik pada transformator lebih berbahaya, hal ini karena adanya sirkulasi arus akibat panas yang berlebih. Sehingga hal ini bisa mengurangi kemampuan peralatan proteksi yang menggunakan *power line carrier* sebagai detektor kondisi normal. Untuk mengoptimalkan pemakaian energi listrik bisa digunakan beban-beban tiruan berupa LC yang dilengkapi dengan teknologi pengendalian. Sehingga ketepatan dan keandalan dalam mendeteksi kualitas daya listrik bisa diperoleh. pengendali itu berfungsi untuk mengolah komponen-komponen yang menentukan kualitas tenaga listrik. Seperti keseimbangan beban antar fasa dan harmonik. Apabila terdapat ketidakseimbangan antara fasa satu dengan fasa yang lainnya, maka pengendali akan memerintahkan beban-beban LC untuk membuka atau menutup agar arus disuplai ke fasa satu sehingga selisih arus antara fasa satu dengan fasa yang lainnya tidak ada. Banyaknya L atau C yang dibuka atau ditutup tergantung dari kondisi ketidakseimbangan beban yang terdeteksi oleh pengontrol. Kondisi harmonik yang terdeteksi bisa dihilangkan dengan menggunakan filter LC. Komponen LC yang dimaksudkan diatas sudah terintegrasi dalam peralatan UCPC.

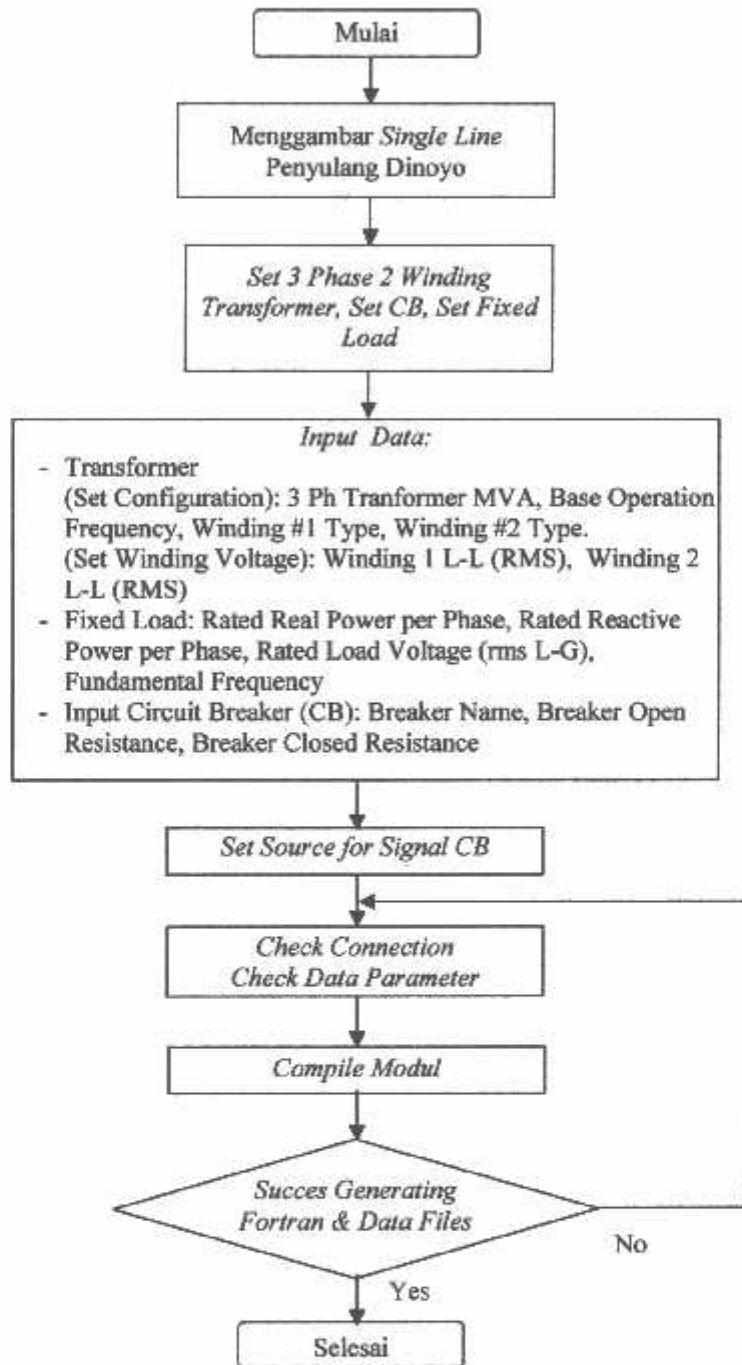
3.6. Flowchart

3.6.1. Flowchart Desain dan Simulasi Sistem dengan UCPC



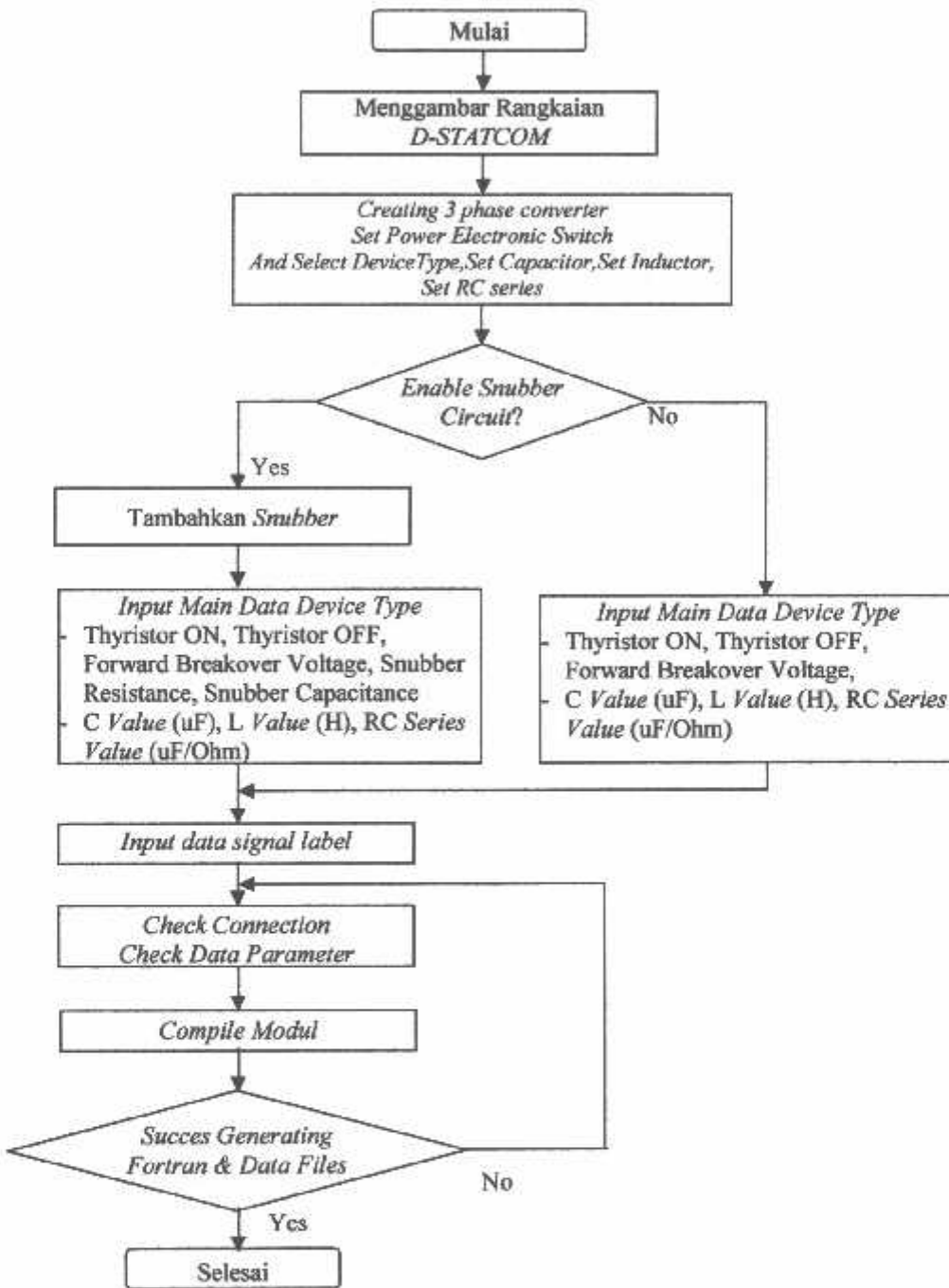
Gambar 3.11.
Flowchart Analisa Perbaikan Kualitas Daya Dengan
Universal Custom Power Conditioner (UCPC)

3.6.2. Flowchart Wiring Penyulang Dinoyo



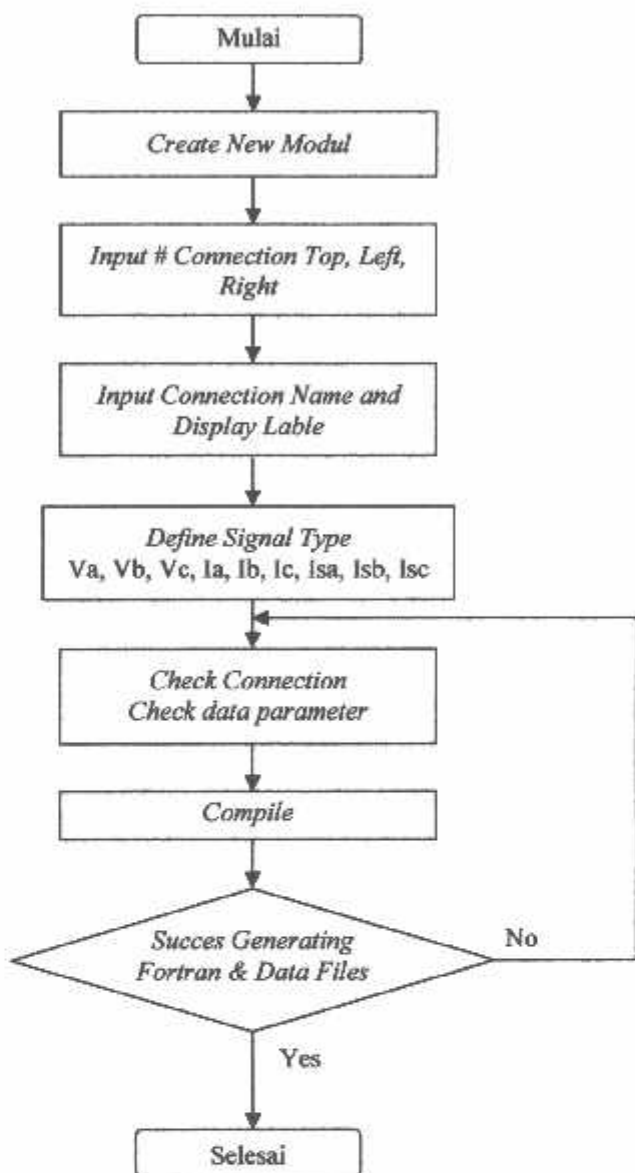
Gambar 3.12.
Flowchart Pembuatan Single Line Diagram Penyulang Dinoyo

3.6.3. Flowchart Desain D-STATCOM



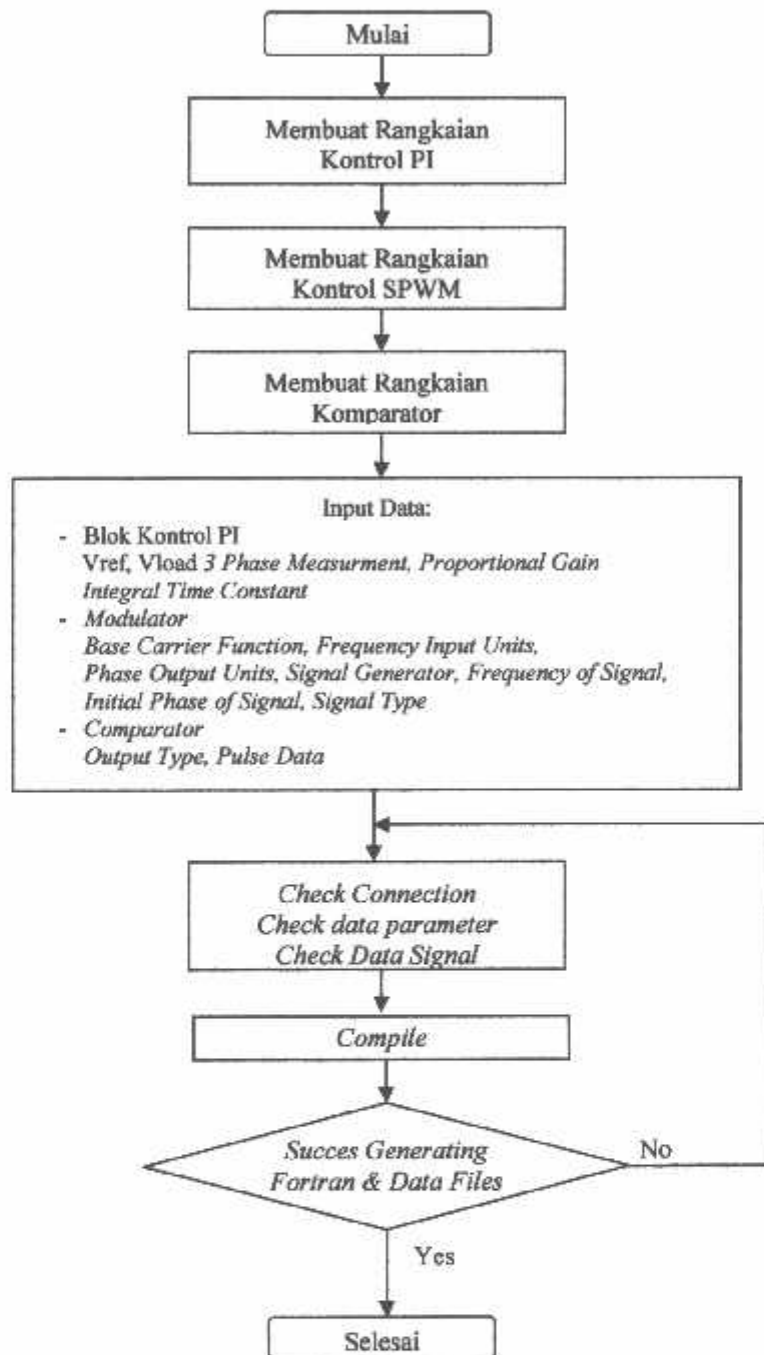
Gambar 3.13.
Flowchart Pembuatan Rangkaian D-STATCOM

3.6.5. Flowchart Desain APF



Gambar 3.15.
Flowchart Pembuatan Rangkaian APF

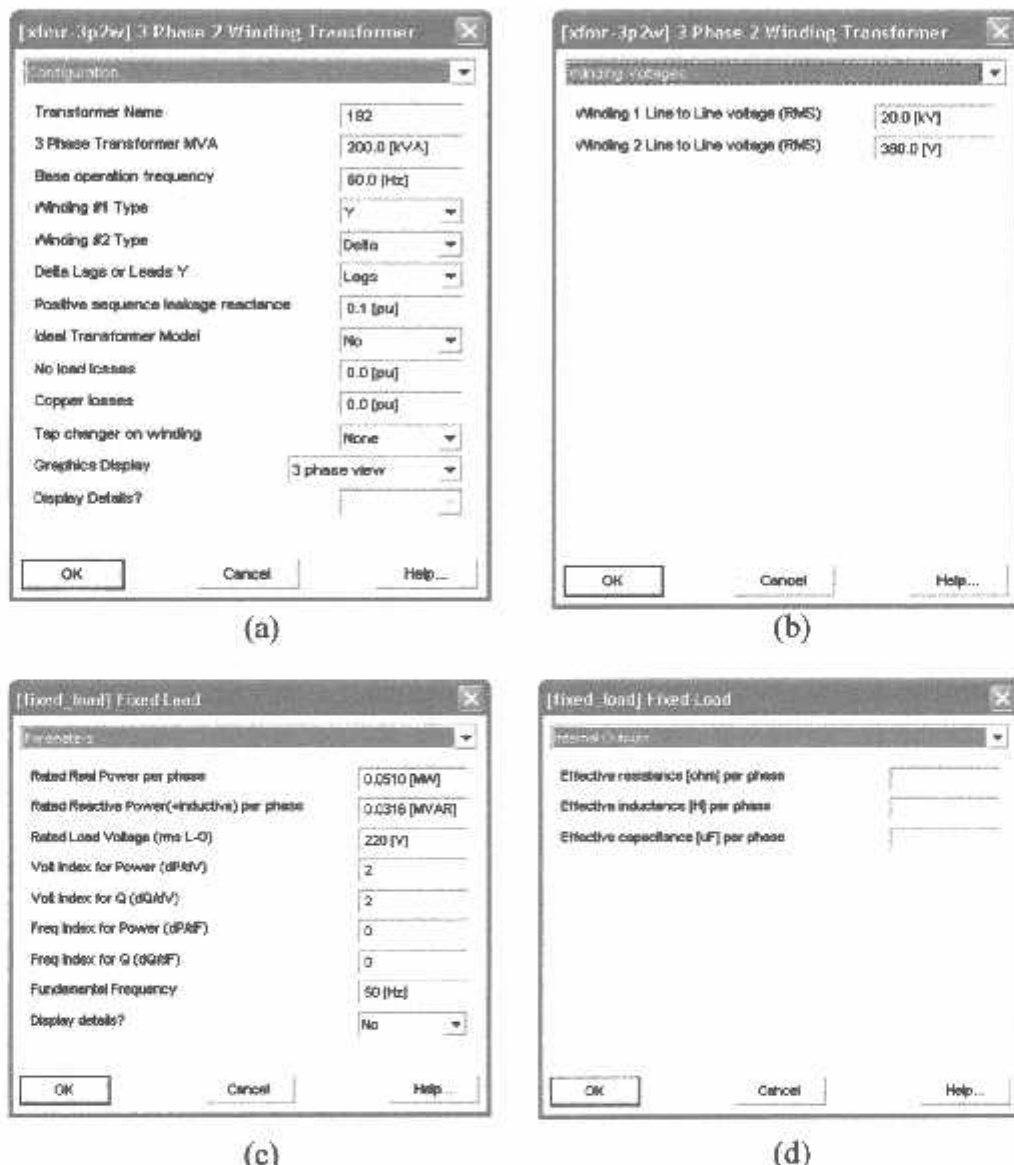
3.6.6. Flowchart Desain Kontrol UCPC



Gambar 3.16.
Flowchart Pembuatan Rangkaian Kontrol SPWM
Untuk UCPC

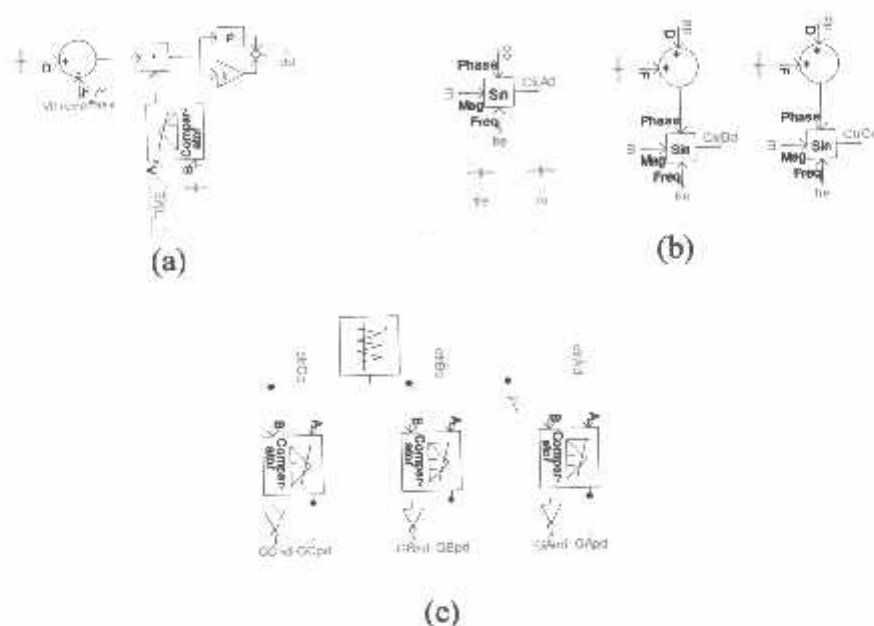
3.7. Input Data Dalam PSCAD/EMTDC

3.7.1. Input Data *Transformator* dan *Fixed Load*

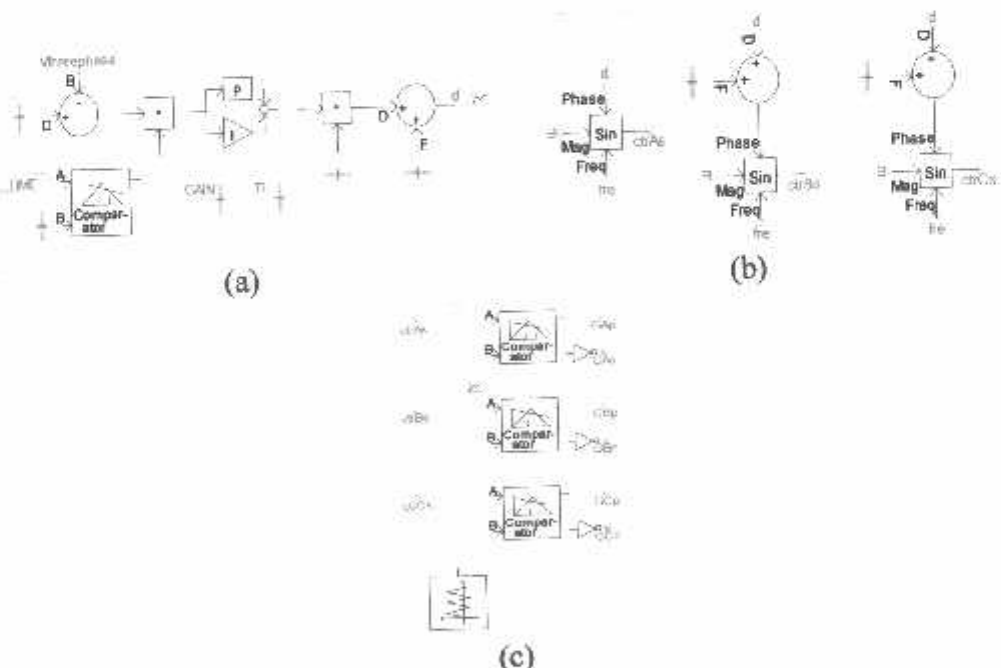


Gambar 3.17. (a) Input Data Konfigurasi Transformator, (b) Input Data *Winding Voltage*, (c) Input Data Parameter *Fixed Load*, (d) Input Data *Internal Output*

3.7.2. Input Data Pengendali PI dan SPWM Pada UCPC



Gambar 3.18. (a) Rangkaian Pengendali PI Untuk Mengendalikan DVR,
 (b) Rangkaian Sinyal Komparator Untuk Mengendalikan DVR, (c)
 Rangkaian Komparator Untuk Mengendalikan DVR

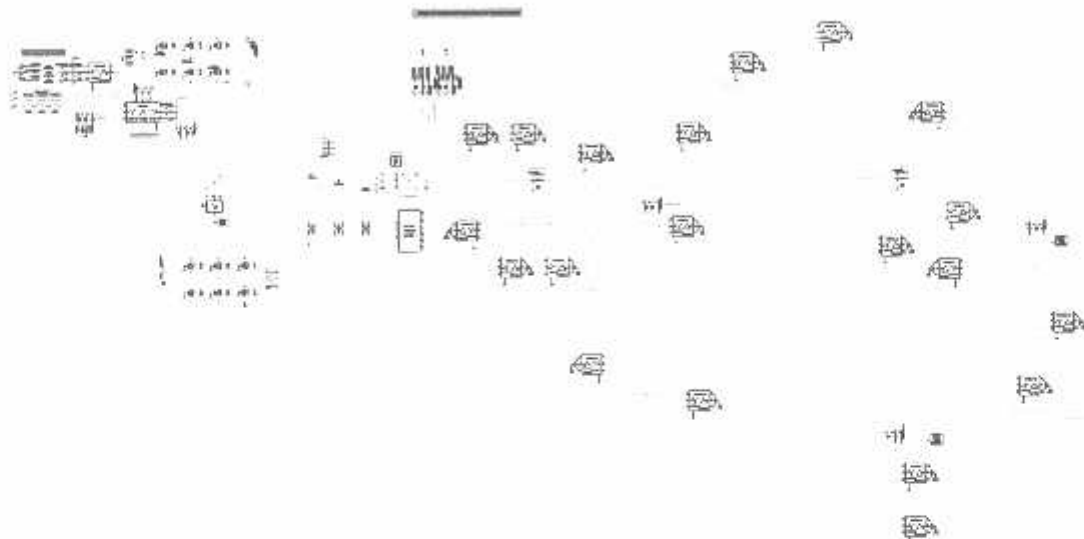


Gambar 3.19. (a) Rangkaian Pengendali PI Untuk Mengendalikan DSTATCOM,
 (b) Rangkaian Sinyal Komparator Untuk Mengendalikan DSTATCOM, (c)
 Rangkaian Komparator Untuk Mengendalikan DSTATCOM

BAB IV

HASIL DAN ANALISA HASIL

4.1. Single Line Sistem Distribusi 20 kV Penyulang Dinoyo



Gambar 4.1. *Single Line* Penyulang Dinoyo

4.2. Data Penyaluran dan Pembebanan

4.2.1. Data Saluran Penyulang Dinoyo

Tabel 4.1. Data Saluran Penyulang Dinoyo

Nomor Saluran	Dari Node	Ke Node	Panjang Saluran (m)	Impedansi Saluran	
				R (ohm)	X _L (ohm)
1	1	2	378	0.157268	0.133264
2	2	3	66.3	0.030551	0.023682
3	3	4	469.4	0.114644	0.156573
4	4	5	1870	0.038916	0.05949
5	5	6	301	0.065076	0.099481
6	6	7	53	0.011459	0.017517
7	7	8	245	0.052969	0.080973
8	8	9	230	0.049276	0.076015
9	9	10	50	0.01081	0.016525
10	10	11	100	0.02162	0.03305
11	11	12	23	0.004973	0.007602
12	12	13	221	0.04778	0.073041
13	13	14	326	0.070481	0.107743

14	14	15	50	0.01081	0.016525
15	15	16	560	0.121072	0.18508
16	16	17	40	0.008648	0.01322
17	17	18	72.5	0.015675	0.023961
18	18	19	166	0.035889	0.054863
19	19	20	270	0.06468	0.09915
20	20	21	91	0.024461	0.030722
21	21	22	532	0.143002	0.179603
22	22	23	136	0.036557	0.045914
23	23	24	45	0.012096	0.015192
24	24	25	25	0.00672	0.00844
25	25	26	266	0.071501	0.089802
26	26	27	98	0.026342	0.033085
27	27	28	45	0.012096	0.015192
28	28	29	42	0.01129	0.014179
29	29	30	147	0.039514	0.049627
30	30	31	110	0.029568	0.037136
31	31	32	66.5	0.017875	0.02245
32	32	33	29	0.007795	0.00979
33	33	34	336	0.090317	0.113434
34	34	35	95	0.025536	0.032072
35	35	36	178	0.047846	0.060093
36	36	37	10	0.002688	0.003376
37	2	38	48	0.022118	0.017146
38	3	39	10	0.002162	0.003305
39	4	40	429	0.09275	0.141785
40	6	41	197	0.042591	0.065109
41	41	42	300	0.06486	0.09915
42	42	43	200	0.04324	0.0661
43	7	44	246	0.113357	0.087871
44	8	45	167	0.036105	0.055194
45	45	46	38	0.008216	0.012559
46	46	47	190	0.041078	0.062795
47	47	48	353	0.076319	0.116667
48	48	49	318	0.068752	0.105099
49	49	50	63	0.013621	0.020822
50	47	51	164	0.035457	0.054202
51	50	52	765	0.165393	0.252833
52	50	53	771	0.16669	0.254816
53	9	54	169	0.077875	0.060367
54	10	55	563	0.121721	0.186072
55	55	56	841	0.181824	0.277951
56	11	57	40	0.018432	0.014288
57	12	58	265	0.057293	0.087583
58	14	59	500	0.1081	0.1625
59	59	60	450	0.09729	0.148725
60	16	61	85.2	0.01842	0.028159
61	17	62	50	0.01344	0.01688

62	18	63	115	0.024863	0.038008
63	18	64	35	0.007567	0.011568
64	19	65	149	0.068198	0.052866
65	65	66	459	0.099236	0.1517
66	66	67	89	0.018242	0.029415
67	65	68	50	0.02304	0.01786
68	67	69	517	0.238234	0.184672
69	67	70	101	0.021836	0.033381
70	70	71	579	0.12518	0.19136
71	71	72	650	0.14053	0.214825
72	70	73	366	0.337342	0.138714
73	22	74	87	0.04009	0.031076
74	74	75	343	0.099039	0.115525
75	23	76	314	0.067887	0.103777
76	27	77	453	0.208742	0.161812
77	28	78	31	0.008333	0.010466
78	31	79	377	0.081507	0.124599
79	79	80	74.7	0.01615	0.024688
80	32	81	378	0.174182	0.135022
81	81	82	314	0.144691	0.112161
82	33	83	5	0.001344	0.001688
83	35	84	195	0.089856	0.069654
84	84	85	318	0.014653	0.11359
85	85	86	197	0.090778	0.070368
86	86	87	204	0.094003	0.072869
87	87	88	594	0.263931	0.211109
88	88	89	301	0.065076	0.099481
89	89	90	295	0.063779	0.097498
90	84	91	138	0.06359	0.049294

4.2.2. Data Pembebanan Penyulang Dinoyo

4.2.2.1. Data Pembebanan Penyulang Dinoyo pada Pukul 00.00 WIB

Tabel 4.2. Data Pembebanan Penyulang Dinoyo pada Pukul 00.00 WIB

No. Node	No. Gardu	Kapasitas Nominal (kVA)	Beban Puncak (kVA)	Beban Pukul 00.00		Type Bus
				P (kW)	Q (kVAR)	
1		0	0	0	0	Slack
2		0	0	0	0	Load
3		0	0	0	0	Load
4		0	0	0	0	Load
5	299	250	133.54	81.72468	50.64912	Load
6		0	0	0	0	Load
7		0	0	0	0	Load

8		0	0	0	0	Load
9		0	0	0	0	Load
10		0	0	0	0	Load
11		0	0	0	0	Load
12		0	0	0	0	Load
13	201	200	126.768	77.58216	48.08088	Load
14		0	0			Load
15	461	250	212.3	129.9276	80.5212	Load
16		0	0			Load
17		0	0			Load
18		0	0			Load
19		0	0			Load
20	478	200	126.72	77.55264	48.06288	Load
21	362	200	108.46	66.37752	41.1372	Load
22		0	0			Load
23		0	0			Load
24	969	160	103	63.036	39.06576	Load
25	614	200	117.48	71.89776	44.55792	Load
26	181	150	88.22	53.99064	33.46056	Load
27		0	0			Load
28		0	0			Load
29	970	160	97.24	59.51088	36.88128	Load
30	957	160	103	63.036	39.06576	Load
31		0	0			Load
32		0	0			Load
33		0	0			Load
34	206	150	41.514	25.40664	15.74568	Load
35		0	0			Load
36	298A	160	130	79.56	49.30632	Load
37	298	150	110.88	67.85856	42.05448	Load
38	192	200	103.986	63.63936	39.44016	Load
39	70	200	121	74.052	45.8928	Load
40	596	150	97.837	59.87592	37.10808	Load
41	679	160	91.168	55.79496	34.578	Load
42	877	160	30.736	18.81072	11.65752	Load
43	962	25	19.295	11.80872	7.31808	Load
44	435	100	27.28	16.69536	10.34712	Load
45	664	160	105	64.26	39.82464	Load
46	177	160	122.988	75.2688	46.64736	Load
47		0	0			Load
48	604	160	56.832	34.78104	21.55536	Load
49	178	160	66.22	40.52664	25.11576	Load
50		0	0			Load

51	452	100	83	50.796	31.48056	Load
52	178A	150	108.46	66.37752	41.1372	Load
53	895	25	23.76	14.54112	9.01152	Load
54	381	100	30.912	18.918	11.72448	Load
55	504	100	77.604	47.49336	29.4336	Load
56	912	160	72.488	44.3628	27.4932	Load
57	201A	200	111.277	68.1012	42.20496	Load
58	625	160	141.3	86.4756	53.59248	Load
59	874	160	73.7	45.1044	27.95328	Load
60	893	100	53.46	32.71752	20.25072	Load
61	602	100	74.58	45.64296	28.28664	Load
62	914	200	103	63.036	39.06576	Load
63	678	315	196	119.952	74.33928	Load
64	648	100	97	59.364	36.79056	Load
65		0	0			Load
66	470	250	89.1	54.5292	33.79392	Load
67		0	0			Load
68	376	160	83.16	50.89392	31.54104	Load
69	984	100	44.66	27.33192	16.93872	Load
70		0	0	0	0	Load
71	380	150	100.456	61.47936	38.10096	Load
72	881	160	25.52	15.61824	9.67896	Load
73	179	100	92.84	56.81808	35.21232	Load
74	482	250	147.4	90.2088	55.90584	Load
75	619	200	55.66	34.06392	21.11112	Load
76	501	100	75.24	46.04688	28.5372	Load
77	473	160	116.16	71.08992	44.05752	Load
78	207	200	105	71.08992	44.05752	Load
79	595A	50	35	64.26	39.82464	Load
80	595	150	138.649	21.42	13.27464	Load
81	391	160	135.08	84.85344	52.58736	Load
82	418	160	54.12	33.12144	20.52648	Load
83	572	160	108.02	66.10824	40.97016	Load
84		0	0	0	0	Load
85	225	250	169.18	103.5382	64.16712	Load
86	225A	160	137.81	84.34008	52.26912	Load
87	518	150	81.395	49.81392	30.87144	Load
88	458	160	135	82.62	51.2028	Load
89	688	100	87.989	53.84952	33.37272	Load
90	81	160	130.962	80.14896	49.67136	Load
91	643	160	106.7	65.3004	40.46904	Load

4.2.2.2. Data Pembebatan Penyulang Dinoyo pada Pukul 14.00 WIB

Tabel 4.3. Data Pembebatan Penyulang Dinoyo pada Pukul 14.00 WIB

No. Node	No. Gardu	Kapasitas Nominal	Beban Puncak	Beban Pukul 00.00		Type
		(kVA)	(kVA)	P (kW)	Q (kVAR)	Bus
1		0	0	0	0	Slack
2		0	0	0	0	Load
3		0	0	0	0	Load
4		0	0	0	0	Load
5	299	250	133.54	63.56504	39.39376	Load
6		0	0	0	0	Load
7		0	0	0	0	Load
8		0	0	0	0	Load
9		0	0	0	0	Load
10		0	0	0	0	Load
11		0	0	0	0	Load
12		0	0	0	0	Load
13	201	200	126.768	60.34168	37.39624	Load
14		0	0			Load
15	461	250	212.3	101.0548	62.6276	Load
16		0	0	0	0	Load
17		0	0	0	0	Load
18		0	0	0	0	Load
19		0	0	0	0	Load
20	478	200	126.72	60.31872	37.38224	Load
21	362	200	108.46	51.62696	31.9956	Load
22		0	0	0	0	Load
23		0	0	0	0	Load
24	969	160	103	49.028	30.38448	Load
25	614	200	117.48	55.92048	34.65616	Load
26	181	150	88.22	41.99272	26.02488	Load
27		0	0	0	0	Load
28		0	0	0	0	Load
29	970	160	97.24	46.28624	28.68544	Load
30	957	160	103	49.028	30.38448	Load
31		0	0	0	0	Load
32		0	0	0	0	Load
33		0	0	0	0	Load
34	206	150	41.514	19.76072	12.24664	Load
35		0	0	0	0	Load
36	298A	160	130	61.88	38.38936	Load
37	298	150	110.88	52.77888	32.70904	Load

38	192	200	103.986	49.49728	30.67568	Load
39	70	200	121	57.596	35.6944	Load
40	596	150	97.837	46.57016	28.86184	Load
41	679	160	91.168	43.39608	26.894	Load
42	877	160	30.736	14.63056	9.06696	Load
43	962	25	19.295	9.18456	5.69184	Load
44	435	100	27.28	12.98528	8.04776	Load
45	664	160	105	49.98	30.97472	Load
46	177	160	122.988	58.5424	36.28128	Load
47		0	0	0	0	Load
48	604	160	56.832	27.05192	16.76528	Load
49	178	160	66.22	31.52072	19.53448	Load
50		0	0	0	0	Load
51	452	100	83	39.508	24.48488	Load
52	178A	150	108.46	51.62696	31.9956	Load
53	895	25	23.76	11.30976	7.00896	Load
54	381	100	30.912	14.714	9.11904	Load
55	504	100	77.604	36.93928	22.8928	Load
56	912	160	72.488	34.5044	21.3836	Load
57	201A	200	111.277	52.9676	32.82608	Load
58	625	160	141.3	67.2588	41.68304	Load
59	874	160	73.7	35.0812	21.74144	Load
60	893	100	53.46	25.44696	15.75056	Load
61	602	100	74.58	35.50008	22.00072	Load
62	914	200	103	49.028	30.38448	Load
63	678	315	196	93.296	57.81944	Load
64	648	100	97	46.172	28.61488	Load
65		0	0	0	0	Load
66	470	250	89.1	42.4116	26.28416	Load
67		0	0	0	0	Load
68	376	160	83.16	39.58416	24.53192	Load
69	984	100	44.66	21.25816	13.17456	Load
70		0	0	0	0	Load
71	380	150	100.456	47.81728	29.63408	Load
72	881	160	25.52	12.14752	7.52808	Load
73	179	100	92.84	44.19184	27.38736	Load
74	482	250	147.4	70.1624	43.48232	Load
75	619	200	55.66	26.49416	16.41976	Load
76	501	100	75.24	35.81424	22.1956	Load
77	473	160	116.16	55.29216	34.26696	Load
78	207	200	105	49.98	30.97472	Load
79	595A	50	35	16.66	10.32472	Load
80	595	150	138.649	65.99712	40.90128	Load

81	391	160	135.08	64.29808	39.84792	Load
82	418	160	54.12	25.76112	15.96504	Load
83	572	160	108.02	51.41752	31.86568	Load
84		0	0	0	0	Load
85	225	250	169.18	80.82968	49.90776	Load
86	225A	160	137.81	65.59784	40.65376	Load
87	518	150	81.395	38.74416	24.01112	Load
88	458	160	135	64.26	39.8244	Load
89	688	100	87.989	41.88296	25.95656	Load
90	81	160	130.962	62.33808	38.63328	Load
91	643	160	106.7	50.7892	31.47592	Load

4.2.2.3. Data Pembebanan Penyulang Dinoyo pada Pukul 19.00 WIB

Tabel 4.4. Data Pembebanan Penyulang Dinoyo pada Pukul 19.00 WIB

No. Node	No. Gardu	Kapasitas Nominal (kVA)	Beban Puncak (kVA)	Beban Pukul 00.00		Type Bus
				P (kW)	Q (kVAR)	
1		0	0	0	0	Slack
2		0	0	0	0	Load
3		0	0	0	0	Load
4		0	0	0	0	Load
5	299	250	133.54	113.509	70.346	Load
6		0	0	0	0	Load
7		0	0	0	0	Load
8		0	0	0	0	Load
9		0	0	0	0	Load
10		0	0	0	0	Load
11		0	0	0	0	Load
12		0	0	0	0	Load
13	201	200	126.768	107.753	66.779	Load
14		0	0	0	0	Load
15	461	250	212.3	180.455	111.835	Load
16		0	0	0	0	Load
17		0	0	0	0	Load
18		0	0	0	0	Load
19		0	0	0	0	Load
20	478	200	126.72	107.712	66.754	Load
21	362	200	108.46	92.191	57.135	Load
22		0	0	0	0	Load
23		0	0	0	0	Load
24	969	160	103	87.55	54.258	Load

25	614	200	117.48	99.858	61.886	Load
26	181	150	88.22	74.987	46.473	Load
27		0	0	0	0	Load
28		0	0	0	0	Load
29	970	160	97.24	82.654	51.224	Load
30	957	160	103	87.55	54.259	Load
31		0	0	0	0	Load
32		0	0	0	0	Load
33		0	0	0	0	Load
34	206	150	41.514	35.287	21.869	Load
35		0	0	0	0	Load
36	298A	160	130	110.5	68.481	Load
37	298	150	110.88	94.248	58.409	Load
38	192	200	103.986	88.388	54.778	Load
39	70	200	121	102.85	63.74	Load
40	596	150	97.837	83.161	51.539	Load
41	679	160	91.168	77.493	48.025	Load
42	877	160	30.736	26.126	16.191	Load
43	962	25	19.295	16.401	10.164	Load
44	435	100	27.28	23.188	14.371	Load
45	664	160	105	89.25	55.312	Load
46	177	160	122.988	104.54	64.788	Load
47		0	0	0	0	Load
48	604	160	56.832	48.307	29.938	Load
49	178	160	66.22	56.287	34.883	Load
50		0	0	0	0	Load
51	452	100	83	70.55	43.723	Load
52	178A	150	108.46	92.191	57.135	Load
53	895	25	23.76	20.196	12.516	Load
54	381	100	30.912	26.275	16.284	Load
55	504	100	77.604	65.963	40.88	Load
56	912	160	72.488	61.615	38.185	Load
57	201A	200	111.277	94.585	58.618	Load
58	625	160	141.3	120.105	74.434	Load
59	874	160	73.7	62.645	38.824	Load
60	893	100	53.46	45.441	28.126	Load
61	602	100	74.58	63.393	39.287	Load
62	914	200	103	87.55	54.258	Load
63	678	315	196	166.6	103.249	Load
64	648	100	97	82.45	51.098	Load
65		0	0	0	0	Load
66	470	250	89.1	75.735	46.936	Load
67		0	0	0	0	Load

68	376	160	83.16	70.686	43.807	Load
69	984	100	44.66	37.961	23.526	Load
70		0	0	0	0	Load
71	380	150	100.456	85.388	52.918	Load
72	881	160	25.52	21.692	13.443	Load
73	179	100	92.84	78.914	48.906	Load
74	482	250	147.4	125.29	77.647	Load
75	619	200	55.66	47.311	29.321	Load
76	501	100	75.24	63.954	39.635	Load
77	473	160	116.16	98.736	61.191	Load
78	207	200	105	89.25	55.312	Load
79	595A	50	35	29.75	18.437	Load
80	595	150	138.649	117.852	73.038	Load
81	391	160	135.08	114.818	71.157	Load
82	418	160	54.12	46.002	28.509	Load
83	572	160	108.02	91.817	56.903	Load
84		0	0	0	0	Load
85	225	250	169.18	143.803	89.121	Load
86	225A	160	137.81	117.139	72.596	Load
87	518	150	81.395	69.186	42.877	Load
88	458	160	135	114.75	71.115	Load
89	688	100	87.989	74.791	46.351	Load
90	81	160	130.962	111.318	68.988	Load
91	643	160	106.7	90.695	56.207	Load

4.2.3. Data Aliran Daya Tiap Saluran Penyulang Dinoyo

4.2.3.1. Data Aliran Daya Penyulang Dinoyo pada Pukul 00.00 WIB

Tabel 4.5. Data Aliran Daya Penyulang Dinoyo pada Pukul 00.00 WIB

Saluran	DAYA		Saluran	DAYA	
	P (kW)	Q (kVAR)		P (kW)	Q (kVAR)
1-2	3608.459	2258.04	27-77	71.093	44.06
2-3	3537.695	2212.563	28-29	1104.039	684.64
2-38	63.64	39.44	28-78	64.26	39.825
3-4	3462.307	2165.636	29-30	1044.479	647.697
3-39	74.052	45.893	30-31	981.29	608.439
4-5	3397.624	2121.964	31-32	874.912	542.444
4-40	59.877	37.11	31-79	106.276	65.868
5-6	3314.322	2068.908	32-33	769.064	470.616
6-7	3225.397	2011.518	32-81	115.799	71.766
6-41	86.416	53.556	33-34	692.94	429.626

7-8	3208.282	2000.53	33-83	66.108	40.97
7-44	16.695	10.347	34-35	667.379	413.686
8-9	2859.777	1782.771	35-36	147.421	91.366
8-45	346.588	214.829	35-84	519.918	322.268
9-10	2839.426	1768.858	36-37	67.858	42.055
9-54	18.918	11.725	41-42	30.62	18.976
10-11	2747.258	1711.454	42-43	11.809	7.318
10-55	91.861	56.934	45-46	282.313	174.981
11-12	2678.581	1668.369	46-47	207.042	128.33
11-57	68.101	42.205	47-48	156.239	96.84
12-13	2591.978	1614.582	47-51	50.796	31.481
12-58	86.477	53.595	48-49	121.452	75.275
13-14	2513.262	1564.77	49-50	80.922	50.153
14-15	2433.865	1514.159	50-52	66.38	41.141
14-59	77.824	48.208	50-53	14.541	9.012
15-16	2303.711	1433.292	55-56	44.364	27.495
16-17	2255.794	1401.531	59-60	32.718	20.251
16-61	45.643	28.287	65-66	215.803	133.761
17-18	2192.602	1362.227	65-68	50.894	31.541
17-62	63.036	39.066	66-67	161.257	99.942
18-19	2013.018	1250.687	67-69	27.332	16.939
18-63	119.953	74.341	67-70	133.923	83
18-64	59.364	36.791	70-71	77.1	47.784
19-20	1745.788	1084.583	70-73	56.822	35.214
19-65	266.714	165.315	71-72	15.618	9.679
20-21	1667.605	1035.555	74-75	34.064	21.112
21-22	1600.986	994.115	79-80	84.853	52.588
22-23	1475.408	915.46	81-82	33.122	20.527
22-74	124.275	77.019	84-85	454.53	281.731
23-24	1429.078	886.567	84-91	65.301	40.47
23-76	46.047	28.538	85-86	350.885	217.48
24-25	1365.954	847.39	86-87	266.505	165.181
25-26	1294.012	802.776	87-88	216.667	134.291
26-27	1239.595	768.781	88-89	134.003	83.053
27-28	1168.357	724.539	89-90	80.15	49.674

4.2.3.2.

4.2.3.2. Data Aliran Daya Penyalang Dinoyo pada Pukul 14.00 WIB

Tabel 4.6. Data Aliran Daya Penyalang Dinoyo pada Pukul 14.00 WIB

Saluran	DAYA		Saluran	DAYA	
	P (kW)	Q (kVAR)		P (kW)	Q (kVAR)
1-2	2800.852	1748.867	27-77	55.294	34.269
2-3	2747.068	1714.558	28-29	858.542	532.326
2-38	49.497	30.676	28-78	49.98	30.975
3-4	2688.668	1678.241	29-30	812.226	503.603
3-39	57.595	35.694	30-31	763.106	473.103
4-5	2639.206	1645.431	31-32	680.386	421.797
4-40	46.571	28.863	31-79	82.659	51.229
5-6	2574.694	1604.589	32-33	590.292	365.943
6-7	2505.972	1560.628	32-81	90.064	55.817
6-41	67.212	41.654	33-34	538.865	334.065
7-8	2492.735	1552.195	33-83	51.417	31.866
7-44	12.985	8.048	34-35	519.012	321.702
8-9	2222.019	1383.353	35-36	114.661	71.061
8-45	269.562	167.079	35-84	404.327	250.61
9-10	2206.444	1372.917	36-37	52.779	32.709
9-54	14.714	9.119	41-42	23.815	14.759
10-11	2134.813	1328.354	42-43	9.185	5.692
10-55	71.447	44.281	45-46	219.573	136.091
11-12	2081.499	1294.0999	46-47	161.029	99.807
11-57	52.968	32.826	47-48	121.517	75.316
12-13	2014.163	1253.119	47-51	39.508	24.485
12-58	67.26	41.684	48-49	94.461	58.545
13-14	1953.14	1214.762	49-50	62.938	39.007
14-15	1891.665	1175.823	50-52	51.628	31.998
14-59	60.53	37.494	50-53	11.31	7.009
15-16	1790.474	1112.987	55-56	34.505	21.385
16-17	1753.608	1088.898	59-60	25.447	15.751
16-61	35.5	22.001	65-66	167.842	104.03
17-18	1704.486	1058.37	65-68	39.584	24.532
17-62	49.028	30.385	66-67	125.421	77.731
18-19	1564.857	971.689	67-69	21.259	13.175
18-63	93.297	57.821	67-70	104.161	64.554
18-64	46.172	28.615	70-71	59.966	37.165
19-20	1357.11	842.645	70-73	44.194	27.388
19-65	207.437	128.57	71-72	12.148	7.528
20-21	1296.412	804.683	74-75	26.494	16.42
21-22	1244.64	772.505	79-80	65.997	40.902
22-23	1147.199	711.619	81-82	25.761	15.965

22-74	96.658	59.903
23-24	1111.215	689.21
23-76	35.814	22.196
24-25	1062.134	658.759
25-26	1006.187	624.069
26-27	963.938	597.723
27-28	908.557	563.345
84-85	353.485	219.093
84-91	50.79	31.476
85-86	272.891	169.135
86-87	207.269	128.463
87-88	168.511	104.441
88-89	104.224	64.595
89-90	62.339	38.635

4.2.3.3. Data Aliran Daya Penyalang Dinoyo pada Pukul 19.00 WIB

Tabel 4.7. Data Aliran Daya Penyalang Dinoyo pada Pukul 19.00 WIB

Saluran	DAYA	
	P (kW)	Q (kVAR)
1-2	5029.933	3159.627
2-3	4927.673	3093.092
2-38	88.389	54.778
3-4	4822.219	3027.338
3-39	102.85	63.74
4-5	4729.694	2963.017
4-40	83.163	51.542
5-6	4613.114	2887.983
6-7	4488.202	2806.128
6-41	120.022	74.384
7-8	4464.196	2790.51
7-44	23.188	14.371
8-9	3979.067	2486.397
8-45	481.391	298.405
9-10	3949.998	2465.845
9-54	26.275	16.284
10-11	3821.811	2385.851
10-55	127.587	79.08
11-12	3726.104	2325.518
11-57	94.585	58.618
12-13	3605.75	2250.705
12-58	120.107	74.439
13-14	3495.786	2180.551
14-15	3384.626	2108.906
14-59	108.09	66.958
15-16	3203.728	1996.399
16-17	3135.897	1950.334
16-61	63.393	39.287
17-18	3048.043	1895.61
27-77	98.742	61.196
28-29	1533.873	951.438
28-78	89.249	55.312
29-30	1451.125	900.094
30-31	1363.276	845.459
31-32	1215.47	753.724
31-79	147.606	91.486
32-33	1054.54	653.925
32-81	160.836	99.679
33-34	962.693	596.982
33-83	91.815	56.903
34-35	927.104	574.734
35-36	204.752	126.899
35-84	722.278	447.732
36-37	94.246	58.409
41-42	42.527	26.356
42-43	16.401	10.164
45-46	392.112	243.048
46-47	287.568	178.253
47-48	217.005	134.511
47-51	70.55	43.724
48-49	168.686	104.554
49-50	112.392	69.66
50-52	92.196	57.143
50-53	20.196	12.516
55-56	61.617	38.189
59-60	45.441	28.127
65-66	299.738	185.8
65-68	70.686	43.807

17-62	87.55	54.259
18-19	2798.47	1740.463
18-63	166.601	103.253
18-64	82.449	51.098
19-20	2427.004	1509.292
19-65	370.46	229.632
20-21	2318.065	1440.654
21-22	2225.401	1382.928
22-23	2050.253	1272.763
22-74	172.605	106.972
23-24	1985.745	1232.432
23-76	63.954	39.637
24-25	1898.025	1177.958
25-26	1798.08	1115.963
26-27	1722.261	1068.445
27-28	1623.237	1006.895
66-67	223.972	138.815
67-69	37.962	23.527
67-70	186.007	115.283
70-71	107.084	66.369
70-73	78.921	48.905
71-72	21.692	13.443
74-75	47.311	29.322
79-80	117.85	73.039
81-82	46.003	28.51
84-85	631.413	391.392
84-91	90.696	56.208
85-86	487.4	302.108
86-87	370.184	229.452
87-88	300.953	186.539
88-89	186.116	115.356
89-90	111.318	38.993

4.3. Solusi Perbaikan Kualitas Daya dengan *Software PSCAD/EMTDC V.4.2*

Power Simulation

Software PSCAD/EMTDC V.4.2 Power Simulation merupakan *graphical user interface* yang fleksibel dan *powerful*. Dengan *software* ini secara skematis kita dapat mengkonstruksi rangkaian, menjalankan simulasi, menganalisa hasil dan manajemen data dalam sebuah integrasi yang lengkap dalam hal grafis, termasuk kontrol dan alat-alat ukur. Dengan demikian permasalahan yang ada pada penyulang dinoyo dan solusi yang ingin didapatkan dapat diperoleh dengan *software* PSCAD.

4.4. Validasi

Perhitungan dan Simulasi program PSCAD/EMTDC *Power Simulation* telah diuji coba pada sistem distribusi 20 kV Penyulang Dinoyo, dan hasil perhitungan dan simulasi dibandingkan dengan nilai referensi. Perbandingan tegangan dan

sudut tegangan serta daya aktif dan reaktif antara hasil perhitungan dan simulasi program dengan nilai referensi dapat dilihat pada tabel di bawah ini.

Tabel 4.8. Perbandingan Nilai Parameter Sistem Hasil Referensi dengan Hasil PSCAD/EMTDC

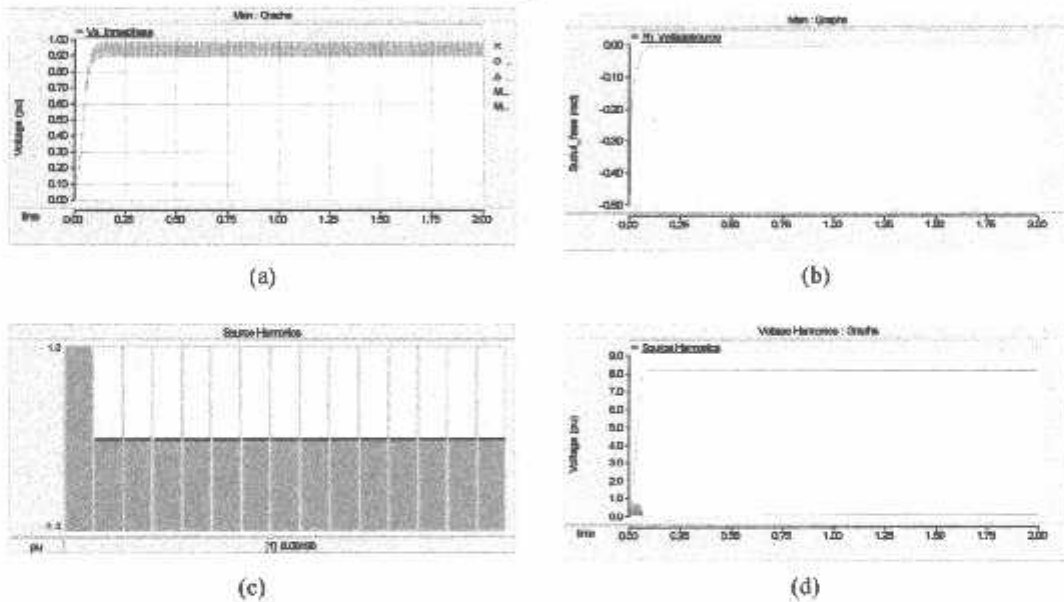
Dari Node	Ke Node	Hasil Referensi				Hasil PSCAD/EMTDC			
		Tegangan (pu)	Sudut Fasa (rad)	P (Kw)	Q (kVAR)	Tegangan (pu)	Sudut Fasa (rad)	P (Kw)	Q (kVAR)
19	20	0.98992	-0.47273	2427.004	1509.292	1.007510	-0.43636	2444.920	1502.470
2	38	0.99778	-0.07929	88.389	54.778	1.011753	-0.02841	90.57590	49.60049
3	39	0.99737	-0.09307	102.85	63.74	1.003321	-0.042621	103.7602	56.81277
4	40	0.99571	-0.1926	83.163	51.542	1.014942	-0.00369	84.37407	42.19377
41	42	0.9943	-0.29195	42.527	26.356	0.994811	-0.27113	48.23079	25.60782
42	43	0.99429	-0.29204	16.401	10.164	1.005156	-0.27106	16.63392	11.40345
8	45	0.99343	-0.35334	481.391	298.405	1.009427	-0.28382	491.1105	294.2173
50	52	0.99314	-0.35125	92.196	57.143	1.014481	-0.28377	92.13971	51.17681
50	53	0.9932	-0.35969	20.196	12.516	1.001098	-0.28379	23.10779	8.154712
9	54	0.993	-0.39438	26.275	16.284	0.994354	-0.283793	27.57599	15.99804
10	55	0.99282	-0.4057	127.587	79.08	0.995334	-0.28375	127.4777	74.80672
55	56	0.99277	-0.40725	61.617	38.189	1.038098	-0.28375	66.79703	34.23085
12	58	0.99261	-0.4272	120.107	74.439	0.996976	-0.28373	126.4056	69.60005
16	61	0.99058	-0.6164	63.393	39.287	1.067054	-0.27672	64.19563	31.04790
17	62	0.99052	-0.6224	87.55	54.259	1.037552	-0.27675	88.97779	51.97440
65	68	0.99008	-0.65721	70.686	43.807	1.058024	-0.27639	77.45030	40.10441
67	69	0.98988	-0.6619	37.962	23.527	1.098468	-0.27613	41.75130	20.19002
22	74	0.98925	-0.77473	172.605	106.902	0.992132	-0.29044	172.4662	101.3485
74	75	0.98923	-0.7751	47.311	29.322	1.087012	-0.2909650	50.46877	25.91199

4.5. Hasil dan analisa hasil perbaikan kualitas daya dengan UCPC

4.5.1. Hasil Perhitungan dan Simulasi sebelum kompensasi UCPC

Pada simulasi awal, Komponen UCPC tidak melakukan kompensasi sama sekali. DVR ini belum bekerja dan tidak memberikan tegangan injeksi ke beban. DSTATCOM tidak memberikan suplai VAR maupun Penyerapan VAR pada beberapa kondisi pengujian, maka akan dapat diketahui perbedaan kondisi sistem sebelum dan sesudah menggunakan peralatan UCPC:

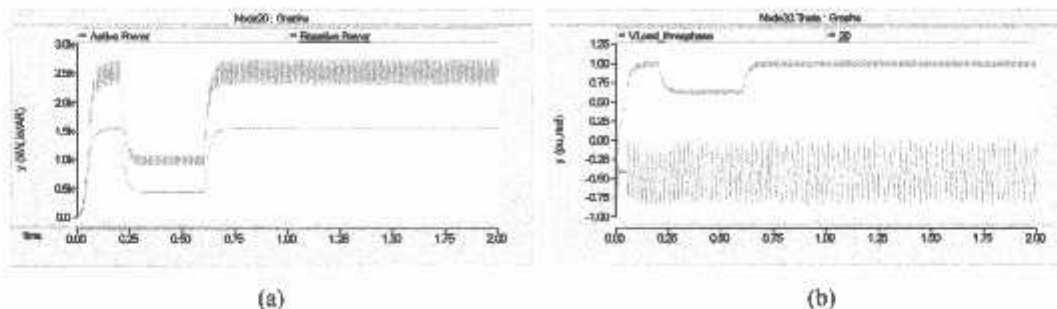
a. Sistem Sebelum Mengalami Gangguan



Grafik 4.1. (a) Bentuk Gelombang Tegangan *Input* (V_i), (b) Bentuk Gelombang Sudut Fasa Tegangan, (c dan d) Grafik Bar Frekuensi Harmonik Tegangan pada Sumber

b. Sistem Setelah Mengalami Gangguan

- Terjadi Gangguan *Voltage Sag* Selama (200-600 ms) Tanpa Dilakukan Kompensasi D-STATCOM

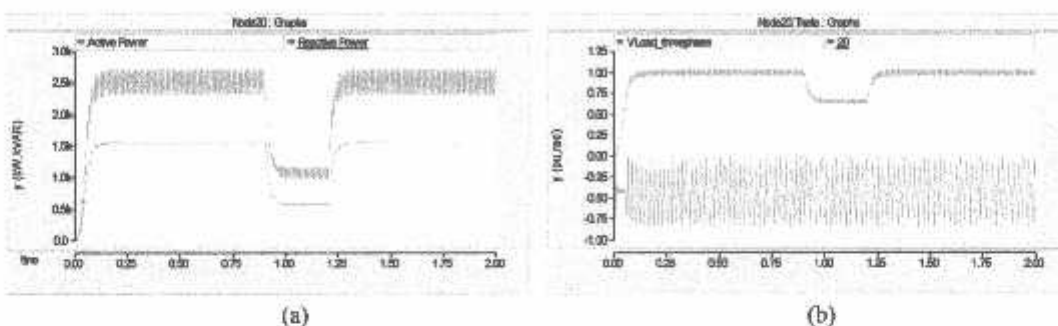


Grafik 4.2. (a) Bentuk Gelombang Daya Aktif dan Reaktif, (b) Gelombang Tegangan dan Sudut Fasa, Saat Terjadi *Voltage Sag* Tanpa Dilakukan Kompensasi DSTATCOM

Tabel 4.9. Hasil Perhitungan Saat Terjadi *Voltage Sag* Tanpa Kompensasi DSTATCOM

Dari Node	Ke Node	Tegangan (pu)	Sudut Fasa (rad)	P (Kw)	Q (kVAR)
19	20	0.89010949	-0.4344765	2137.012073	1274.583841
2	38	0.88065272	-0.0284137	74.38981282	42.23461988
3	39	0.87331850	-0.0426214	85.21699593	48.37535594
4	40	0.88340923	-0.0036958	69.29241631	35.92647739
41	42	0.86591607	-0.2710840	39.61302332	21.80556404
42	43	0.87490895	-0.2710142	13.66154201	9.710072863
8	45	0.87858855	-0.2838211	403.3015366	250.5060579
50	52	0.88298988	-0.2837773	75.66504662	43.57347235
50	53	0.87137094	-0.2838000	18.97844226	6.943700586
9	54	0.86549843	-0.2837939	22.64798212	13.62228087
10	55	0.86633164	-0.2837586	104.6894009	63.69440767
55	56	0.90355483	-0.2837522	54.856583	29.14597487
12	58	0.86774354	-0.2837399	103.7994168	59.2578873
16	61	0.98634994	-0.2759886	56.11126002	26.4356723
17	62	0.95906696	-0.2759191	77.7713688	44.25270104
65	68	0.97799862	-0.2758506	67.69641473	34.14661831
67	69	1.01540900	-0.2758626	36.49403771	17.19109699
22	74	0.91707842	-0.2894016	150.7415118	86.28958712
74	75	1.00480445	-0.2893325	44.11353065	22.06297208

➤ Terjadi Gangguan *Voltage Swell* Selama (900-1200 ms) Tanpa Dilakukan Kompensasi D-STATCOM

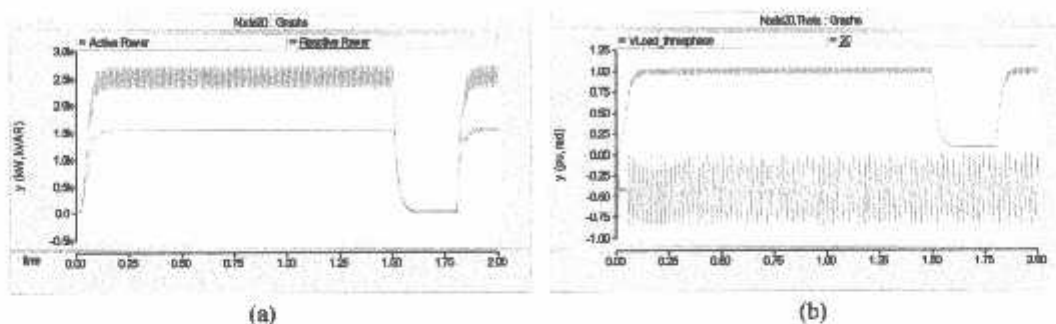


Grafik 4.3. (a) Bentuk Gelombang Daya Aktif dan Reaktif, (b) Gelombang Tegangan dan Sudut Fasa, Saat Terjadi *Voltage Swells* Tanpa Dilakukan Kompensasi DSTATCOM

Tabel 4.10. Hasil Perhitungan Saat Terjadi *Voltage Swells* Tanpa Kompensasi DSTATCOM

Dari Node	Ke Node	Tegangan (pu)	Sudut Fasa (rad)	P (Kw)	Q (kVAR)
19	20	0.91170126	-0.4362150	2226.512656	1349.493905
2	38	0.93503212	-0.0284283	80.15422085	44.71482418
3	39	0.92724325	-0.04262143	91.82068951	51.21726247
4	40	0.93796773	-0.0036978	74.66326767	38.03714107
41	42	0.91937802	-0.2714069	42.68231865	23.08654074
42	43	0.92892833	-0.2713371	14.720217	10.28077347
8	45	0.93287342	-0.2839675	434.5686059	265.228056
50	52	0.93754661	-0.2839237	81.53130795	46.1340444
50	53	0.92517529	-0.2839464	20.4491748	7.351744415
9	54	0.91894404	-0.2839403	24.4031321	14.42267476
10	55	0.91984673	-0.2839050	112.8044508	67.43670512
55	56	0.95936564	-0.2838987	59.10871642	30.85857933
12	58	0.92137216	-0.2838864	111.8485187	62.74116666
16	61	1.01029212	-0.2765447	58.46318886	27.98937914
17	62	0.98234047	-0.2763320	81.02986094	46.85381744
65	68	1.00173891	-0.2764115	70.53353888	36.15358228
67	69	1.04006668	-0.2761087	38.02451808	18.20138499
22	74	0.93932552	-0.2901664	157.0548344	91.36230033
74	75	1.02920361	-0.2904619	45.96317458	23.35964369

➤ Terjadi Hubung Singkat Tiga Fasa Simetris Selama (900-1200 ms) Tanpa Dilakukan Kompensasi DVR

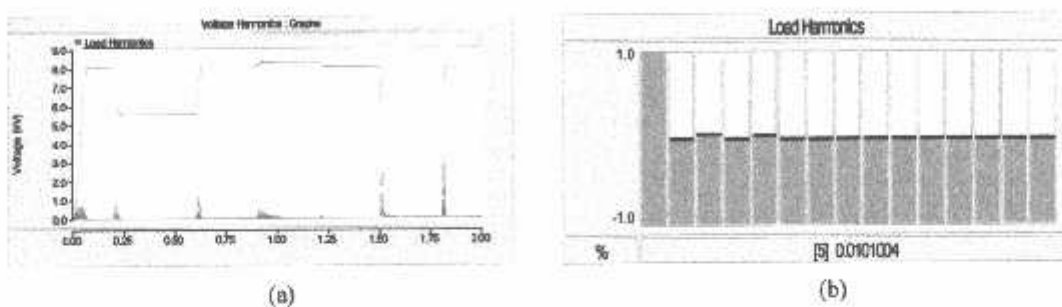


Grafik 4.4. (a) Bentuk Gelombang Daya Aktif dan Reaktif, (b) Gelombang Tegangan dan Sudut Fasa, Saat Terjadi *3Phase Symmetrical Fault* Tanpa Dilakukan Kompensasi DVR

Tabel 4.11. Hasil Perhitungan Saat Terjadi *3Phase Symmetrical Fault* Tanpa Kompensasi DVR

Dari Node	Ke Node	Tegangan (pu)	Sudut Fasa (rad)	P (Kw)	Q (kVAR)
19	20	0.82722912	-0.4354738	2065.96459	1267.375818
2	38	0.85782725	-0.0284171	76.42977031	42.03137401
3	39	0.85065496	-0.04262143	87.54974318	48.09378891
4	40	0.86047725	-0.0036960	71.1879217	35.71648902
41	42	0.8435171	-0.2712169	40.70419884	21.70371439
42	43	0.85228867	-0.2711842	14.03889657	9.654898021
8	45	0.85572261	-0.2837591	414.255111	249.0058069
50	52	0.8600135	-0.2837521	77.71881949	43.34974425
50	53	0.84883848	-0.2837703	19.50216392	6.904598669
9	54	0.84310549	-0.2838265	23.27196082	13.55859889
10	55	0.84382526	-0.2837610	107.5466635	63.31903542
55	56	0.88009613	-0.2837289	56.35519817	29.00207935
12	58	0.84510585	-0.2838839	106.6018898	58.89386755
16	61	0.91667777	-0.2763306	54.24942294	26.28893709
17	62	0.89131335	-0.2766303	75.18777774	44.00476335
65	68	0.90891459	-0.2764444	65.44935227	33.9566409
67	69	0.94368734	-0.2759906	35.28456844	17.09664206
22	74	0.85226925	-0.2900852	145.7249815	85.79846381
74	75	0.93383804	-0.2903723	42.65089288	21.94152583

➤ Frekuensi Harmonik Saat Terjadi *Voltage Sag*, *Swell* dan *Three Phase Symmetrical Fault* Tanpa kompensasi UCPC



Grafik 4.5. Total Harmonik Pada Beban Tanpa Kompensasi UCPC

Tabel 4.12. Magnitud Harmonik Tegangan Pada Tiap Orde Tanpa Kompensasi

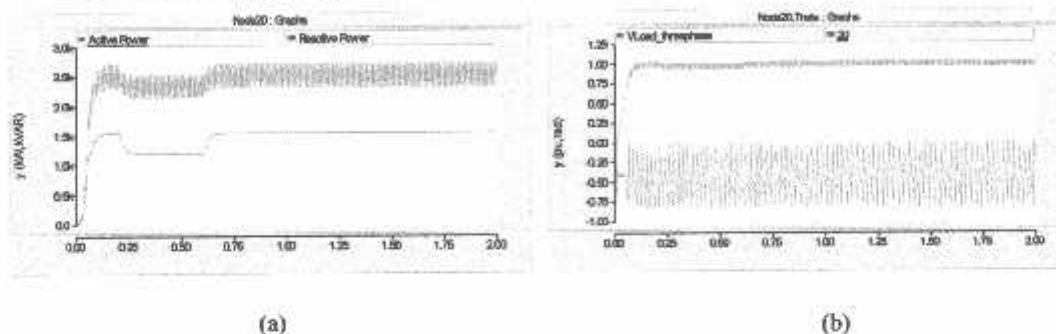
No.	Orde Harmonik (b)	Magnitud Harmonik Tegangan (pu)
1	1	6.253107243
2	2	0.06287626
3	3	0.034249341
4	4	0.025684297
5	5	0.022984266
6	6	0.034751324
7	7	0.022265942
8	8	0.014856333
9	9	0.012493234
10	10	0.010956177
11	11	0.010172862
12	12	0.010002745
13	13	0.010657135
14	14	0.012534252
15	15	0.016216981

Pada tiga kondisi gangguan di atas tampak bahwa tegangan, arus dan daya megalami penurunan. Pada keadaan *voltage sag* dalam selang waktu (0.2 – 0.6) s Terjadi fluktuasi tegangan, sedangkan pada saat yang sama arus dan daya mengalami penurunan. Pada keadaan sistem mengalami *voltage swell* tegangan cenderung tidak mengalami perubahan. Sedangkan pada saat terjadi gangguan tiga fasa simetris fluktuasi tegangan hampir mendekati nol.

4.5.2. Hasil Perhitungan dan Simulasi Setelah kompensasi

➤ Kompensasi dengan D-STATCOM Saat Terjadi Gangguan *Voltage Sag*

Selama (200-600 ms)

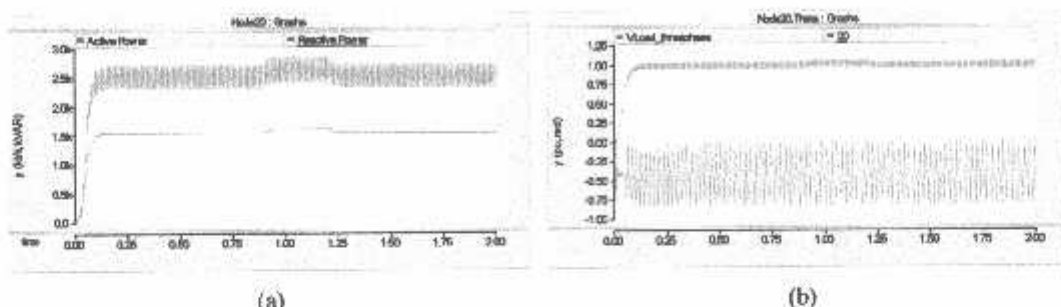


Grafik 4.6. (a) Bentuk Gelombang Daya Aktif dan Reaktif, (b) Gelombang Tegangan dan Sudut Fasa, Saat Terjadi *Voltage Sag* Dengan Dilakukan Kompensasi DSTATCOM

Tabel 4.13. Hasil Perhitungan Saat Terjadi *Voltage Sag* Dengan Kompensasi DSTATCOM

Dari Node	Ke Node	Tegangan (pu)	Sudut Fasa (rad)	P (Kw)	Q (kVAR)
19	20	0.95741896	-0.4351350	2408.183067	1426.961707
2	38	0.94710690	-0.0284125	80.76282392	47.28019209
3	39	0.93922852	-0.04262143	92.51820421	54.15494644
4	40	0.95008964	-0.0036956	75.230712	40.21941082
41	42	0.93125397	-0.2710837	43.00603831	24.41003291
42	43	0.94093606	-0.2710156	14.83181797	10.86996635
8	45	0.9449143	-0.2838092	437.8786253	280.4482454
50	52	0.94965279	-0.2837655	82.15241878	48.78175708
50	53	0.93712703	-0.2837882	20.60425365	7.77321887
9	54	0.93081673	-0.2837821	24.5882509	15.24962944
10	55	0.9317235	-0.2837467	113.6623804	71.30625393
55	56	0.97175023	-0.2837405	59.55813914	32.62912361
12	58	0.9332621	-0.2837280	112.7018959	66.34225187
16	61	1.06093089	-0.2759764	63.2312914	29.59599754
17	62	1.03159925	-0.2761411	87.64085447	49.54370079
65	68	1.05195643	-0.2758985	76.28675786	38.2289582
67	69	1.09216020	-0.2761415	41.12429023	19.24596153
22	74	0.98642961	-0.2896298	169.8739332	96.60816701
74	75	1.08077995	-0.2897411	49.71076442	24.70034122

➤ Kompensasi dengan D-STATCOM Saat Terjadi Gangguan *Voltage Swell*
Selama (900-1200 ms)

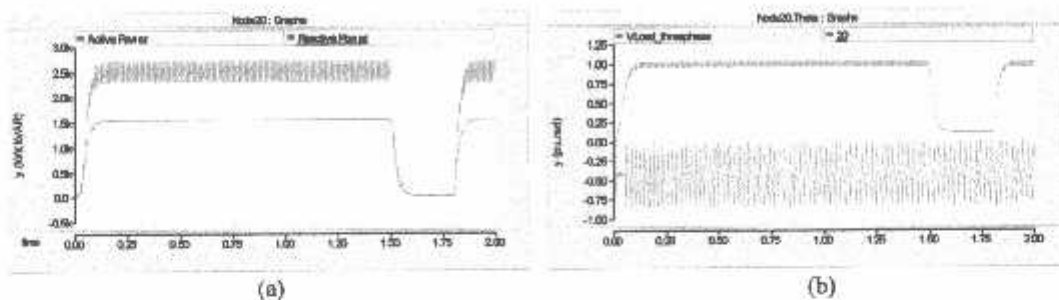


Grafik 4.7. (a) Bentuk Gelombang Daya Aktif dan Reaktif, (b)
Gelombang Tegangan dan Sudut Fasa, Saat Terjadi *Voltage Swells*
Dengan Dilakukan Kompensasi DSTATCOM

Tabel 4.14. Hasil Perhitungan Saat Terjadi *Voltage Swells* Dengan Kompensasi
DSTATCOM

Dari Node	Ke Node	Tegangan (pu)	Sudut Fasa (rad)	P (Kw)	Q (kVAR)
19	20	0.96631680	-0.4362940	2462.261607	1508.14015
2	38	1.01585683	-0.0284135	91.33568995	49.97135759
3	39	1.00739411	-0.04262143	104.6295794	57.23759331
4	40	1.01906167	-0.0036958	85.08063199	42.50923783
41	42	0.99885114	-0.2711354	48.63644404	25.79928514
42	43	1.00924768	-0.2710672	16.77400146	11.48871198
8	45	1.01351598	-0.2838207	495.2033484	296.4142881
50	52	1.01859297	-0.2837770	92.90727363	51.5590169
50	53	1.00516753	-0.2837997	23.30231743	8.215686322
9	54	0.99839289	-0.2837935	27.80795841	16.11767446
10	55	0.99936773	-0.2837582	128.5435528	75.3656648
55	56	1.04230541	-0.2837519	67.3558784	34.48648211
12	58	1.00101875	-0.2837396	127.4555579	70.11971712
16	61	1.07080037	-0.2762844	64.65646886	31.27988794
17	62	1.04118898	-0.2765640	89.61198611	52.36254902
65	68	1.0617371	-0.2765838	78.00498003	40.40405614
67	69	1.10233958	-0.2765295	42.05369405	20.34101322
22	74	0.99560541	-0.2901987	173.6856991	102.1050613
74	75	1.09083804	-0.2903856	50.83310223	26.10565891

➤ Kompensasi dengan DVR saat terjadi *Three Phase Symmetrical Fault* selama (1500-1800 ms)

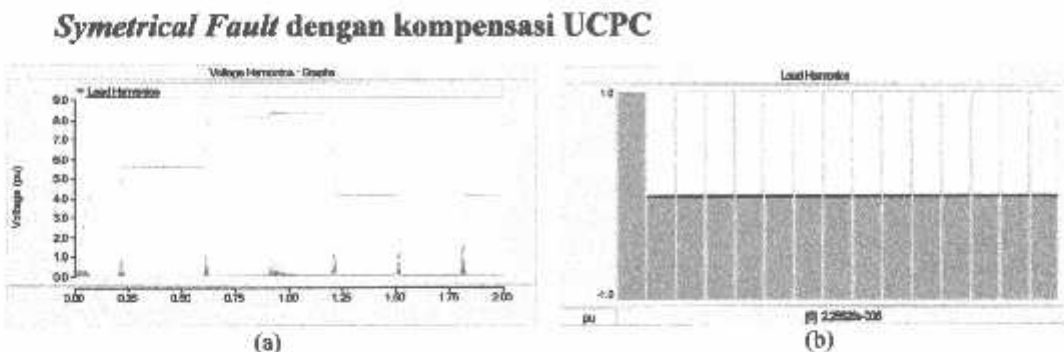


Grafik 4.8. (a) Bentuk Gelombang Daya Aktif dan Reaktif, (b) Gelombang Tegangan dan Sudut Fasa, Saat Terjadi *3Phase Symmetrical Fault* Dengan Dilakukan Kompensasi DVR

Tabel 4.15. Hasil Perhitungan Saat Terjadi *3Phase Symmetrical Fault* Dengan Kompensasi DVR

Dari Node	Ke Node	Tegangan (pu)	Sudut Fasa (rad)	P (Kw)	Q (kVAR)
19	20	0.83081471	-0.4355668	2067.225902	1266.66577
2	38	0.85723527	-0.0283983	76.51510519	44.98993616
3	39	0.85022724	-0.04262143	87.63048281	44.45390483
4	40	0.8599937	-0.0036917	71.27757519	38.22269214
41	42	0.84280221	-0.2711583	40.73487177	22.72326945
42	43	0.85136394	-0.2710063	14.04638478	10.31484037
8	45	0.85596075	-0.2838732	415.0324562	244.3124546
50	52	0.86028361	-0.2839685	77.86971167	42.50145437
50	53	0.84804407	-0.2837241	19.51471106	7.22759606
9	54	0.84239439	-0.2836133	23.28959459	14.19390375
10	55	0.84340702	-0.2836891	107.6950411	65.36996158
55	56	0.8796635	-0.2837744	56.4301375	30.77601065
12	58	0.84574611	-0.2838305	106.8644155	57.84004763
16	61	0.92063079	-0.2763594	54.28271137	26.26626675
17	62	0.89516799	-0.2768511	75.23377001	43.97386692
65	68	0.91283929	-0.2764358	65.48958706	33.92882155
67	69	0.94774752	-0.2760661	35.30636044	17.07912858
22	74	0.8559759	-0.2901270	145.8138448	85.76028298
74	75	0.93785869	-0.2905642	42.6772522	21.9200561

➤ Frekuensi Harmonik Saat Terjadi *Voltage Sag, Swells* dan *Three Phase Symmetrical Fault* dengan kompensasi UCPC



Grafik 4.9. Total Harmonic Pada Beban Dengan Kompensasi UCPC

Tabel 4.16. Magnitud Harmonik Tegangan Pada Tiap Orde dengan Kompensasi UCPC

No.	Orde Harmonik	Magnitud Harmonik Tegangan (pu)
1	1	4.511075878
2	2	0.070943136
3	3	0.037267571
4	4	0.027161697
5	5	0.021505973
6	6	0.019278748
7	7	0.024397732
8	8	0.014470246
9	9	0.012340886
10	10	0.011025129
11	11	0.010318244
12	12	0.010096706
13	13	0.010673734
14	14	0.012521019
15	15	0.016180202

Keadaan sistem jauh lebih stabil dengan menggunakan kompensasi UCPC dibandingkan tanpa menggunakan UCPC. Hal ini dapat diamati pada simulasi sistem dengan kondisi gangguan *voltage sag, voltage swell* dan *three phase symmetrical fault*. Perbedaan ini dapat di amati pada Grafik 4.2, 4.3, 4.4, 4.5 dengan grafik 4.6, 4.7, 4.8 dan dapat diamati juga perbandigan hasil perhitungan pada tabel 4.9, 4.10, 4.11 dengan tabel 4.13, 4.14, 4.14

4.5.3. Perbandingan Hasil Perhitungan dan Simulasi Sebelum Kompensasi Dan Sesudah Kompensasi.

4.5.3.1. Perbandingan Tegangan dan Sudut Fasa Beban Dengan dan Tanpa UCPC

Untuk mengetahui unjuk kerja UCPC maka salah satu cara yang dilakukan adalah mencari perbedaan nilai tegangan dan sudut fasa beban setiap *node* dengan simulasi mencakup kondisi mengalami gangguan dan tanpa gangguan. Perbandingan tersebut dapat dilihat pada tabel-tabel di bawah ini.

**Tabel 4.17.
Perbandingan Tegangan dan Sudut Fasa Beban saat gangguan
Voltage Sag dengan kompensasi dan tanpa kompensasi**

No.	Node	Tanpa DSTATCOM		Dengan DSTATCOM	
		Tegangan (pu)	Sudut Fasa (rad)	Tegangan (pu)	Sudut Fasa (rad)
1	20	0.89010949	-0.4344765	0.95741896	-0.4351350
2	38	0.88065272	-0.0284137	0.94710690	-0.0284125
3	39	0.87331850	-0.04262143	0.93922852	-0.04262143
4	40	0.88340923	-0.0036958	0.95008964	-0.0036956
5	42	0.86591607	-0.2710840	0.93125397	-0.2710837
6	43	0.87490895	-0.2710142	0.94093606	-0.2710156
7	45	0.87858855	-0.2838211	0.9449143	-0.2838092
8	52	0.88298988	-0.2837773	0.94965279	-0.2837655
9	53	0.87137094	-0.2838000	0.93712703	-0.2837882
10	54	0.86549843	-0.2837939	0.93081673	-0.2837821
11	55	0.86633164	-0.2837586	0.9317235	-0.2837467
12	56	0.90355483	-0.2837522	0.97175023	-0.2837405
13	58	0.86774354	-0.2837399	0.9332621	-0.2837280
14	61	0.98634994	-0.2759886	1.06093089	-0.2759764
15	62	0.95906696	-0.2759191	1.03159925	-0.2761411
16	68	0.97799862	-0.2758506	1.05195643	-0.2758985
17	69	1.01540900	-0.2758626	1.09216020	-0.2761415
18	74	0.91707842	-0.2894016	0.98642961	-0.2896298
19	75	1.00480445	-0.2893325	1.08077995	-0.2897411

Tabel 4.18.
Perbandingan Tegangan dan Sudut Fasa Beban saat gangguan *Voltage Swell*
dengan kompensasi dan tanpa kompensasi

No.	Node	Tanpa DSTATCOM		Dengan DSTATCOM	
		Tegangan (pu)	Sudut Fasa (rad)	Tegangan (pu)	Sudut Fasa (rad)
1	20	0.91170126	-0.4362150	0.96631680	-0.4362940
2	38	0.93503212	-0.0284283	1.01585683	-0.0284135
3	39	0.92724325	-0.04262143	1.00739411	-0.04262143
4	40	0.93796773	-0.0036978	1.01906167	-0.0036958
5	42	0.91937802	-0.2714069	0.99885114	-0.2711354
6	43	0.92892833	-0.2713371	1.00924768	-0.2710672
7	45	0.93287342	-0.2839675	1.01351598	-0.2838207
8	52	0.93754661	-0.2839237	1.01859297	-0.2837770
9	53	0.92517529	-0.2839464	1.00516753	-0.2837997
10	54	0.91894404	-0.2839403	0.99839289	-0.2837935
11	55	0.91984673	-0.2839050	0.99936773	-0.2837582
12	56	0.95936564	-0.2838987	1.04230541	-0.2837519
13	58	0.92137216	-0.2838864	1.00101875	-0.2837396
14	61	1.01029212	-0.2765447	1.07080037	-0.2762844
15	62	0.98234047	-0.2763320	1.04118898	-0.2765640
16	68	1.00173891	-0.2764115	1.0617371	-0.2765838
17	69	1.04006668	-0.2761087	1.10233958	-0.2765295
18	74	0.93932552	-0.2901664	0.99560541	-0.2901987
19	75	1.02920361	-0.2904619	1.09083804	-0.2903856

Tabel 4.19.
Perbandingan Tegangan dan Sudut Fasa Beban saat *Three Phase Symmetrical Fault* dengan kompensasi dan tanpa kompensasi

No.	Node	Tanpa DVR		Dengan DVR	
		Tegangan (pu)	Sudut Fasa (rad)	Tegangan (pu)	Sudut Fasa (rad)
1	20	0.82722912	-0.4354738	0.83081471	-0.4355668
2	38	0.85782725	-0.0284171	0.85723527	-0.0283983
3	39	0.85065496	-0.04262143	0.85022724	-0.04262143
4	40	0.86047725	-0.0036960	0.8599937	-0.0036917
5	42	0.8435171	-0.2712169	0.84280221	-0.2711583
6	43	0.85228867	-0.2711842	0.85136394	-0.2710063
7	45	0.85572261	-0.2837591	0.85596075	-0.2838732
8	52	0.8600135	-0.2837521	0.86028361	-0.2839685
9	53	0.84883848	-0.2837703	0.84804407	-0.2837241
10	54	0.84310549	-0.2838265	0.84239439	-0.2836133
11	55	0.84382526	-0.2837610	0.84340702	-0.2836891
12	56	0.88009613	-0.2837289	0.8796635	-0.2837744

13	58	0.84510585	-0.2838839	0.84574611	-0.2838305
14	61	0.91667777	-0.2763306	0.92063079	-0.2763594
15	62	0.89131335	-0.2766303	0.89516799	-0.2768511
16	68	0.90891459	-0.2764444	0.91283929	-0.2764358
17	69	0.94368734	-0.2759906	0.94774752	-0.2760661
18	74	0.85226925	-0.2900852	0.8559759	-0.2901270
19	75	0.93383804	-0.2903723	0.93785869	-0.2905642

4.5.3.2. Perbandingan Daya Aktif dan Daya Reaktif Beban Dengan dan Tanpa UCPC

Tabel 4.20.
Perbandingan Daya Aktif dan Daya Reaktif Beban saat gangguan
Voltage Sag dengan kompensasi dan tanpa kompensasi

No.	Node	Tanpa DSTATCOM		Dengan DSTATCOM	
		P (kW)	Q (kVAR)	P (kW)	Q (kVAR)
1	20	2137.012073	1274.583841	2408.183067	1426.961707
2	38	74.38981282	42.23461988	80.76282392	47.28019209
3	39	85.21699593	48.37535594	92.51820421	54.15494644
4	40	69.29241631	35.92647739	75.230712	40.21941082
5	42	39.61302332	21.80556404	43.00603831	24.41003291
6	43	13.66154201	9.710072863	14.83181797	10.86996635
7	45	403.3015366	250.5060579	437.8786253	280.4482454
8	52	75.66504662	43.57347235	82.15241878	48.78175708
9	53	18.97844226	6.943700586	20.60425365	7.77321887
10	54	22.64798212	13.62228087	24.5882509	15.24962944
11	55	104.6894009	63.69440767	113.6623804	71.30625393
12	56	54.856583	29.14597487	59.55813914	32.62912361
13	58	103.7994168	59.2578873	112.7018959	66.34225187
14	61	56.11126002	26.4356723	63.2312914	29.59599754
15	62	77.7713688	44.25270104	87.64085447	49.54370079
16	68	67.69641473	34.14661831	76.28675786	38.2289582
17	69	36.49403771	17.19109699	41.12429023	19.24596153
18	74	150.7415118	86.28958712	169.8739332	96.60816701
19	75	44.11353065	22.06297208	49.71076442	24.70034122

Tabel 4.21.
Perbandingan Daya Aktif dan Daya Reaktif Beban saat gangguan
Voltage Swells dengan kompensasi dan tanpa kompensasi

No.	Node	Tanpa DSTATCOM		Dengan DSTATCOM	
		P (Kw)	Q (kVAR)	P (Kw)	Q (kVAR)
1	20	2226.512656	1349.493905	2462.261607	1508.14015
2	38	80.15422085	44.71482418	91.33568995	49.97135759
3	39	91.82068951	51.21726247	104.6295794	57.23759331
4	40	74.66326767	38.03714107	85.08063199	42.50923783
5	42	42.68231865	23.08654074	48.63644404	25.79928514
6	43	14.720217	10.28077347	16.77400146	11.48871198
7	45	434.5686059	265.228056	495.2033484	296.4142881
8	52	81.53130795	46.1340444	92.90727363	51.5590169
9	53	20.4491748	7.351744415	23.30231743	8.215686322
10	54	24.4031321	14.42267476	27.80795841	16.11767446
11	55	112.8044508	67.43670512	128.5435528	75.3656648
12	56	59.10871642	30.85857933	67.3558784	34.48648211
13	58	111.8485187	62.74116666	127.4555579	70.11971712
14	61	58.46318886	27.98937914	64.65646886	31.27988794
15	62	81.02986094	46.85381744	89.61198611	52.36254902
16	68	70.53353888	36.15358228	78.00498003	40.40405614
17	69	38.02451808	18.20138499	42.05369405	20.34101322
18	74	157.0548344	91.36230033	173.6856991	102.1050613
19	75	45.96317458	23.35964369	50.83310223	26.10565891

Tabel 4.22.
Perbandingan Daya Aktif dan Daya Reaktif Beban saat gangguan *Three Phase Symmetrical Fault* dengan kompensasi dan tanpa kompensasi

No.	Node	Tanpa DVR		Dengan DVR	
		P (Kw)	Q (kVAR)	P (Kw)	Q (kVAR)
1	20	2065.96459	1267.375818	2067.225902	1266.66577
2	38	76.42977031	42.03137401	76.51510519	44.98993616
3	39	87.54974318	48.09378891	87.63048281	44.45390483
4	40	71.1879217	35.71648902	71.27757519	38.22269214
5	42	40.70419884	21.70371439	40.73487177	22.72326945
6	43	14.03889657	9.654898021	14.04638478	10.31484037
7	45	414.255111	249.0058069	415.0324562	244.3124546
8	52	77.71881949	43.34974425	77.86971167	42.50145437
9	53	19.50216392	6.904598669	19.51471106	7.22759606
10	54	23.27196082	13.55859889	23.28959459	14.19390375
11	55	107.5466635	63.31903542	107.6950411	65.36996158
12	56	56.35519817	29.00207935	56.4301375	30.77601065

13	58	106.6018898	58.89386755	106.8644155	57.84004763
14	61	54.24942294	26.28893709	54.28271137	26.26626675
15	62	75.18777774	44.00476335	75.23377001	43.97386692
16	68	65.44935227	33.9566409	65.48958706	33.92882155
17	69	35.28456844	17.09664206	35.30636044	17.07912858
18	74	145.7249815	85.79846581	145.8138448	85.76028298
19	75	42.65089288	21.94152583	42.6772522	21.9200561

Berdasarkan tabel diatas bahwa penyaluran daya lebih optimal dengan menggunakan kompensasi UCPC daripada tanpa menggunakan UCPC. Terlihat bahwa total penyaluran daya pada saat terjadi voltage sag mengalami perbaikan pada saat menggunakan kompensasi UCPC:

Voltage SAG

- Optimasi Perbaikan Kualitas Tegangan Pada Kondisi *Voltage Sag*:

$$\begin{aligned}
 V_{\text{optimasi}} &= V_{\text{withUCPC}} - V_{\text{withoutUCPC}} \\
 &= 0.957419(\text{pu}) - 0.8901095(\text{pu}) \\
 &= 0.067309 \text{ pu}
 \end{aligned}$$

Perhitungan di atas adalah pada node 20, pada node yang lain juga terjadi perbaikan kualitas tegangan. Perbandingan dapat dilihat pada tabel 4.17

- Optimasi Penyaluran Daya Aktif dan Reaktif Pada Kondisi *Voltage Sag*:

$$\begin{aligned}
 P_{\text{optimasi}} &= \sum P_{\text{withUCPC}} - \sum P_{\text{withoutUCPC}} \\
 &= 5765.8108 - 3636.052395 \\
 &= 2129.75836 \text{ kW}
 \end{aligned}$$

Voltage SWELLS

- Optimasi Perbaikan Kualitas Tegangan Pada Kondisi *Voltage Swells*:

$$\begin{aligned}
 V_{\text{optimasi}} &= V_{\text{withUCPC}} - V_{\text{withoutUCPC}} \\
 &= 0.9663168(\text{pu}) - 0.9117013(\text{pu}) \\
 &= 0.054616 \text{ pu}
 \end{aligned}$$

Pada node yang lain juga terjadi perbaikan kualitas tegangan. Perbandingan dapat dilihat pada tabel 4.18

- **Optimasi penyaluran daya aktif dan reaktif Pada Kondisi *Voltage Swells*:**

$$\begin{aligned}P_{\text{optimasi}} &= \sum P_{\text{with UCPC}} - \sum P_{\text{without UCPC}} \\&= 4270.14 - 3826.336 \\&= 443.8034 \text{ kW}\end{aligned}$$

Three Phase Symmetrical Fault

- **Optimasi Perbaikan Kualitas Tegangan Pada Kondisi *Three Phase Symmetrical Fault*:**

$$\begin{aligned}V_{\text{optimasi}} &= V_{\text{with UCPC}} - V_{\text{without UCPC}} \\&= 0.8308147(\text{pu}) - 0.8272291(\text{pu}) \\&= 0.003586 \text{ pu}\end{aligned}$$

Pada node yang lain juga terjadi perbaikan kualitas tegangan. Perbandingan dapat dilihat pada tabel 4.19

- **Optimasi Penyaluran Daya Aktif dan Reaktif Pada Kondisi *Three Phase Symmetrical Fault*:**

$$\begin{aligned}P_{\text{optimasi}} &= \sum P_{\text{with UCPC}} - \sum P_{\text{without UCPC}} \\&= 3582.93 - 3579.674 \\&= 3.255992 \text{ kW}\end{aligned}$$

4.5.3.3. Perbandingan Jumlah Distorsi Harmonik Dengan dan Tanpa Menggunakan UCPC.

Tabel 4.23.

Perbandingan Harmonik Tegangan dan Sudut Fasa saat Gangguan *Voltage Sag* dengan Kompensasi dan tanpa Kompensasi

Orde Harmonik	Amplitud Harmonik Tegangan Pada Beban (pu)		Sudut Fasa (rad)		
	Tanpa UCPC	Dengan UCPC	Fasa A	Fasa B	Fasa C
1	6.253107243	4.511075878	-0.1030746	0.07682246	0.07504117
3	0.034249341	0.037267571	0.03260424	-0.0457262	-0.0442858
5	0.022984266	0.021505973	0.04860922	-0.0119556	-0.0111759
7	0.022265942	0.024397732	-0.0843453	0.02394818	0.02387932
9	0.012493234	0.012340886	0.00169605	-0.0376229	-0.0308149
11	0.010172862	0.010318244	0.02599935	-0.0301339	-0.0300122
13	0.010657135	0.010673734	-0.0034064	0.0119945	0.01191075
15	0.016216981	0.016180202	0.02296827	0.02296827	-0.0741767
THD Tegangan (%)	79.77683756	58.04700276			

Dari tabel-tabel perbandingan kualitas tegangan dan sudut fasa tanpa dan dengan kompensasi di atas, tampak bahwa terjadi perbedaan sudut fasa walaupun sangat kecil sekali. Sehingga berpengaruh juga pada amplitud harmonik tegangan tetapi terjadi perbedaan yang tidak signifikan. Hal ini terjadi karena beban pada sistem distribusi penyulang dinoyo termasuk dalam katagori beban yang tidak terlalu sensitif.

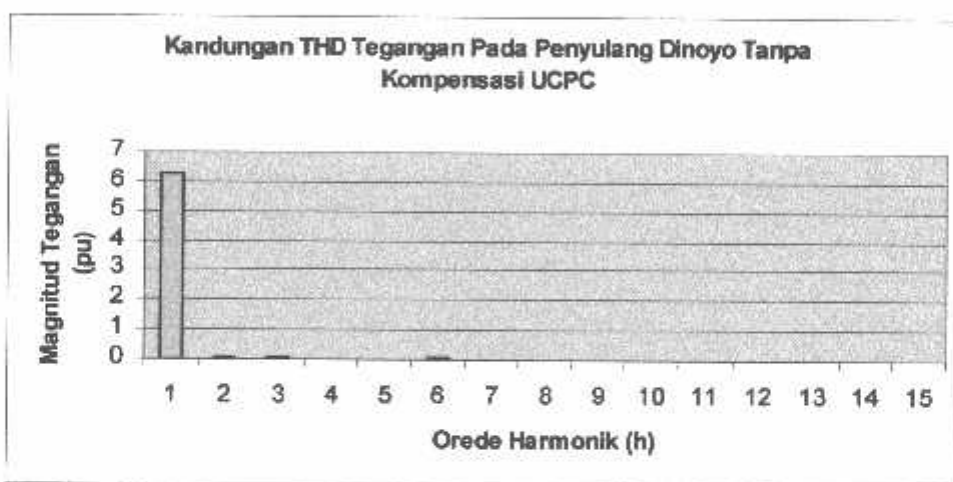
Oleh sebab itu dari hasil pengujian penggunaan UCPC pada penyulang dinoyo mampu direduksi distorsi harmonik sebesar 21.72983479 %.

$$\begin{aligned}\% \text{ Reduksi} &= \% \text{ Tanpa Kompensasi} - \% \text{ Dengan Kompensasi} \\ &= 79.77683756 - 58.04700276 \\ &= 21.72983479 \%\end{aligned}$$

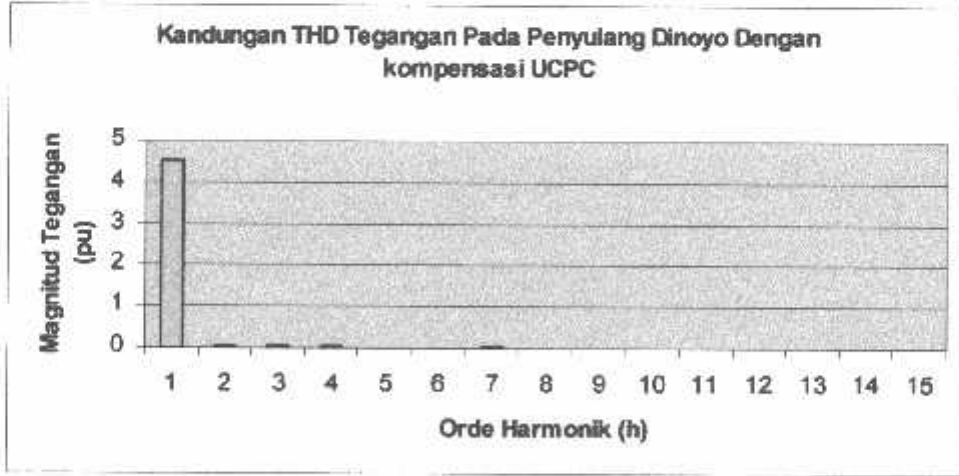
atau sama dengan:

$$\% \text{ Reduksi} = \frac{21.72983479 \%}{100} \times 20 \\ = 4.346 \text{ kV}$$

Jika pemasangan UCPC ini dilakukan pada beban-beban yang sangat sensitif seperti beban-beban industri yang menggunakan peralatan inverter dan motor-motor listrik dimana sistem ini berpeluang besar sekali menimbulkan distorsi harmonik maka akan memberikan kontribusi yang lebih baik terhadap sistem.



Grafik 4.10. Kandungan Harmonisa Sistim Distribusi 20 kV Penyulang Dinoyo Tanpa Menggunakan Kompensasi UCPC



Grafik 4.11. Kandungan Harmonisa Sistim Distribusi 20 kV Penyulang Dinoyo Dengan Menggunakan Kompensasi UCPC

BAB V

PENUTUP

5.1. Kesimpulan

1. Pada ketiga macam gangguan yang disimulasikan maka UCPC dapat menunjukkan kompensasi yang lebih baik dalam mempertahankan kualitas tegangan pada sistem.

Pada kondisi *voltage sag* tegangan pada node 20 mengalami perbaikan sebesar 0.067309 pu . (Pada node yang lain dapat dilihat pada tabel 4.17).

Pada kondisi *voltage swells* tegangan mengalami perbaikan sebesar 0.054616 pu . (Pada node yang lain dapat dilihat pada tabel 4.18)

Pada kondisi *three phase Symmetrical Fault* tegangan mengalami perbaikan sebesar 0.003586 pu . (Pada node yang lain dapat dilihat pada tabel 4.19)

2. - Pada saat *voltage sag* penyaluran daya aktif dapat dioptimalkan sebesar 2129.75836 kW
- Pada saat *voltage swells* penyaluran daya aktif dapat dioptimalkan sebesar 443.8034 kW
- Pada saat *three phase symmetrical fault* penyaluran daya aktif dapat dioptimalkan sebesar 3.255992 kW
3. Harmonik pada sistem dapat direduksi sebesar 21.72983479% atau sama dengan 4.346 kV .

5.2. Saran

Untuk analisis harmonik jika memungkinkan sebaiknya dapat diperoleh data lapangan pada penyulang dinoyo untuk mengetahui perbandingan besar harmonik pada sistem tanpa menggunakan UCPC dan dengan menggunakan UCPC.

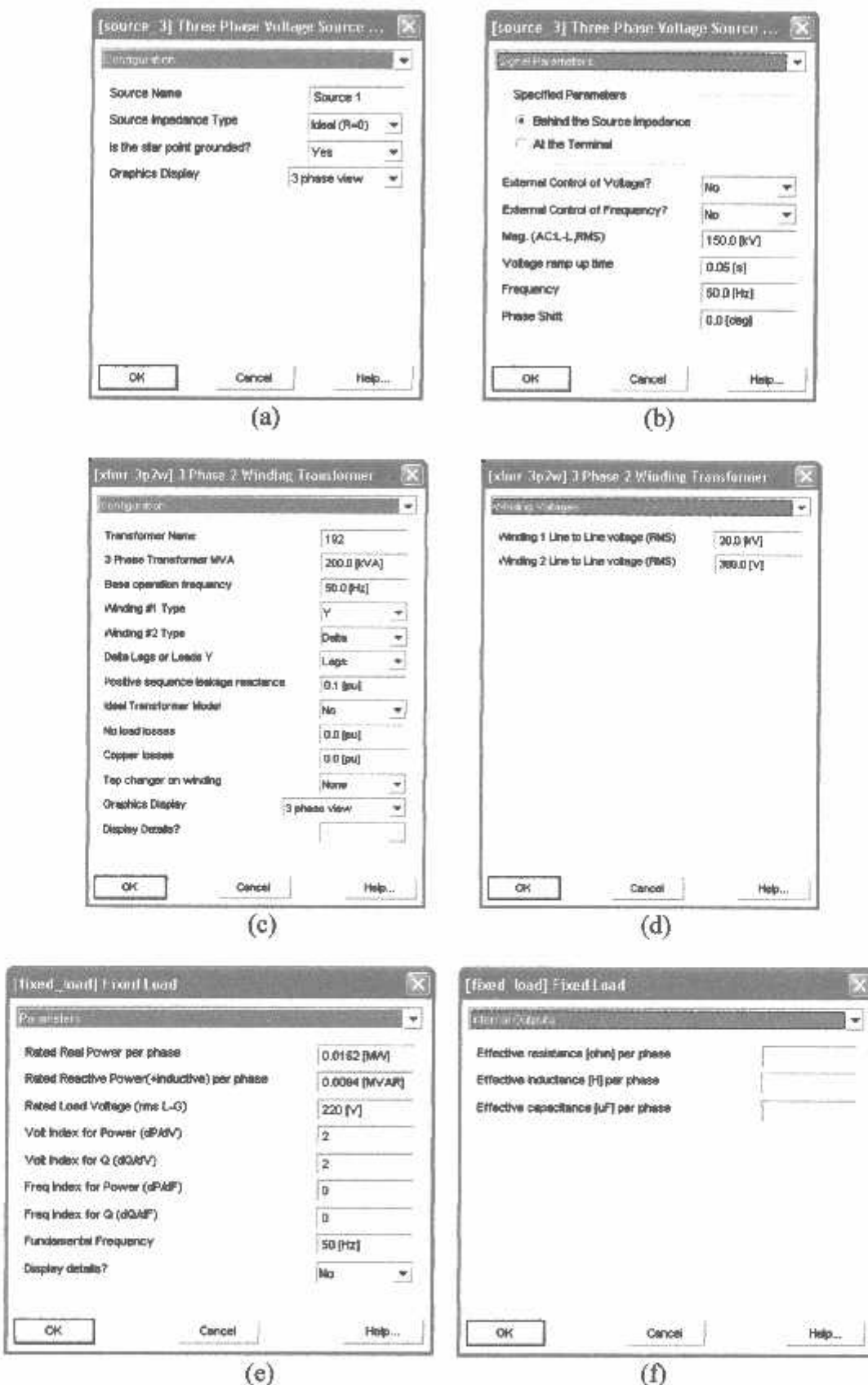
DAFTAR PUSTAKA

- [1] Hingorani, N. G., and Gyugyi, L. 2001, Understanding FACTS: *Concepts and Technology of Flexible AC Transmission Systems*, New York: IEEE Press.
- [2] Hingorani, N. G., 1995. *Introducing Custom Power*, IEEE Spectrum.32 (6): 41-48
- [3] Kamran, F. and Habetler, T. G. 1998, *Combined Deadbeat Control of Series - Parallel Converter Combination used as a Universal Power Filter*, IEEE Trans. on Power Electronics.13 (1): 160-168.
- [4] Stevenson, William D, Jr, "Analisis Sistem Tenaga Elektrik", Penerbit Erlangga edisi keempat, 1996.
- [5] Aredes, M. Heumann, K. and Watabe, E. H. 1998, *An Universal Active Power Line Conditioner*, IEEE Trans. on Power Delivery.13 (2): 545-551.
- [6] Woo, S. M, et al., 2001, *The Distribution STATCOM for reducing the effect of Voltage Sag and Swell*. In Proceedings of the IEEE Industrial Electronics: 1132-1137. New York
- [7] William H. Hayt, Jr, Jack E. Kemmerly, "Rangkaian Listrik", Jilid 1 edisi 4 Penerbit Erlangga, 1996.
- [8] Olimpo Anaya Lara and Acha, E. 2002, *Modeling and Analysis of Custom Power Systems by PSCAD/EMTDC*, IEEE. Trans. on Power Delivery.17 (1): 265-272.
- [9] Hadi Saadat, "Power System Analysis", McGraw-Hill.
- [10] Kartikheyen K., Mohan M. R., G. Uma, Sharneela C., "Power Quality Enhancement Using Universal Custom Power Conditioner", IEEE Trans. On Power Delivery.

LAMPIRAN

- A. Data Input Parameter Untuk *Three Phase Voltage Source, Transformator, Fixed Load, 3 Phase Circuit Breker, Power Electronic Switch.*
- B. Data Input Parameter Untuk Pengendalian Proportional-Integral dan SPWM.
- C. Data Hasil Perhitungan Menggunakan PSCAD/EMTDC Pada Setiap Kondisi Gangguan Dengan Kompensasi dan Tanpa Kompensasi UCPC.
- D. Grafik Hasil Simulasi Menggunakan PSCAD/EMTDC Pada Setiap Kondisi Gangguan Dengan Kompensasi dan Tanpa Kompensasi UCPC.

LAMPIRAN A:



Gambar 5.1. (a) Konfigurasi 3Ph Voltage Source (b) Signal Parameter 3Ph Voltage Source, (c) Konfigurasi 3P2W Transformer, (d) Winding Voltage 3P3W Tranformer, (e) Fixed Load Parameter, (f) Fixed Load Internal Output

[tbreakn] Timed Breaker Logic

Configuration

# of Breaker Operations	Initial State
<input type="radio"/> 1	<input type="radio"/> Close
<input checked="" type="radio"/> 2	<input checked="" type="radio"/> Open
Time of First Breaker Operation	0.2 [s]
Time of 2nd Breaker Operation	0.6 [s]

OK Cancel Help...

(a)

[tbreakn] Timed Breaker Logic

Configuration

# of Breaker Operations	Initial State
<input type="radio"/> 1	<input type="radio"/> Close
<input checked="" type="radio"/> 2	<input checked="" type="radio"/> Open
Time of First Breaker Operation	0.9 [s]
Time of 2nd Breaker Operation	1.2 [s]

OK Cancel Help...

(b)

[tbreakn] Timed Breaker Logic

Configuration

# of Breaker Operations	Initial State
<input type="radio"/> 1	<input type="radio"/> Close
<input checked="" type="radio"/> 2	<input checked="" type="radio"/> Open
Time of First Breaker Operation	0.2 [s]
Time of 2nd Breaker Operation	1.2 [s]

OK Cancel Help...

(c)

[tbreakn] Timed Breaker Logic

Configuration

# of Breaker Operations	Initial State
<input type="radio"/> 1	<input type="radio"/> Close
<input checked="" type="radio"/> 2	<input checked="" type="radio"/> Open
Time of First Breaker Operation	1.5 [s]
Time of 2nd Breaker Operation	1.8 [s]

OK Cancel Help...

(d)

[tpfIt] Three Phase Fault

Configuration

Fault Type Control	Internal
Clear possible at any current?	No
Is the Neutral Grounded?	Yes
Graphics Display	3 phase view
Current chopping limit	0.0 [kA]

OK Cancel Help...

(e)

[tpfIt] Three Phase Fault

Fault Type

Is Phase A in Fault?	Yes
Is Phase B in Fault?	Yes
Is Phase C in Fault?	Yes
Is this Fault to Neutral?	Yes

OK Cancel Help...

(f)

[Breaker 3] 3 Phase Breaker

Breaker Main Data	
Breaker name	CB
Breaker A name	
Breaker B name	
Breaker C name	
Breaker Open Resistance	1.0e6 [ohm]
Breaker Closed Resistance	0.1 [ohm]

OK Cancel Help...

(g)

[Breaker 3] 3 Phase Breaker

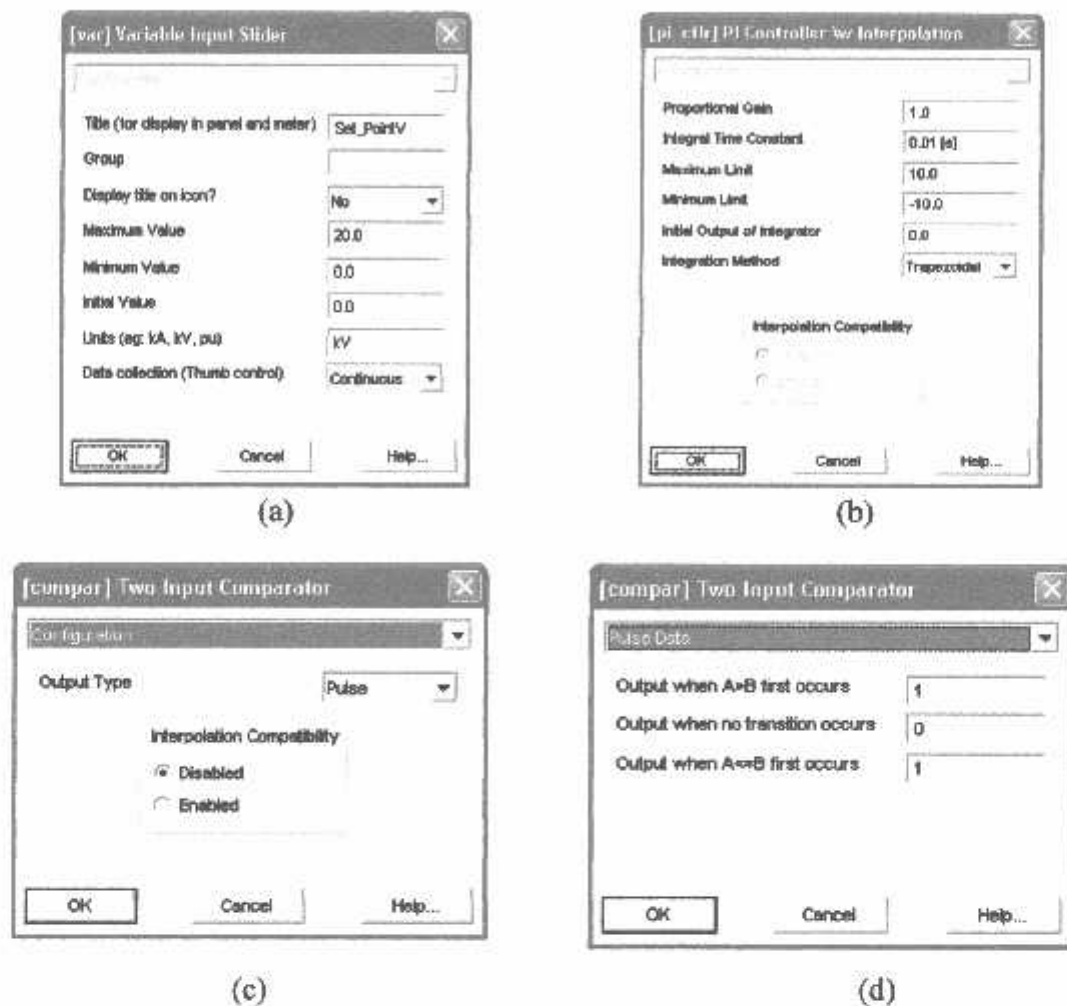
Configuration	
Single Pole operation	No
Open possible at any current?	No
Use pre-insertion resistance?	No
Current chopping limit	0.0 [kA]
Graphics Display	3 phase view
Graphics Display	High Voltage Display
Display Power Flow	Yes

OK Cancel Help...

(h)

Gambar 5.2. (a) *Timed Logic Breaker Sag* (b) *Timed Logic Breaker Swells*, (c) *Timed Logic Breaker Kompensasi Sag Dan Swells*, (d) *Timed Logic Breaker Kompensasi Fault*, (e) *Configuration Fault*, (f) *Fault Type*, (g) *Breaker 3Ph Main Data*, (h) *Configuration 3Ph Breaker*

LAMPIRAN B:



Gambar 5.3. (a) *Variabel Input Set Point* (b) *PI Controller Interpolation*,
(c) *Comparator Configuration*, (d) *Comparator Pulse Data*

LAMPIRAN C:

Tabel 5.1.
Hasil Perhitungan PSCAD Pada Kondisi Voltage Sag Tanpa Kompenasi DSTATCOM

Dari Node	Ke Node	Hasil Referensi			Hasil PSCAD/EMTDC				
		Tegangan (pu)	Sudut Fasa (rad)	P (Kw)	Q (kVAr)	Tegangan (pu)	Sudut Fasa (rad)	P (Kw)	Q (kVAr)
19	20	0.98992	-0.47273	2427.004	1509.292	0.89010949	-0.4344765	2137.012073	1274.583841
2	38	0.99778	-0.07929	88.389	54.778	0.88065272	-0.0284137	74.38981282	42.23461988
3	39	0.99737	-0.09307	102.85	63.74	0.87331850	-0.04262143	85.21699593	48.37535594
4	40	0.99571	-0.11926	83.163	51.542	0.88340923	-0.0036958	69.29241631	35.92647739
41	42	0.9943	-0.29195	42.527	26.356	0.86591607	-0.2710840	39.61302332	21.80556404
42	43	0.99429	-0.29204	16.401	10.164	0.87490895	-0.2710142	13.66154201	9.710072863
8	45	0.99343	-0.35334	481.391	298.405	0.87858855	-0.2838211	403.3015366	250.5060579
50	52	0.99314	-0.35125	92.196	57.143	0.88298988	-0.2837773	75.66504662	43.57347235
50	53	0.9932	-0.35969	20.196	12.516	0.87137094	-0.2838000	18.97844226	6.943700586
9	54	0.993	-0.39438	26.275	16.284	0.86549843	-0.2837939	22.64798212	13.62228087
10	55	0.99282	-0.4057	127.587	79.08	0.866333164	-0.2837586	104.6894009	63.69440767
55	56	0.99277	-0.40725	61.617	38.189	0.90355483	-0.2837522	54.856583	29.14597487
12	58	0.99261	-0.4272	120.107	74.439	0.86774354	-0.2837399	103.7994168	59.2578873
16	61	0.99058	-0.6164	63.393	39.287	0.98634994	-0.2759886	56.11126002	26.4356723
17	62	0.99052	-0.6224	87.55	54.259	0.95906696	-0.2759191	77.7713688	44.25270104
65	68	0.99008	-0.65721	70.686	43.807	0.97799862	-0.2758506	67.69641473	34.14661831
67	69	0.98988	-0.6619	37.962	23.527	1.01540900	-0.2758626	36.49403771	17.19109699
22	74	0.98925	-0.77473	172.605	106.902	0.91707842	-0.2894016	150.7415118	86.28958712
74	75	0.98923	-0.7751	47.311	29.322	1.00480445	-0.2893325	44.11353065	22.06297208
Jumlah				4169.21	2589.032			3636.052395	2129.758361

Tabel 5.2.
Hasil Perhitungan PSCAD Pada Kondisi Voltage Sag Dengan Kompensasi DSTATCOM

Dari Node	Ke Node	Hasil Referensi			Hasil PSCAD/EMTDC				
		Tegangan (pu)	Sudut Fasa (rad)	P (kW)	Q (kVAR)	Tegangan (pu)	Sudut Fasa (rad)	P (kW)	Q (kVAR)
19	20	0.98992	-0.47273	2427.004	1509.292	0.95741896	-0.4351350	2408.183067	1426.961707
2	38	0.99778	-0.07929	88.389	54.778	0.94710690	-0.0284125	80.76282392	47.28019209
3	39	0.99737	-0.09307	102.85	63.74	0.93922852	-0.04262143	92.51820421	54.15494644
4	40	0.99571	-0.1926	83.163	51.542	0.95008964	-0.0036956	75.230712	40.21941082
41	42	0.9943	-0.29195	42.527	26.356	0.93125397	-0.2710837	43.00603831	24.41003291
42	43	0.99429	-0.29204	16.401	10.164	0.94093606	-0.2710156	14.83181797	10.86996635
8	45	0.99343	-0.35334	481.391	298.405	0.9449143	-0.2838092	437.8786253	280.4482454
50	52	0.99314	-0.35125	92.196	57.143	0.94965279	-0.2837655	82.15241878	48.78175708
50	53	0.9932	-0.35969	20.196	12.516	0.93712703	-0.2837882	20.60425365	7.77321887
9	54	0.993	-0.39438	26.275	16.284	0.93081673	-0.2837821	24.5882509	15.24962944
10	55	0.99282	-0.4057	127.587	79.08	0.9317235	-0.2837467	113.6623804	71.30625393
55	56	0.99277	-0.40725	61.617	38.189	0.97175023	-0.2837405	59.55813914	32.62912361
12	58	0.99261	-0.4272	120.107	74.439	0.9332621	-0.2837280	112.7018959	66.34225187
16	61	0.99058	-0.6164	63.393	39.287	1.06093089	-0.2759764	63.2312914	29.59599754
17	62	0.99052	-0.62224	87.55	54.259	1.03159925	-0.2761411	87.64085447	49.54370079
65	68	0.99008	-0.65721	70.686	43.807	1.05195643	-0.2758985	76.28675786	38.2289582
67	69	0.98988	-0.66119	37.962	23.527	1.09216020	-0.2761415	41.12429023	19.24596153
22	74	0.98925	-0.77473	172.605	106.902	0.98642961	-0.2896298	169.8739332	96.60816701
74	75	0.98923	-0.7751	47.311	29.322	1.08077995	-0.2897411	49.71076442	24.70034122
Jumlah				4169.21	2589.032			4053.546519	2384.349862

Tabel 5.3.
Hasil Perhitungan PSCAD Pada Kondisi *Voltage Swells* Tanpa Kompensasi DSTATCOM

Dari Node	Ke Node	Hasil Referensi				Hasil PSCAD/EMTDC			
		Tegangan (pu)	Sudut Fasa (rad)	P (Kw)	Q (kVAR)	Tegangan (pu)	Sudut Fasa (rad)	P (Kw)	Q (kVAR)
19	20	0.98992	-0.47273	2427.004	1509.292	0.91170126	-0.4362150	2226.512656	1349.493905
2	38	0.99778	-0.07929	88.389	54.778	0.93503212	-0.0284283	80.15422085	44.71482418
3	39	0.99737	-0.09307	102.85	63.74	0.92724325	-0.04262143	91.82068951	51.21726247
4	40	0.99571	-0.1926	83.163	51.542	0.93796773	-0.0036978	74.66326767	38.03714107
41	42	0.99443	-0.29195	42.527	26.356	0.91937802	-0.2714069	42.68231865	23.08654074
42	43	0.99429	-0.29204	16.401	10.164	0.92892833	-0.2713371	14.720217	10.28077347
8	45	0.99343	-0.35334	481.391	298.405	0.93287342	-0.2839675	434.5686059	265.228056
50	52	0.99314	-0.35125	92.196	57.143	0.93754661	-0.2839237	81.53130795	46.13404444
50	53	0.9932	-0.35969	20.196	12.516	0.92517529	-0.2839464	20.4491748	7.351744415
9	54	0.993	-0.39438	26.275	16.284	0.91894404	-0.2839403	24.4031321	14.42267476
10	55	0.99282	-0.4057	127.587	79.08	0.91984673	-0.2839050	112.8044508	67.43670512
55	56	0.99277	-0.40725	61.617	38.189	0.95936564	-0.2838987	59.10871642	30.85857933
12	58	0.99261	-0.4272	120.107	74.439	0.92137216	-0.2838864	111.8485187	62.74116666
16	61	0.99058	-0.6164	63.393	39.287	1.01029212	-0.2765447	58.46318886	27.98937914
17	62	0.99052	-0.62224	87.55	54.259	0.98234047	-0.2763320	81.02986094	46.85381744
65	68	0.99008	-0.65721	70.686	43.807	1.00173891	-0.2764115	70.53353888	36.15358228
67	69	0.98988	-0.66119	37.962	23.527	1.04066668	-0.2761087	38.02451808	18.20138499
22	74	0.98925	-0.77473	172.605	106.902	0.93932552	-0.2901664	157.0548344	91.36230033
74	75	0.98923	-0.7751	47.311	29.322	1.02920361	-0.2904619	45.96317458	23.35964369
Jumlah				4169.21	2589.032			3826.336392	2254.923526

Tabel 5.4.
Hasil Perhitungan PSCAD Pada Kondisi *Voltage Swells* Dengan Kompensasi DSTATCOM

Dari Node	Ke Node	Hasil Referensi				Hasil PSCAD/EMTDC			
		Tegangan (pu)	Sudut Fasa (rad)	P (Kw)	Q (kVAR)	Tegangan (pu)	Sudut Fasa (rad)	P (Kw)	Q (kVAR)
19	20	0.98992	-0.47273	2427.004	1509.292	0.96631680	-0.4362940	2462.261607	1508.14015
2	38	0.99778	-0.07929	88.389	54.778	1.01585683	-0.0284135	91.33568995	49.97135759
3	39	0.99737	-0.09307	102.85	63.74	1.00739411	-0.04262143	104.6295794	57.23759331
4	40	0.99571	-0.1926	83.163	51.542	1.01906167	-0.0036958	85.08063199	42.50923783
41	42	0.9943	-0.29195	42.527	26.356	0.99885114	-0.2711354	48.63644404	25.79928514
42	43	0.99429	-0.29204	16.401	10.164	1.00924768	-0.2710672	16.77400146	11.48871198
8	45	0.99343	-0.35334	481.391	298.405	1.01351598	-0.2838207	495.2033484	296.4142881
50	52	0.99314	-0.35125	92.196	57.143	1.01859297	-0.2837770	92.90727363	51.5590169
50	53	0.9932	-0.35969	20.196	12.516	1.00516753	-0.2837997	23.30231743	8.215686322
9	54	0.993	-0.39438	26.275	16.284	0.99839289	-0.2837935	27.80795841	16.11767446
10	55	0.99282	-0.4057	127.587	79.08	0.99936773	-0.2837582	128.5435528	75.3656648
55	56	0.99277	-0.40725	61.617	38.189	1.04230541	-0.2837519	67.3558784	34.48648211
12	58	0.99261	-0.4272	120.107	74.439	1.00101875	-0.2837396	127.4555579	70.11971712
16	61	0.99058	-0.6164	63.393	39.287	1.07080037	-0.2762844	64.65646886	31.27988794
17	62	0.99052	-0.6224	87.55	54.259	1.04118898	-0.2765640	89.61198611	52.36254902
65	68	0.99008	-0.65721	70.686	43.807	1.06117371	-0.2765838	78.00498003	40.40405614
67	69	0.98988	-0.6619	37.962	23.527	1.10233958	-0.2765295	42.05369405	20.34101322
22	74	0.98925	-0.77473	172.605	106.902	0.99560541	-0.2901987	173.6856991	102.1050613
74	75	0.98923	-0.7751	47.311	29.322	1.09083804	-0.2903856	50.83310223	26.10565891
Jumlah				4169.21	2589.032			4270.139772	2520.023092

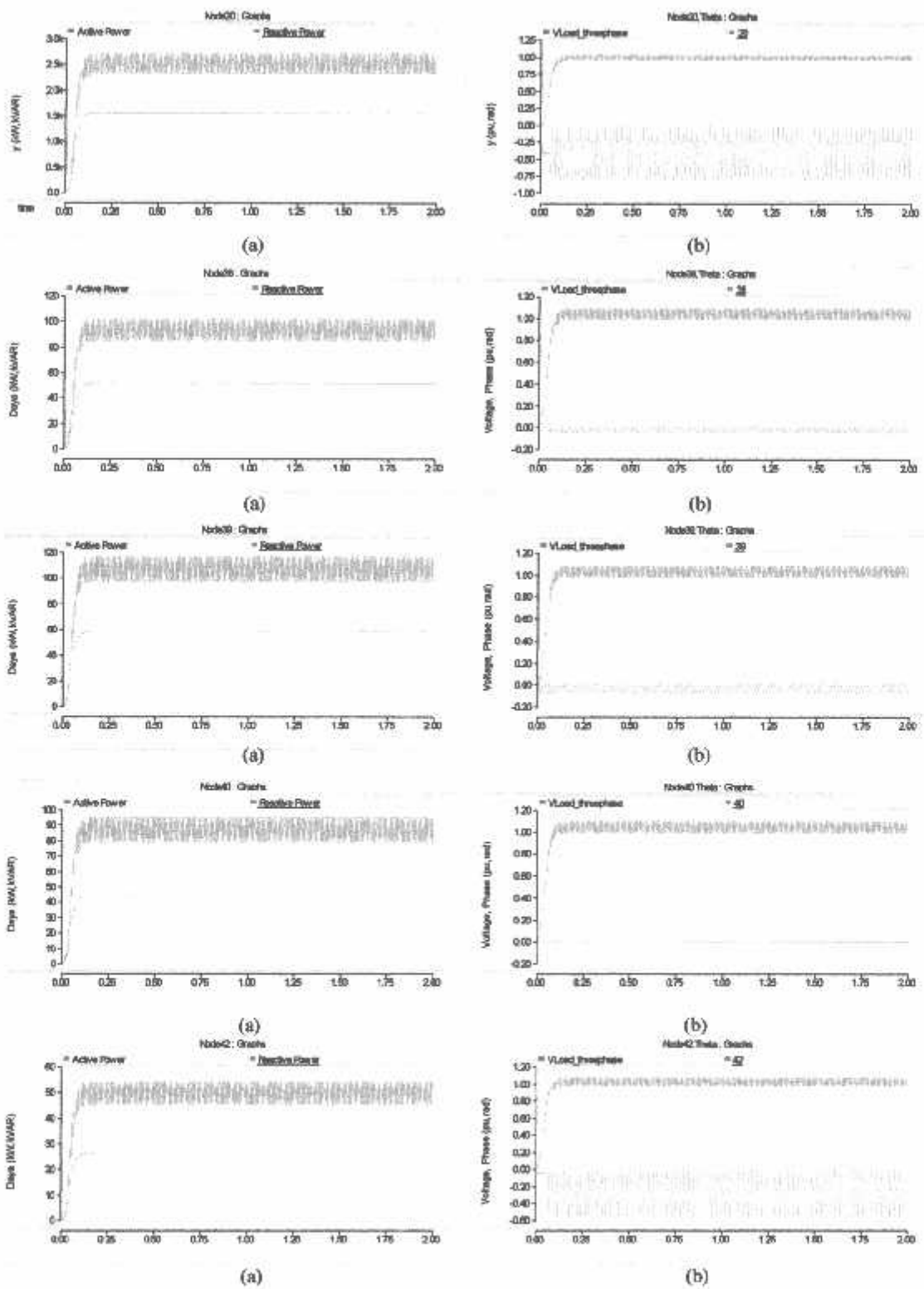
Tabel 5.5.
Hasil Perhitungan PSCAD Pada Kondisi *Three Phase Symmetrical Fault* Tanpa Kompensasi DVR

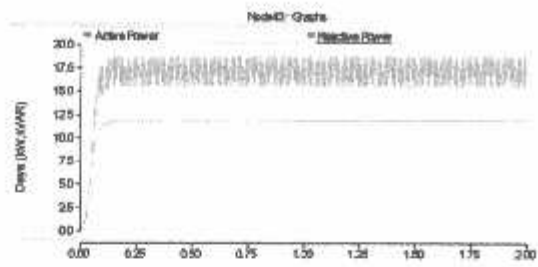
Dari Node	Ke Node	Hasil Referensi				Hasil PSCAD/EMTDC			
		Tegangan (pu)	Sudut Fasa (rad)	P (Kw)	Q (kVAR)	Tegangan (pu)	Sudut Fasa (rad)	P (Kw)	Q (kVAR)
19	20	0.98992	-0.47273	2427.004	1509.292	0.82722912	-0.4354738	2065.96459	1267.375818
2	38	0.99778	-0.07929	88.389	54.778	0.85782725	-0.0284171	76.42977031	42.03137401
3	39	0.99737	-0.09307	102.85	63.74	0.85065496	-0.04262143	87.54974318	48.09378891
4	40	0.99571	-0.1926	83.163	51.542	0.86047725	-0.0036960	71.1879217	35.71648902
41	42	0.9943	-0.29195	42.527	26.356	0.8435171	-0.2712169	40.70419884	21.70371439
42	43	0.99429	-0.29204	16.401	10.164	0.85228867	-0.2711842	14.03889657	9.654898021
8	45	0.99343	-0.35334	481.391	298.405	0.85572261	-0.2837591	414.255111	249.0058069
50	52	0.99314	-0.35125	92.196	57.143	0.8600135	-0.2837521	77.71881949	43.34974425
50	53	0.9932	-0.35969	20.196	12.516	0.84883848	-0.2837703	19.50216392	6.904598669
9	54	0.993	-0.39438	26.275	16.284	0.84310549	-0.2838265	23.27196082	13.55859889
10	55	0.99282	-0.4057	127.587	79.08	0.84382526	-0.2837610	107.5466635	63.31903542
55	56	0.99277	-0.40725	61.617	38.189	0.88009613	-0.2837289	56.35519817	29.00207935
12	58	0.99261	-0.4272	120.107	74.439	0.84510585	-0.2838839	106.6018898	58.89386755
16	61	0.99058	-0.6164	63.393	39.287	0.91667777	-0.2763306	54.24942294	26.28893709
17	62	0.99052	-0.6224	87.55	54.259	0.89131335	-0.2766303	75.1877774	44.00476335
65	68	0.99008	-0.65721	70.686	43.807	0.90891459	-0.2764444	65.44935227	33.9566409
67	69	0.98988	-0.6619	37.962	23.527	0.94368734	-0.2759906	35.28456844	17.09664206
22	74	0.98925	-0.77473	172.605	106.902	0.85226925	-0.2900852	145.7249815	85.79846581
74	75	0.98923	-0.7751	47.311	29.322	0.93383804	-0.2903723	42.65089288	21.94152583
Jumlah				4169.21	2589.032			3579.673923	2117.696789

Tabel 5.6.
Hasil Perhitungan PSCAD Pada Kondisi *Three Phase Symmetrical Fault* Dengan Kompensasi DVR

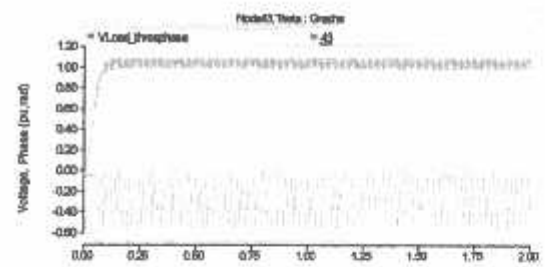
Dari Node	Ke Node	Hasil Referensi				Hasil PSCAD/EMTDC			
		Tegangan (pu)	Sudut Fasa (rad)	P (Kw)	Q (kVAR)	Tegangan (pu)	Sudut Fasa (rad)	P (Kw)	Q (kVAR)
19	20	0.98992	-0.47273	2427.004	1509.292	0.83081471	-0.4355668	2067.225902	1266.66577
2	38	0.99778	-0.07929	88.389	54.778	0.85723527	-0.0283983	76.51510519	44.98993616
3	39	0.99737	-0.09307	102.85	63.74	0.85022724	-0.04262143	87.63048281	44.45390483
4	40	0.99571	-0.1926	83.163	51.542	0.8599937	-0.0036917	71.27757519	38.22269214
41	42	0.99443	-0.29195	42.527	26.356	0.84280221	-0.2711583	40.73487177	22.72326945
42	43	0.99429	-0.29204	16.401	10.164	0.85136394	-0.2710063	14.04638478	10.31484037
8	45	0.99343	-0.35334	481.391	298.405	0.85596075	-0.2838732	415.03245562	244.31245446
50	52	0.99314	-0.35125	92.196	57.143	0.86028361	-0.2839685	77.86971167	42.50145437
50	53	0.9932	-0.35969	20.196	12.516	0.84804407	-0.2837241	19.51471106	7.22759606
9	54	0.993	-0.39438	26.275	16.284	0.84239439	-0.2836133	23.28959459	14.19390375
10	55	0.99282	-0.4057	127.587	79.08	0.84340702	-0.2836891	107.6950411	65.36996158
55	56	0.99277	-0.40725	61.617	38.189	0.8796635	-0.2837744	56.4301375	30.77601065
12	58	0.99261	-0.4272	120.107	74.439	0.84574611	-0.2838305	106.8644155	57.84004763
16	61	0.99058	-0.6164	63.393	39.287	0.92063079	-0.2763594	54.28271137	26.26626675
17	62	0.99052	-0.62224	87.55	54.259	0.89516799	-0.2768511	75.23377001	43.97386692
65	68	0.99008	-0.65721	70.686	43.807	0.91283929	-0.2764358	65.48958706	33.92882155
67	69	0.98988	-0.66619	37.962	23.527	0.94774752	-0.2760661	35.30636044	17.07912858
22	74	0.98925	-0.77473	172.605	106.902	0.8559759	-0.2901270	145.8138448	85.76028298
74	75	0.98923	-0.7751	47.311	29.322	0.93785869	-0.2905642	42.6772522	21.9200561
Jumlah				4169.21	2589.032			3582.929915	2118.520264

1. Grafik Tegangan dan Sudut Fasa Serta Daya Aktif dan Reaktif Pada Kondisi Normal

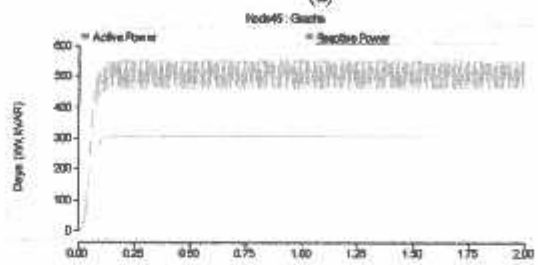




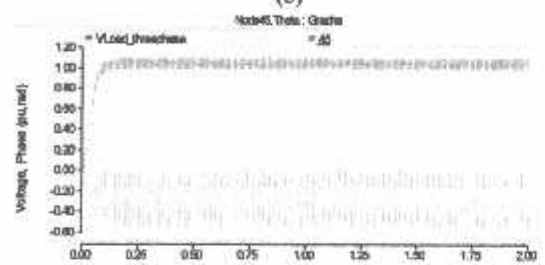
(a)



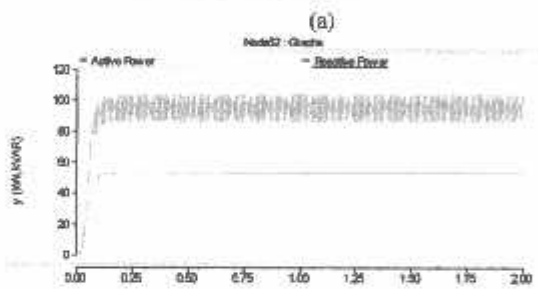
(b)



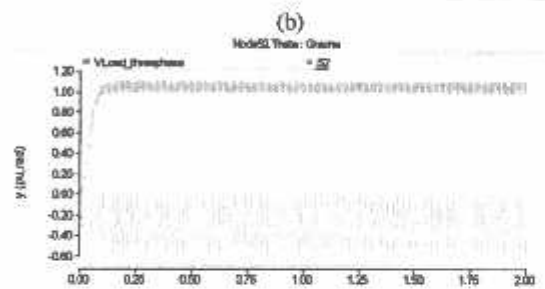
(a)



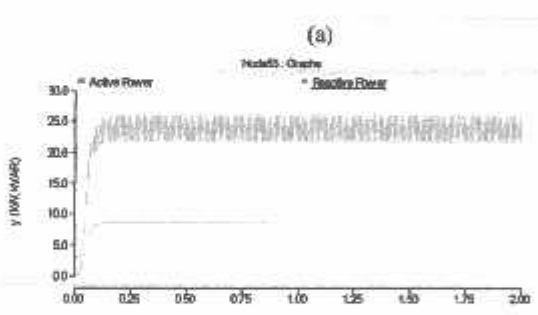
(b)



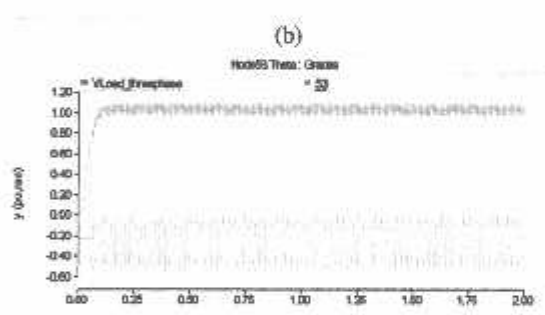
(a)



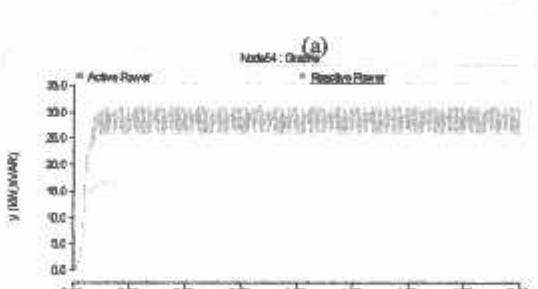
(b)



(a)



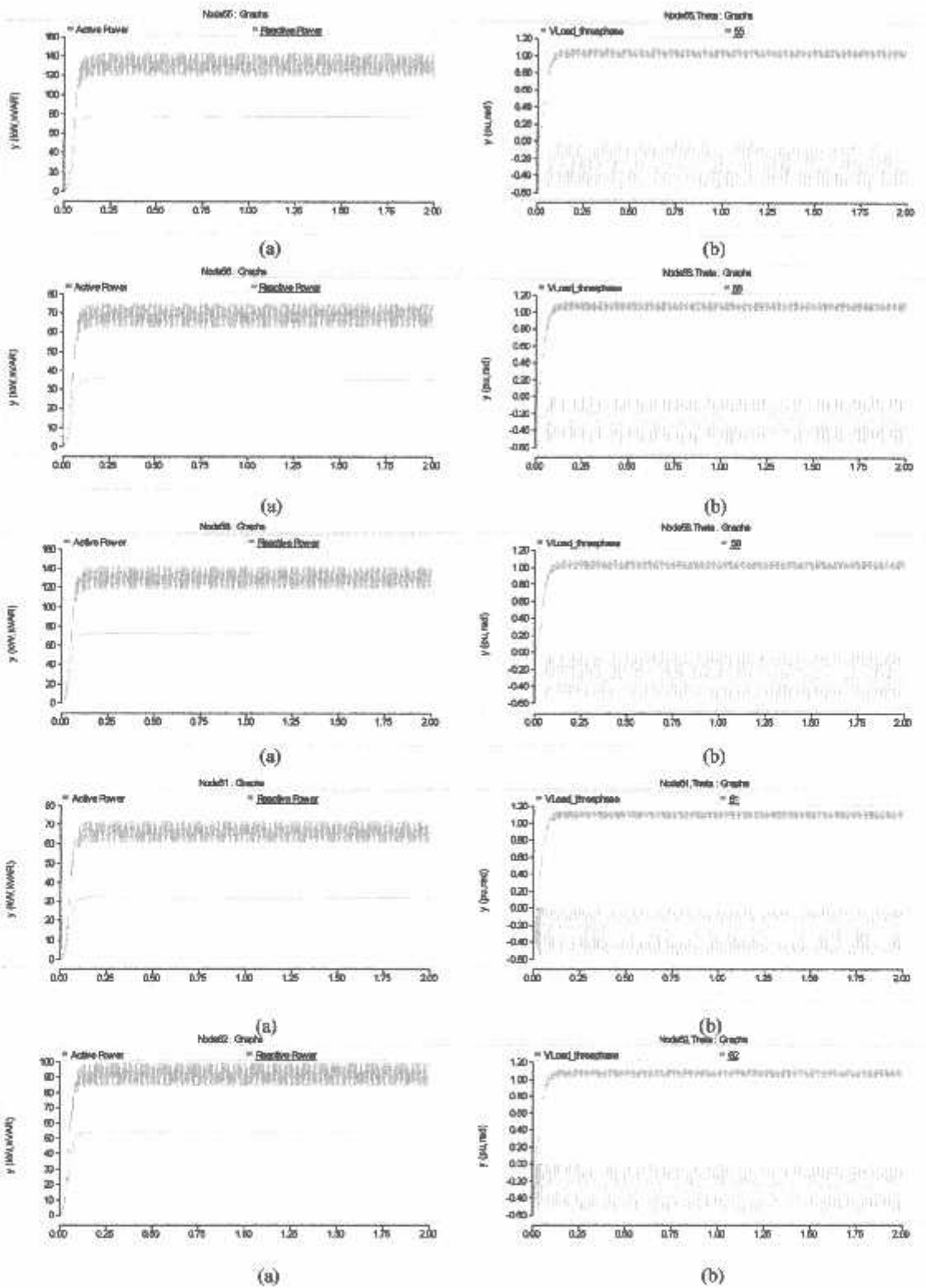
(b)

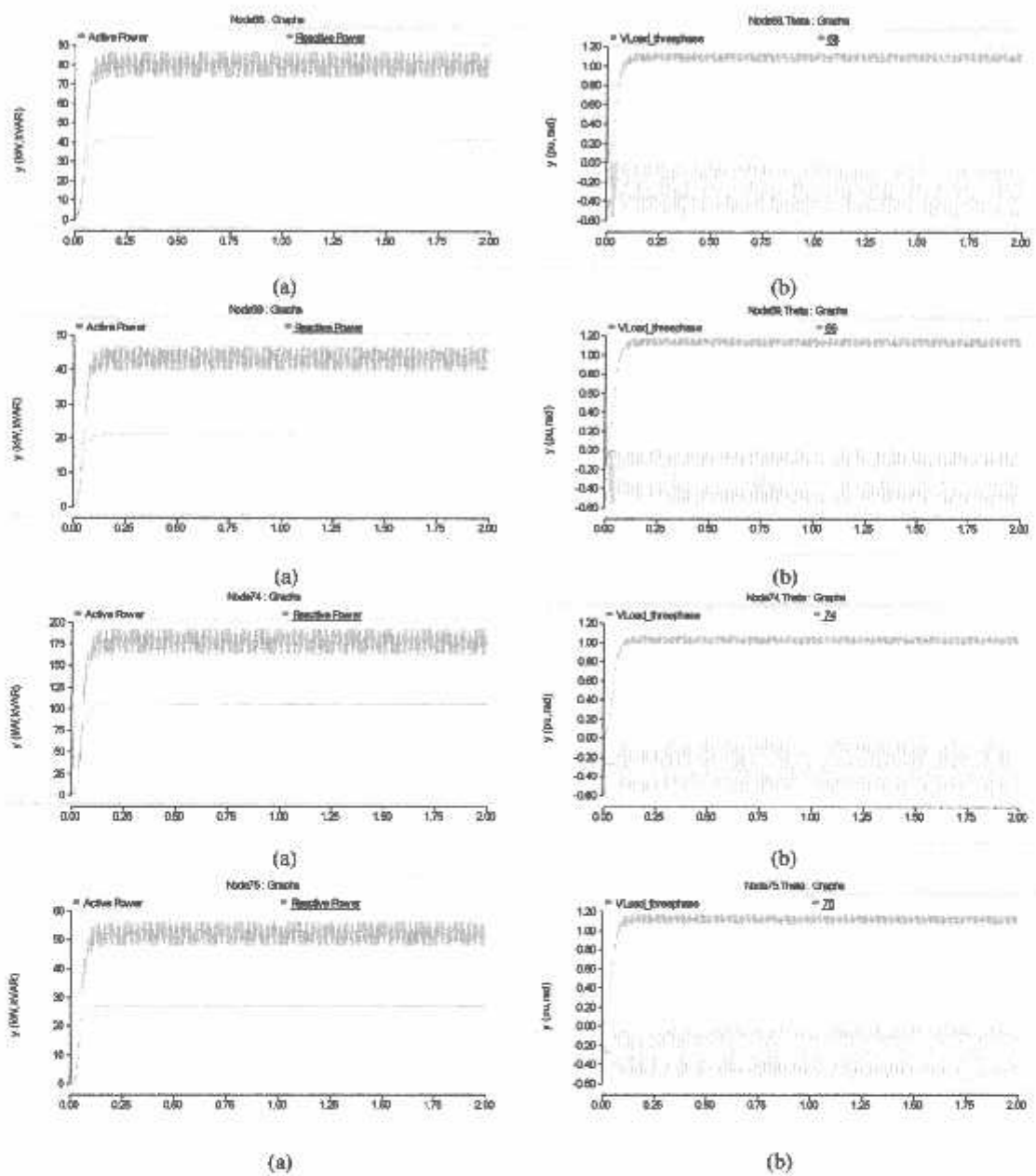


(a)



(b)



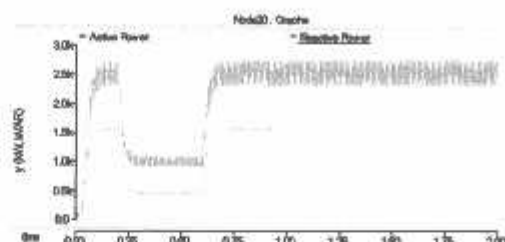


Grafik 8. (a) Bentuk Gelombang Daya Aktif dan Reaktif Tiap Node, (b) Bentuk Gelombang Tegangan dan Sudut Fasa Tiap Node, Pada Sistem Dalam Kondisi Normal

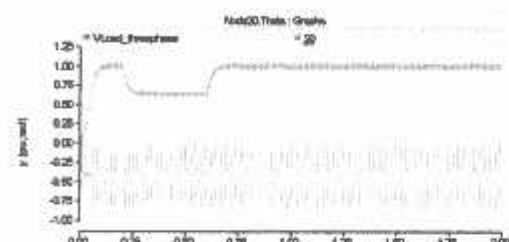
LAMPIRAN D:

2. Voltage Sag Tanpa Kompensasi dan Dengan Kompensasi DSTATCOM

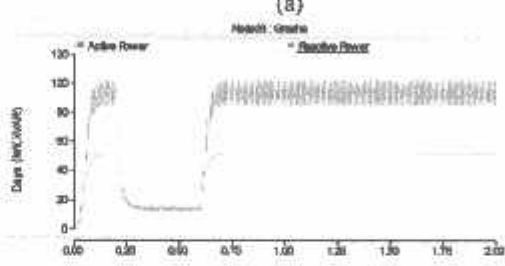
▪ *Voltage Sag Tanpa Kompensasi*



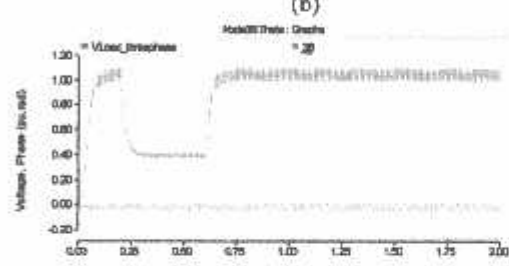
(a)



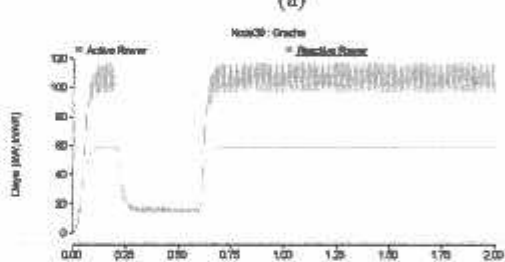
(b)



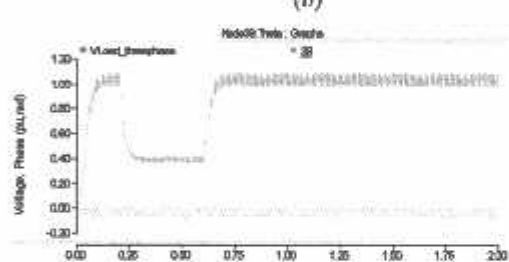
(a)



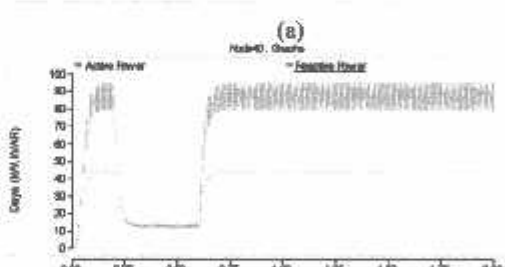
(b)



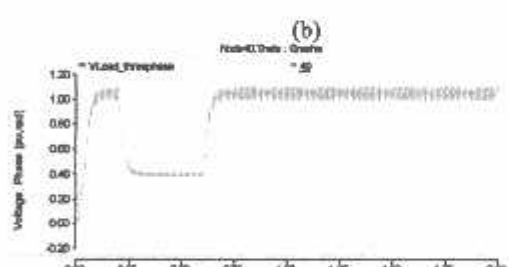
(a)



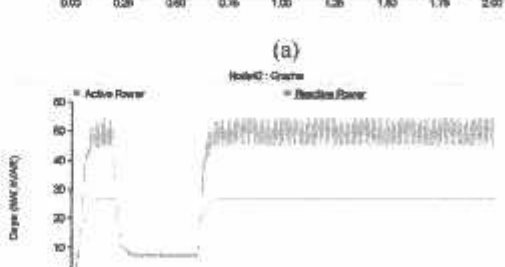
(b)



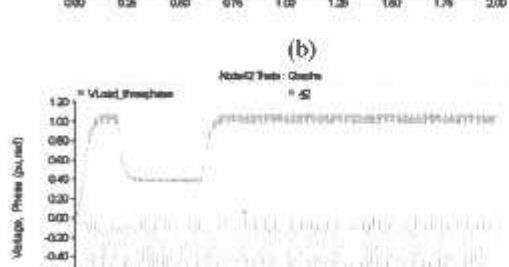
(a)



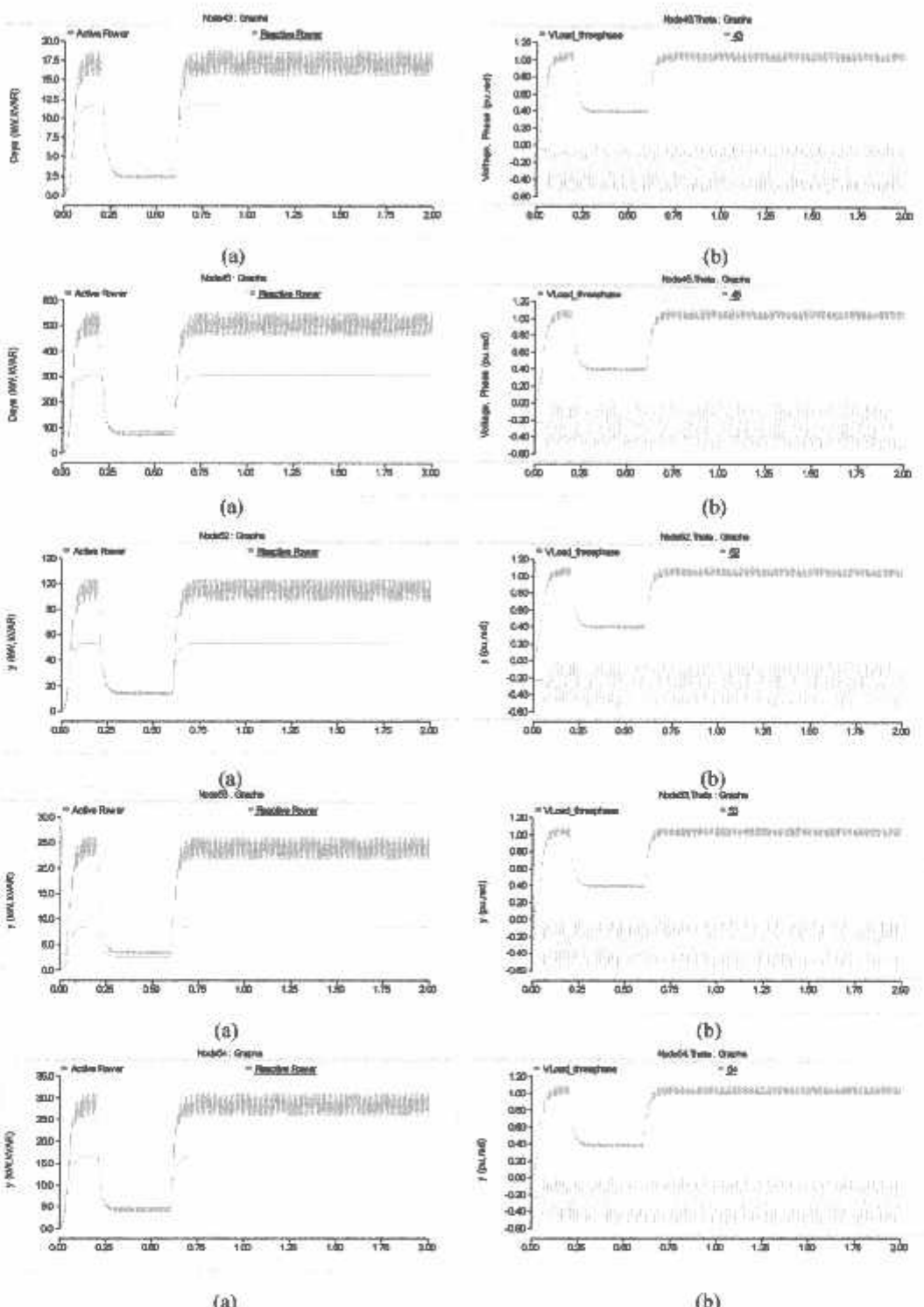
(b)

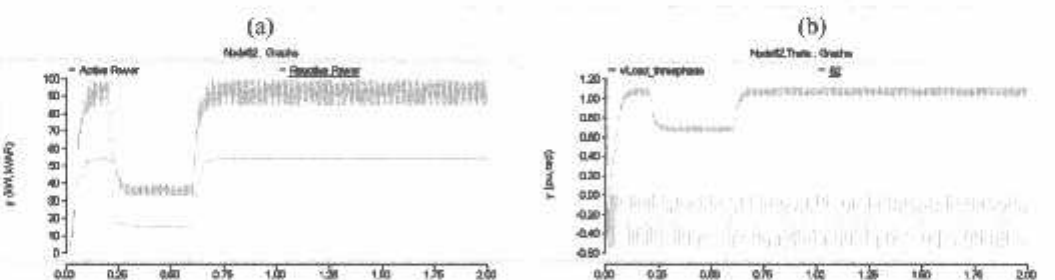
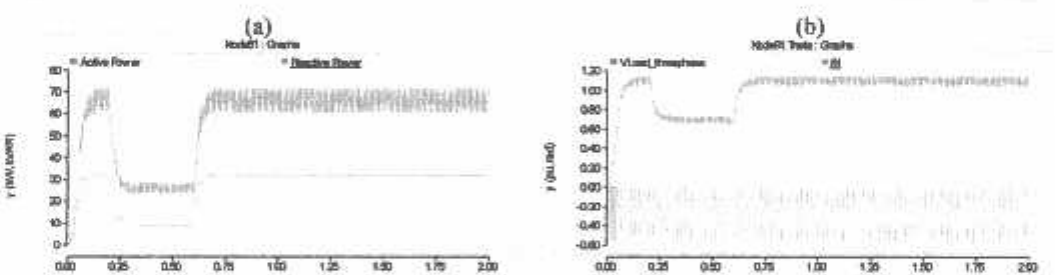
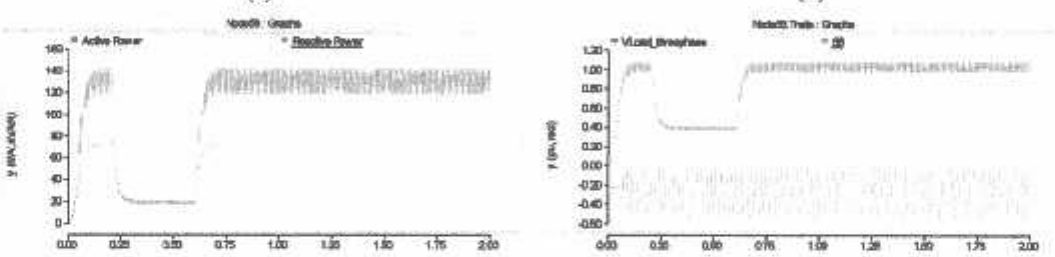
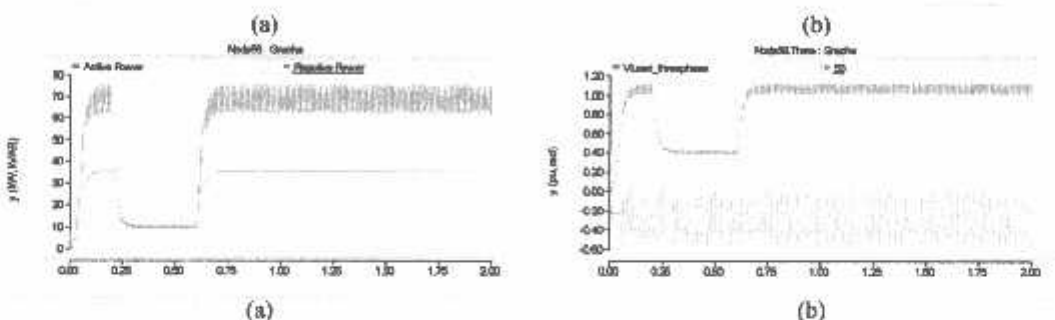
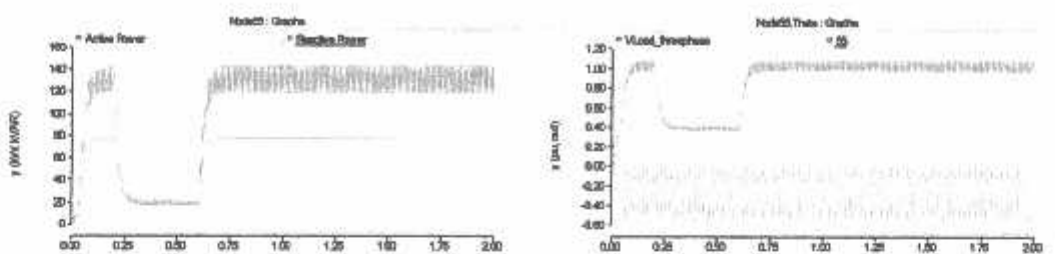


(a)



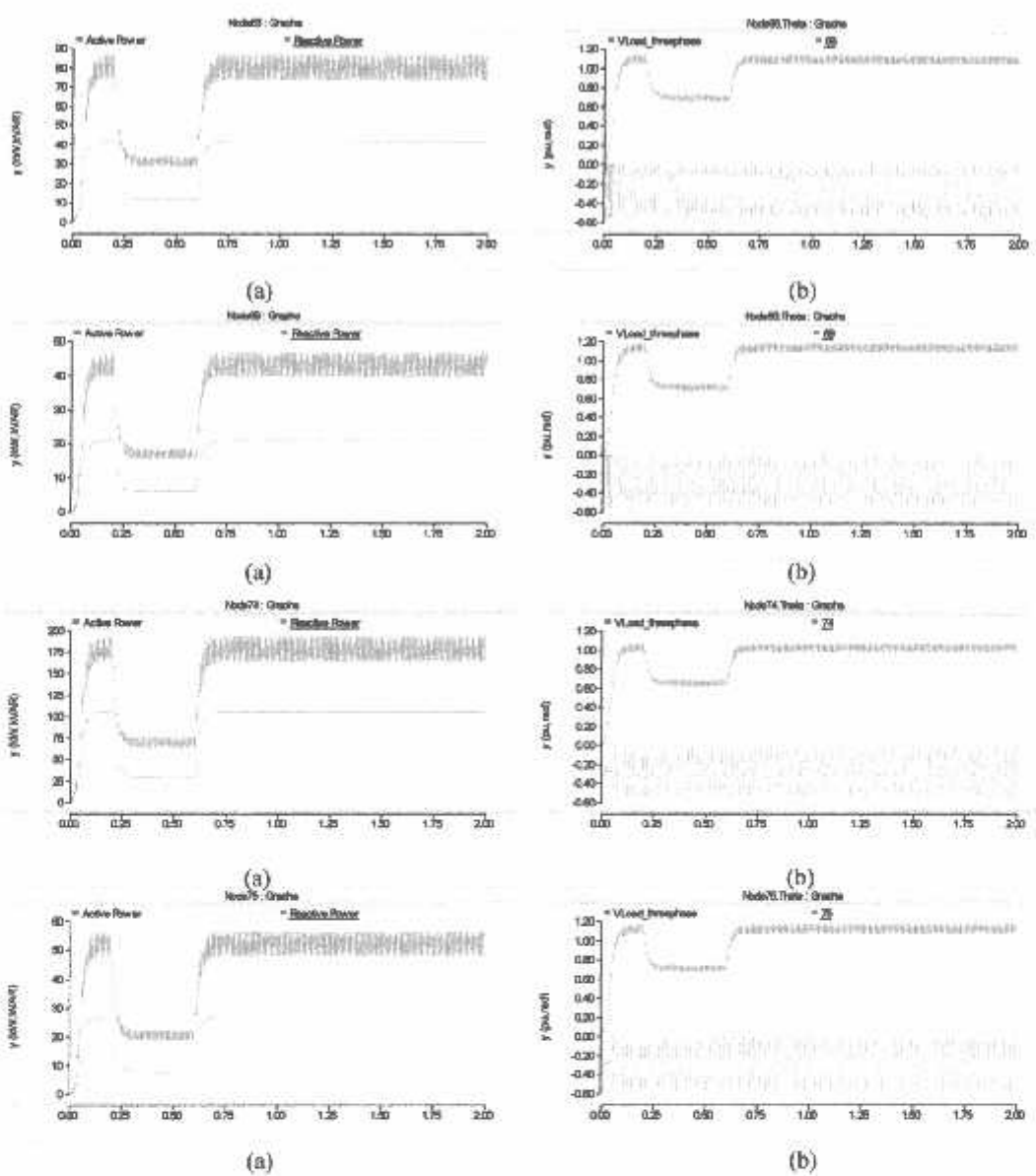
(b)





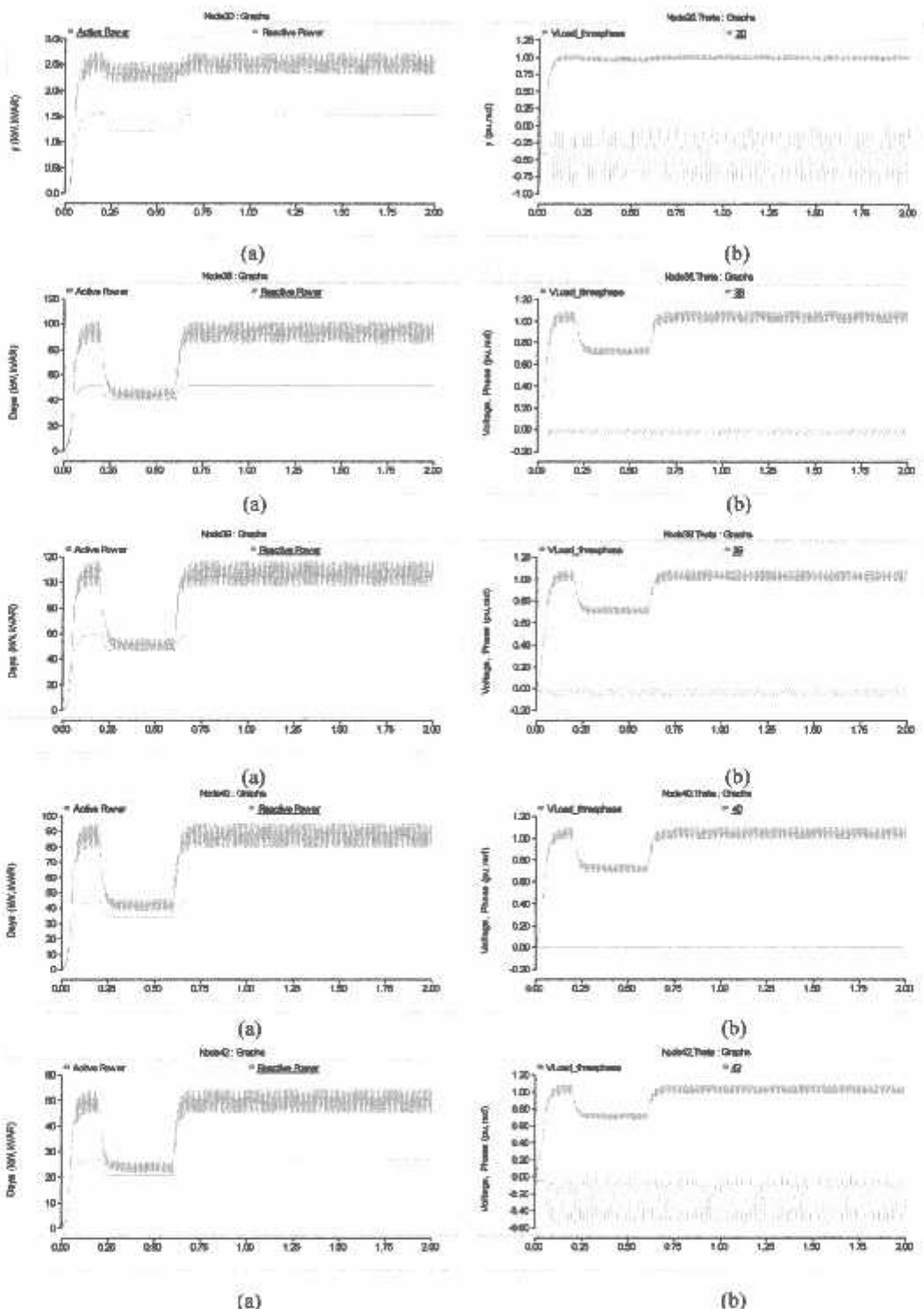
(a)

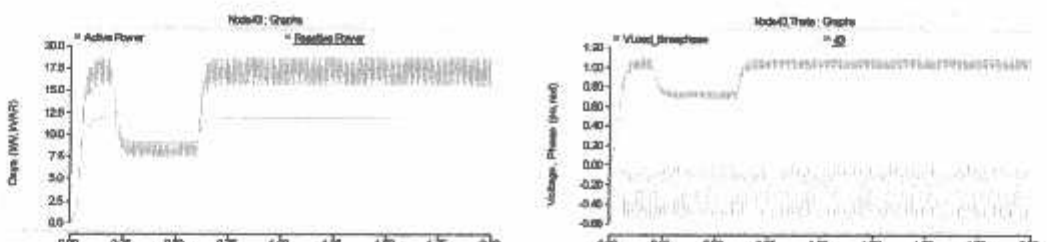
(b)



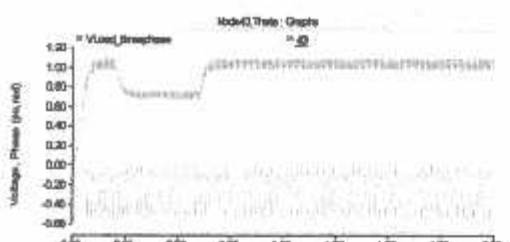
Grafik 5.1. (a) Bentuk Gelombang Daya Aktif dan Reaktif Tiap Node,
 (b) Bentuk Gelombang Tegangan dan Sudut Fasa Tiap Node, Pada
 Kondisi *Voltage Sag* Tanpa Kompensasi DSTATCOM

- **Voltage Sag Dengan Kompensasi**

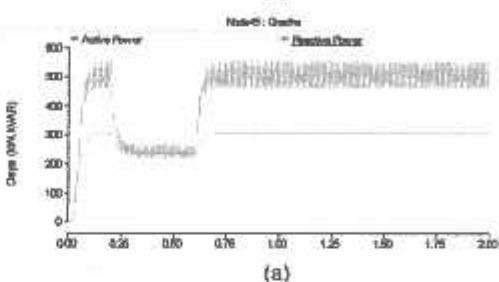




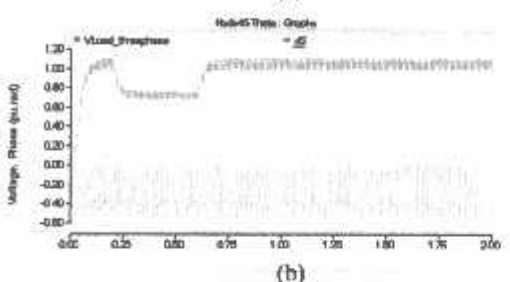
(a)



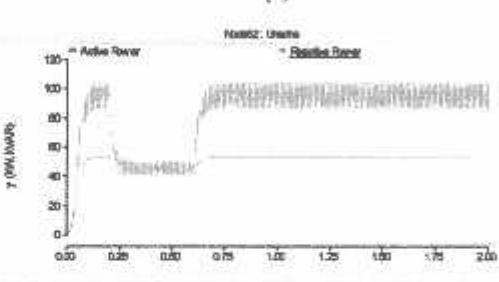
(b)



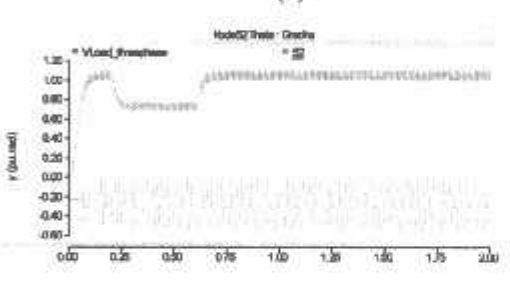
(a)



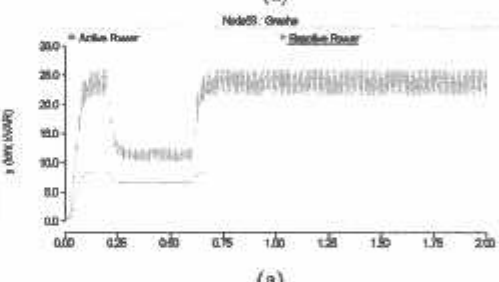
(b)



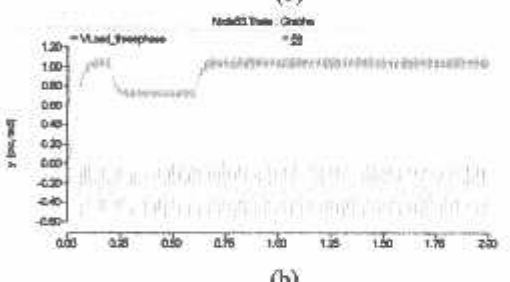
(a)



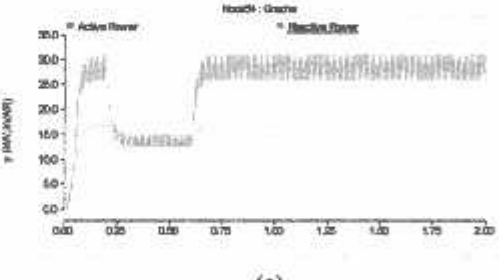
(b)



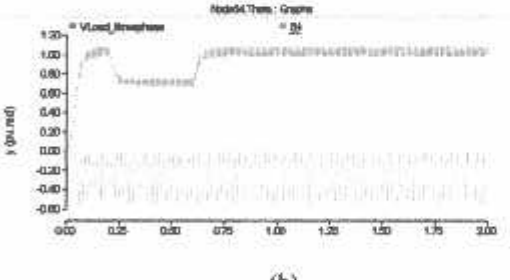
(a)



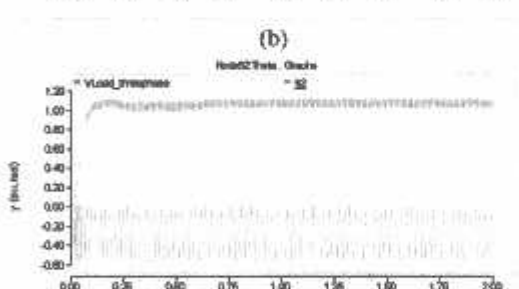
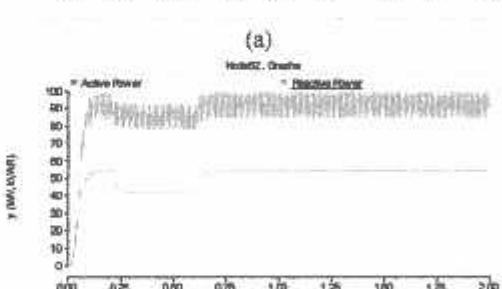
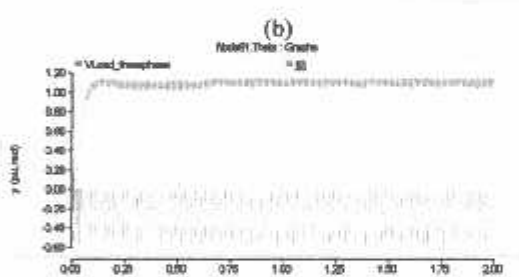
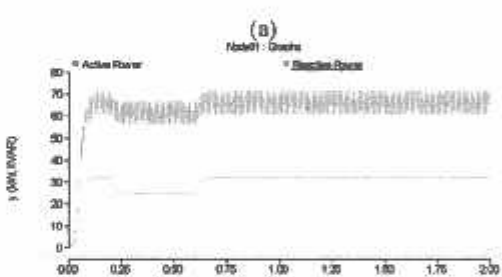
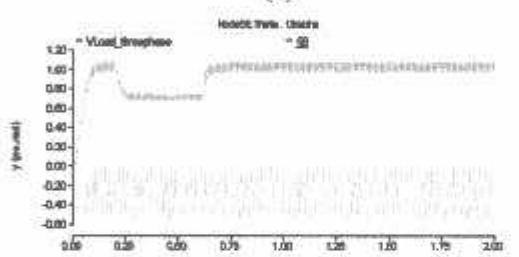
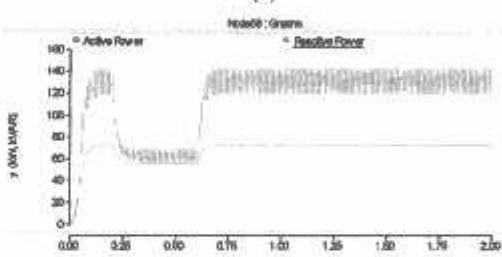
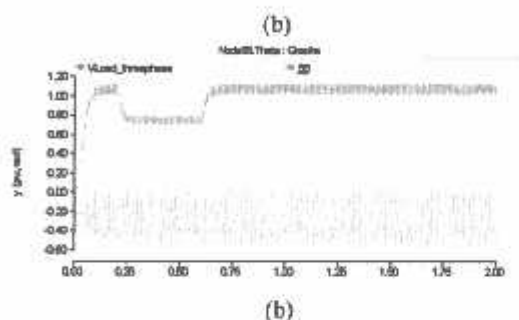
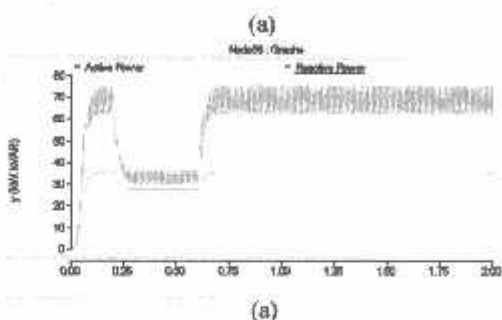
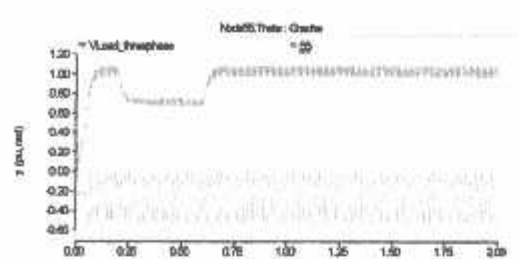
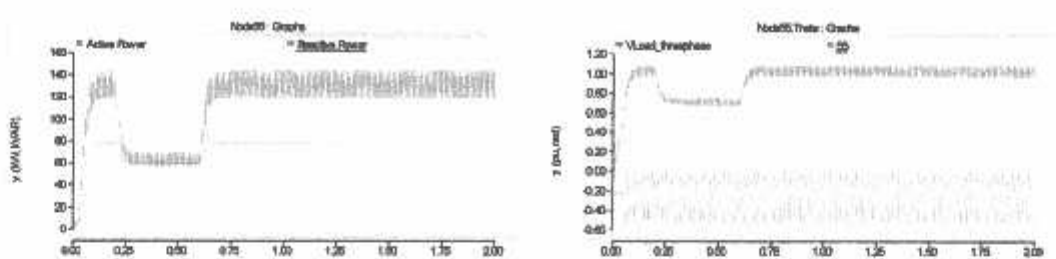
(b)



(a)

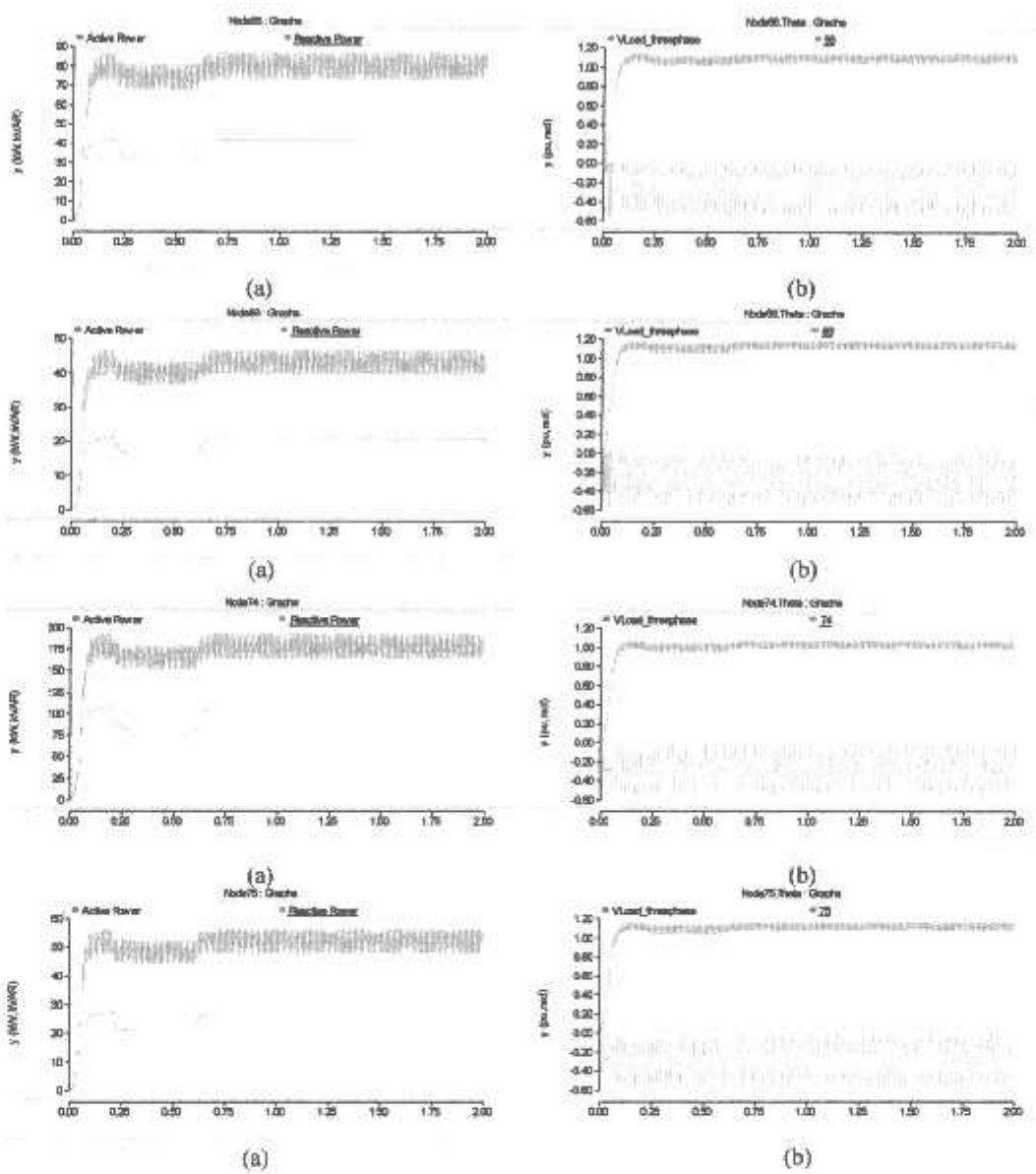


(b)



(a)

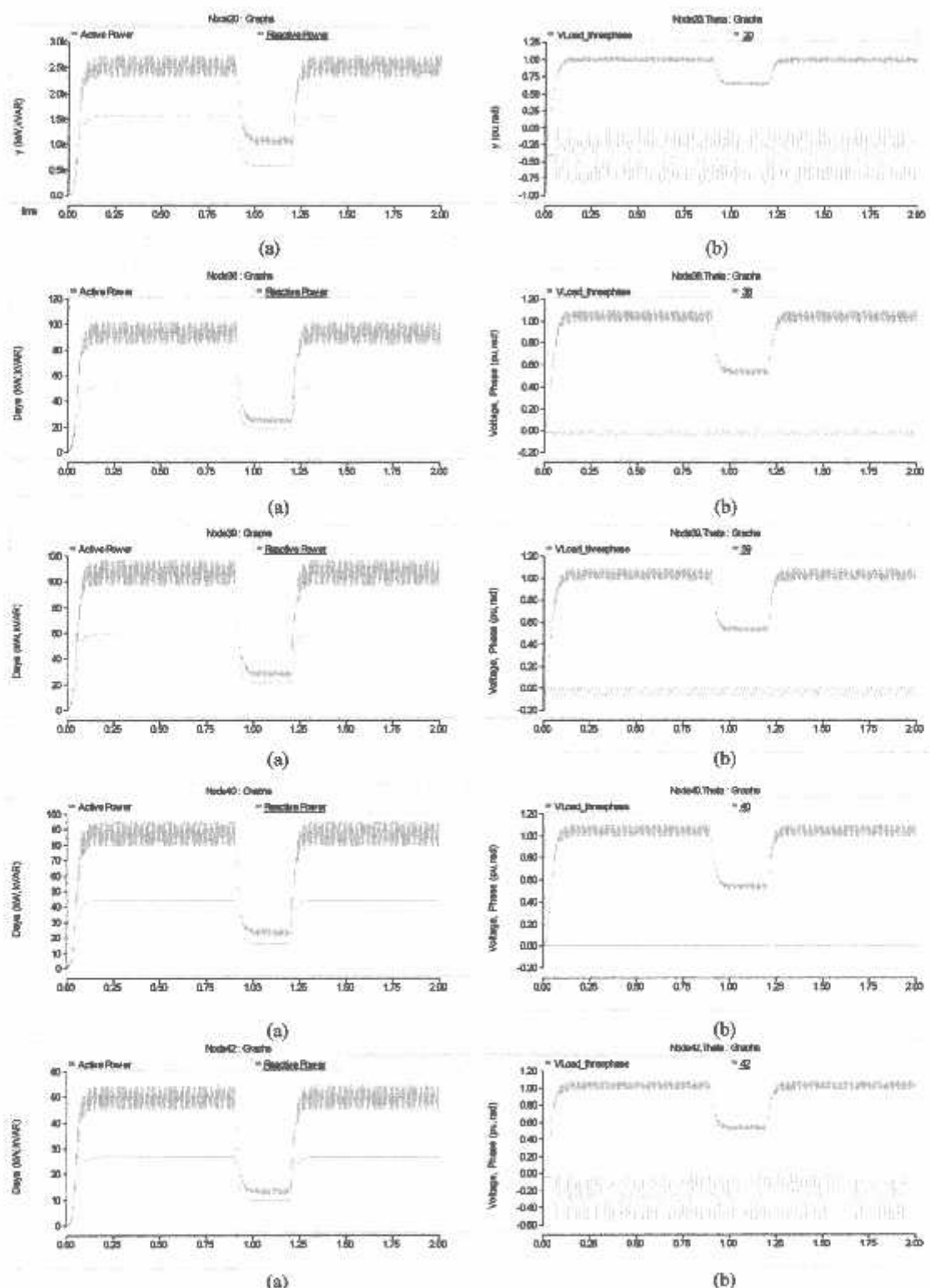
(b)

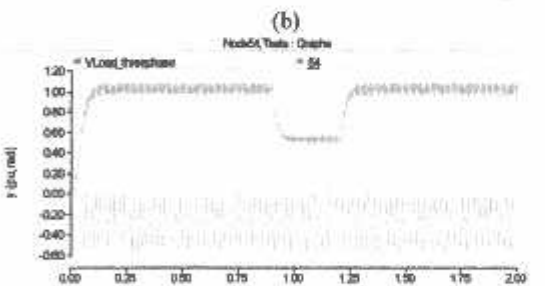
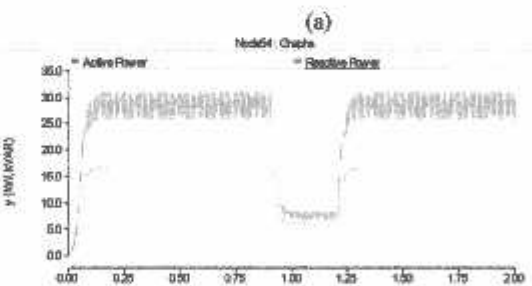
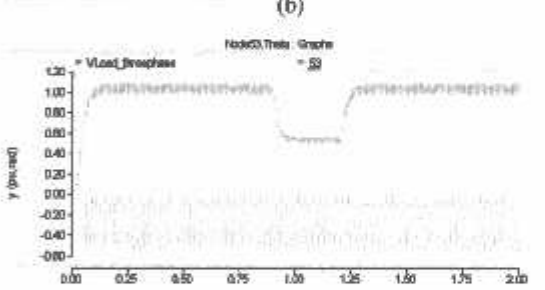
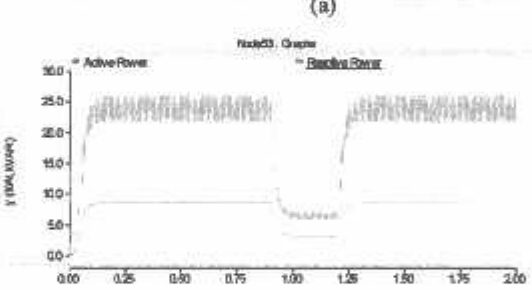
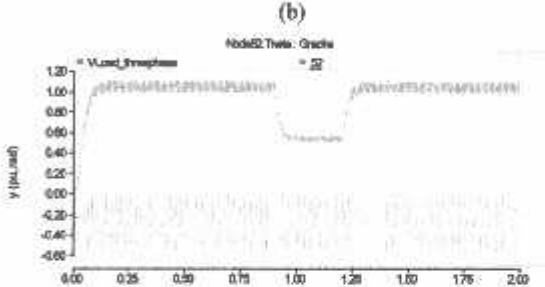
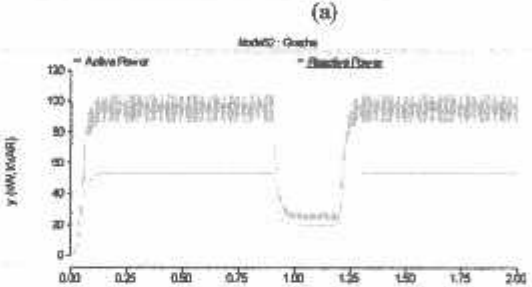
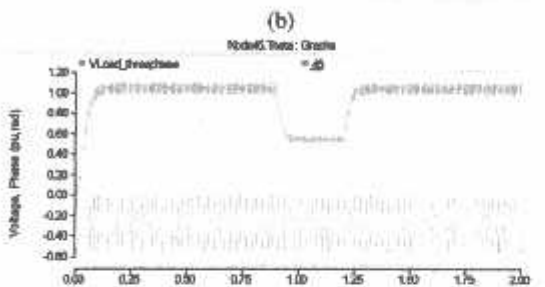
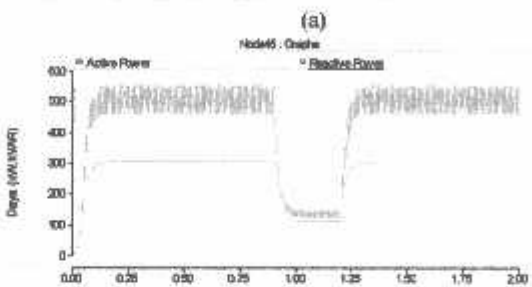
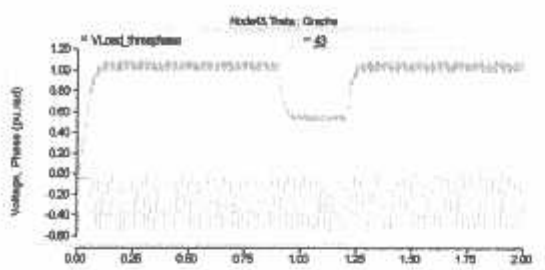
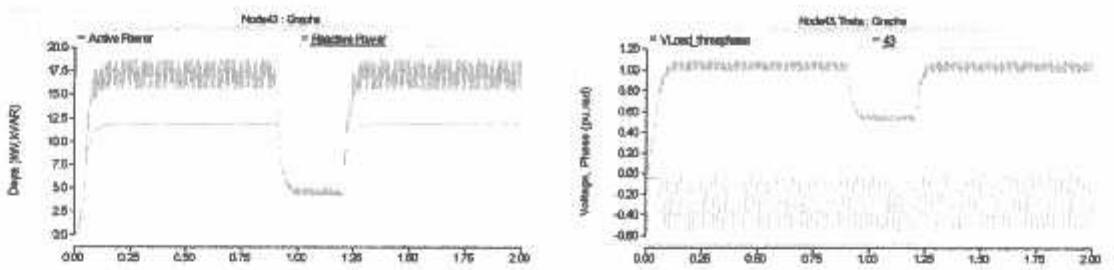


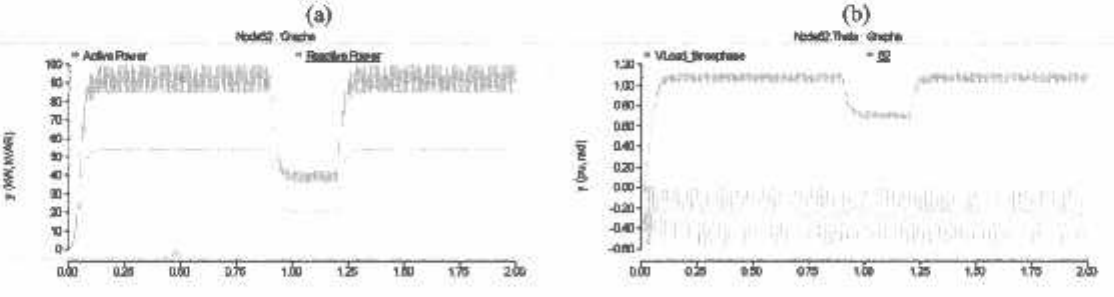
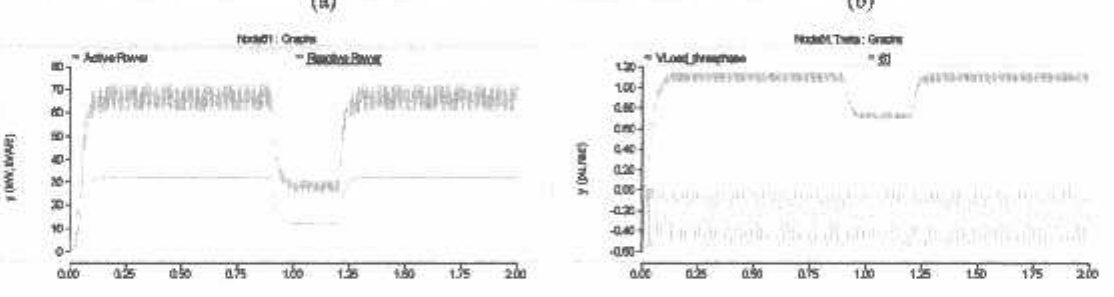
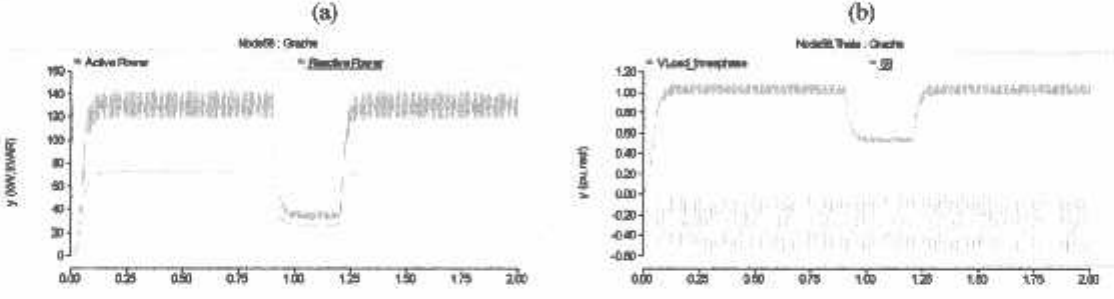
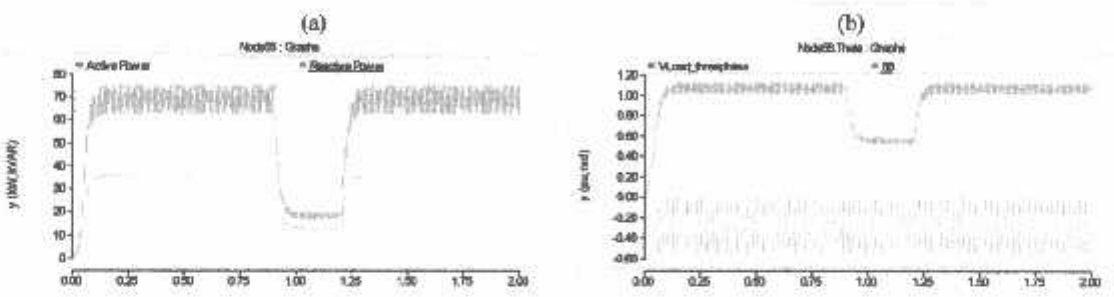
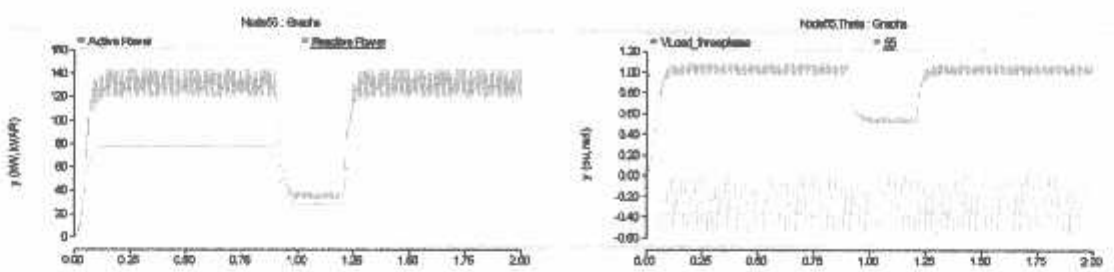
Grafik 5.2. (a) Bentuk Gelombang Daya Aktif dan Reaktif Tiap Node, (b) Bentuk Gelombang Tegangan dan Sudut Fasa Tiap Node, Pada Kondisi *Voltage Sag* Dengan Kompensasi DSTATCOM

3. Voltage Swells Tanpa Kompensasi dan Dengan Kompensasi DSTATCOM

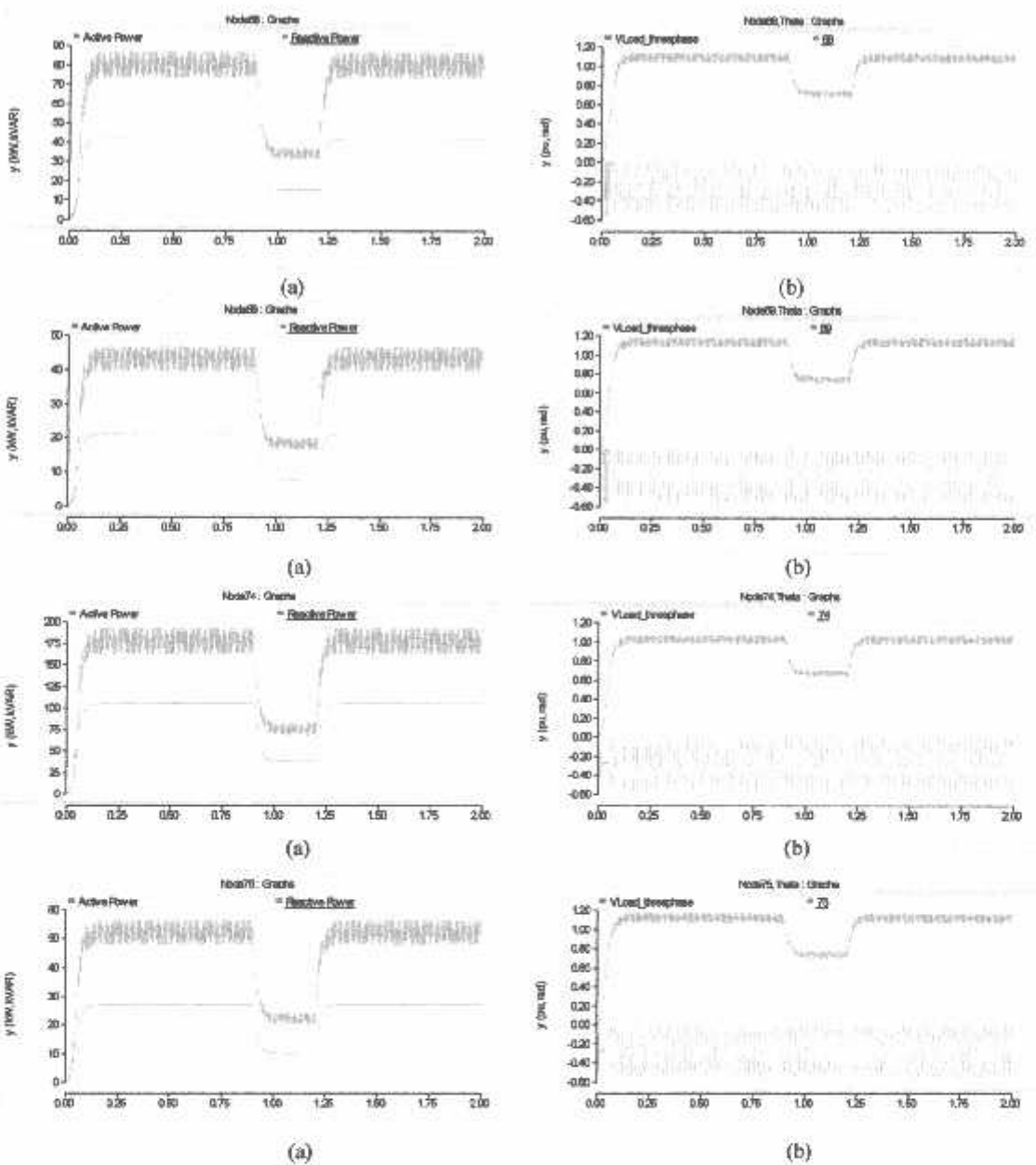
a. Voltage Swells Tanpa Kompensasi





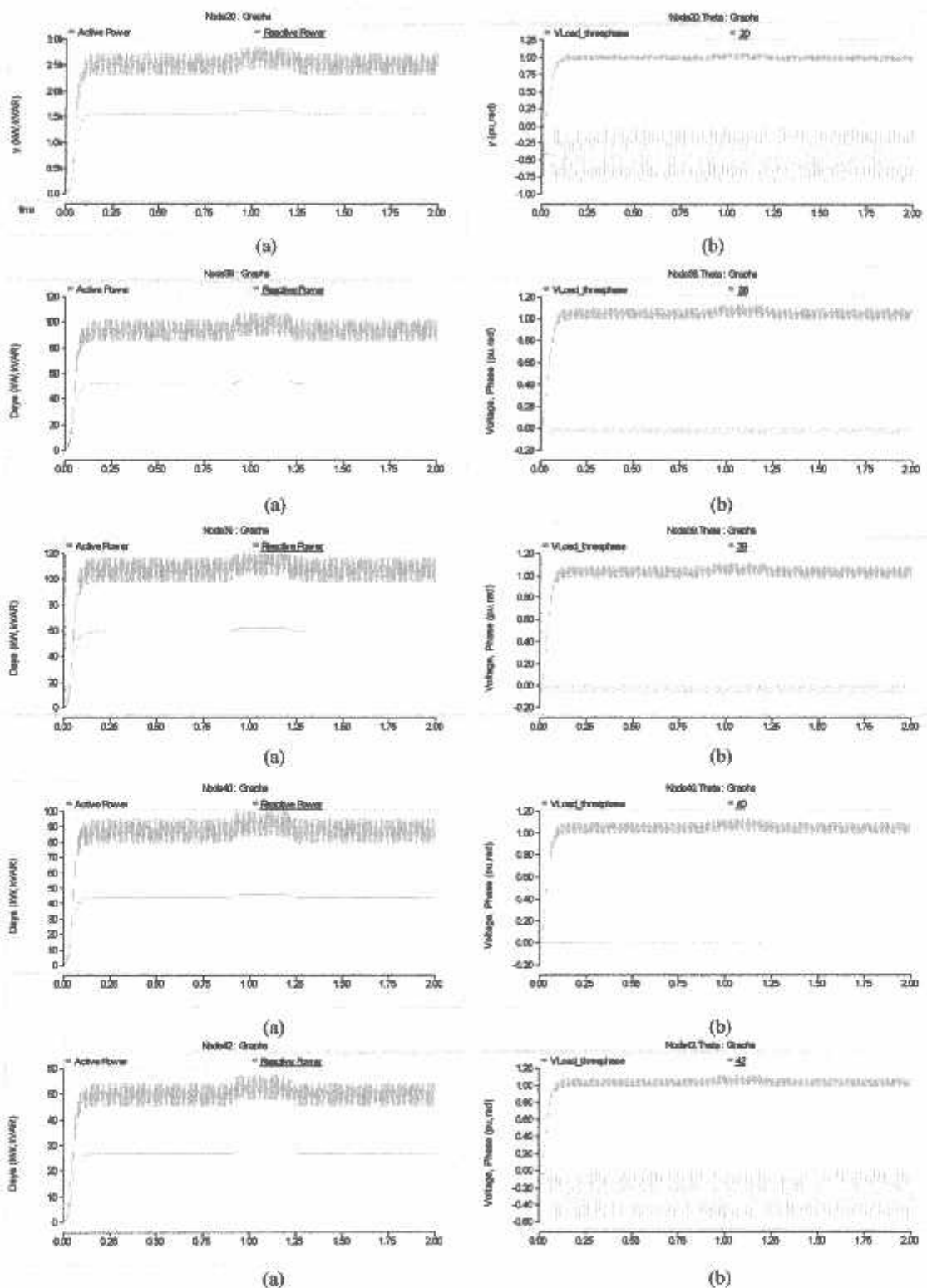


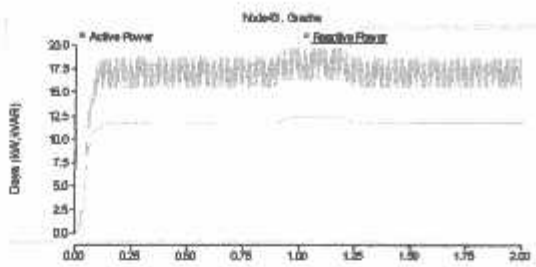
(a) (b)



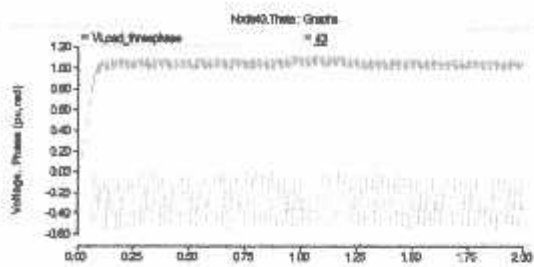
Grafik 6.1. (a) Bentuk Gelombang Daya Aktif dan Reaktif Tiap Node, (b) Bentuk Gelombang Tegangan dan Sudut Fasa Tiap Node, Pada Kondisi *Voltage Swells* Tanpa Kompensasi DSTATCOM

■ Voltage Swells Dengan Kompensasi

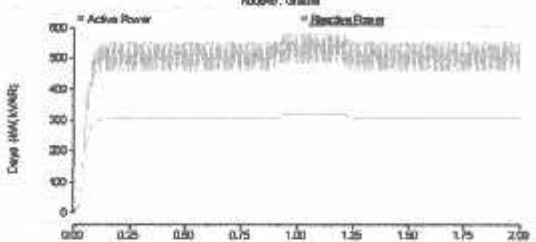




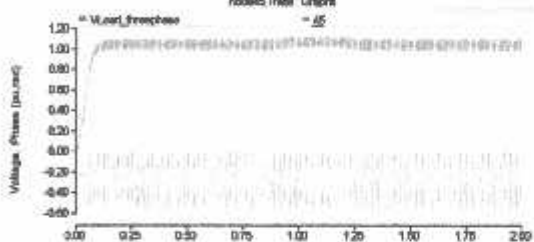
(a)
Node0: Grids



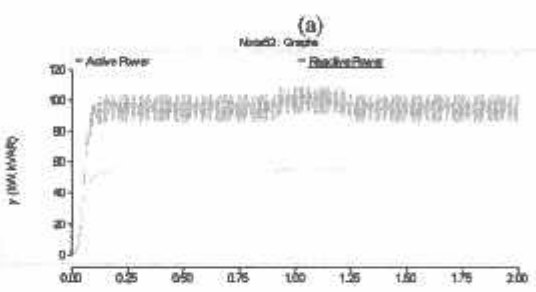
(b)
Node0: Grids



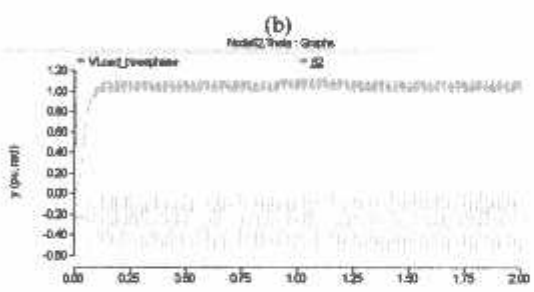
(a)
Node5: Grids



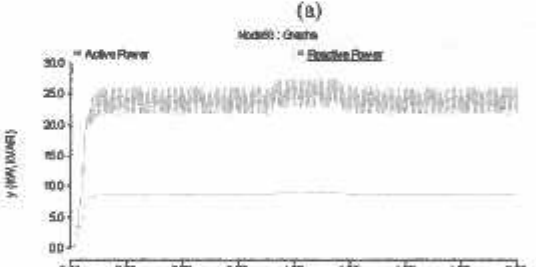
(b)
Node5: Grids



(a)
Node0: Grids



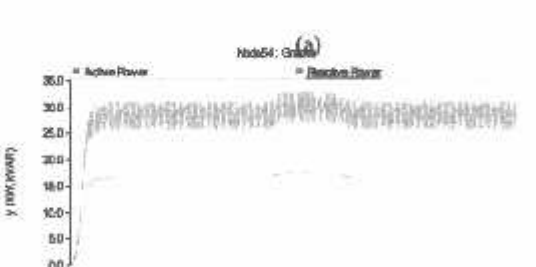
(b)
Node0: Grids



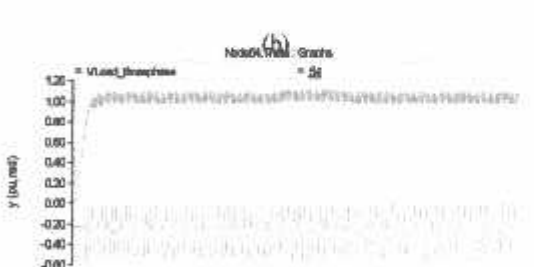
(a)
Node5: Grids



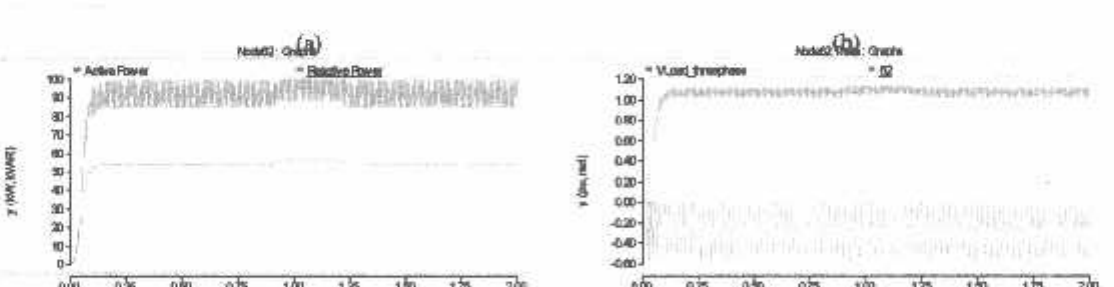
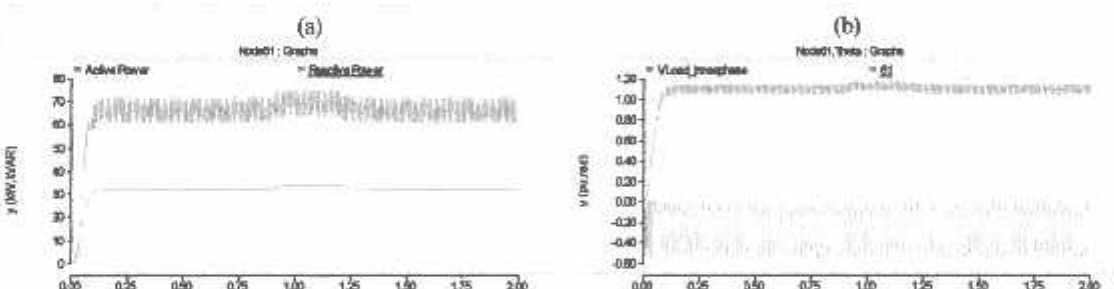
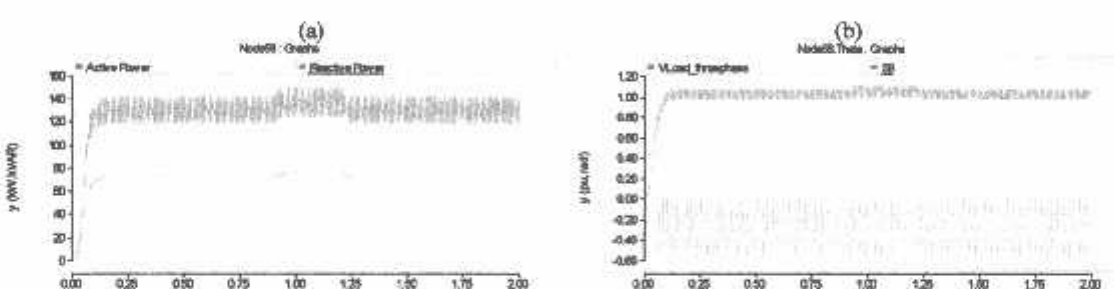
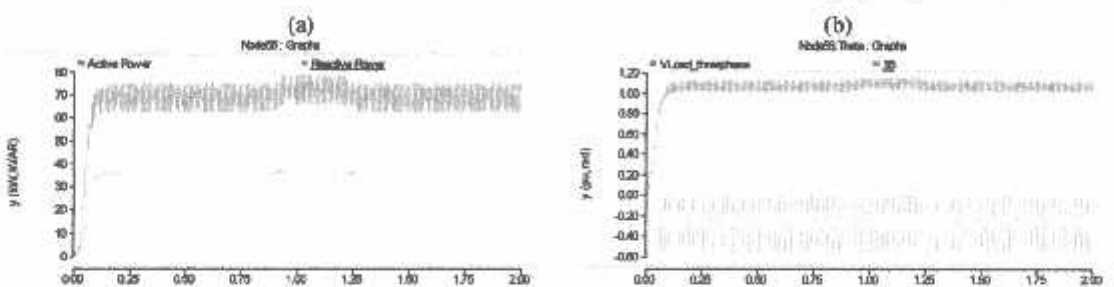
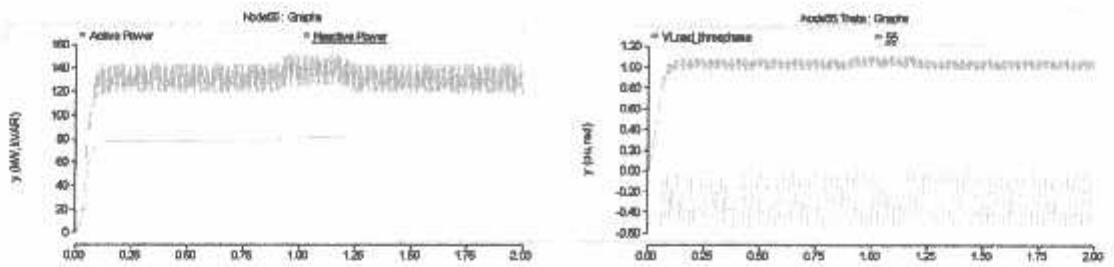
(b)
Node5: Grids



(a)

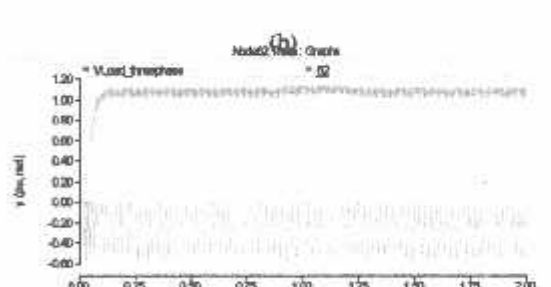
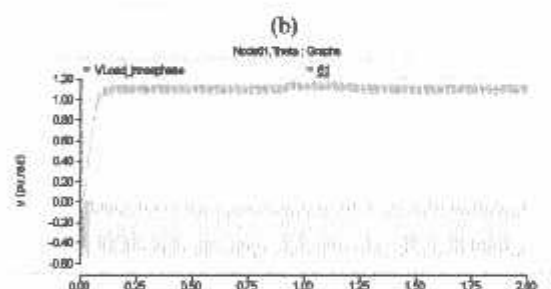
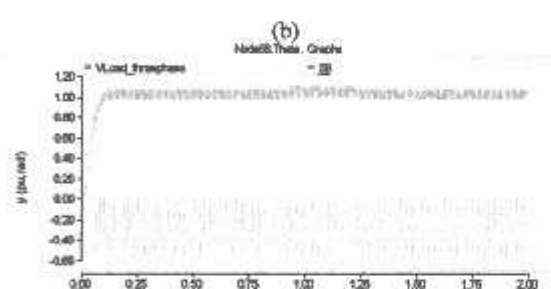
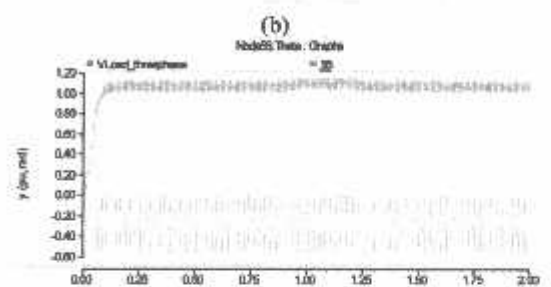
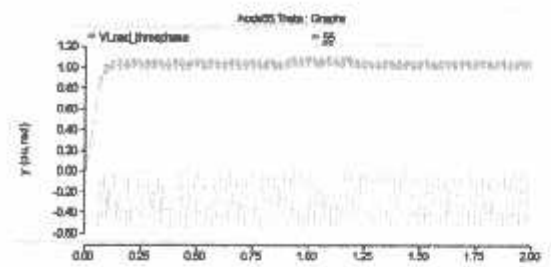


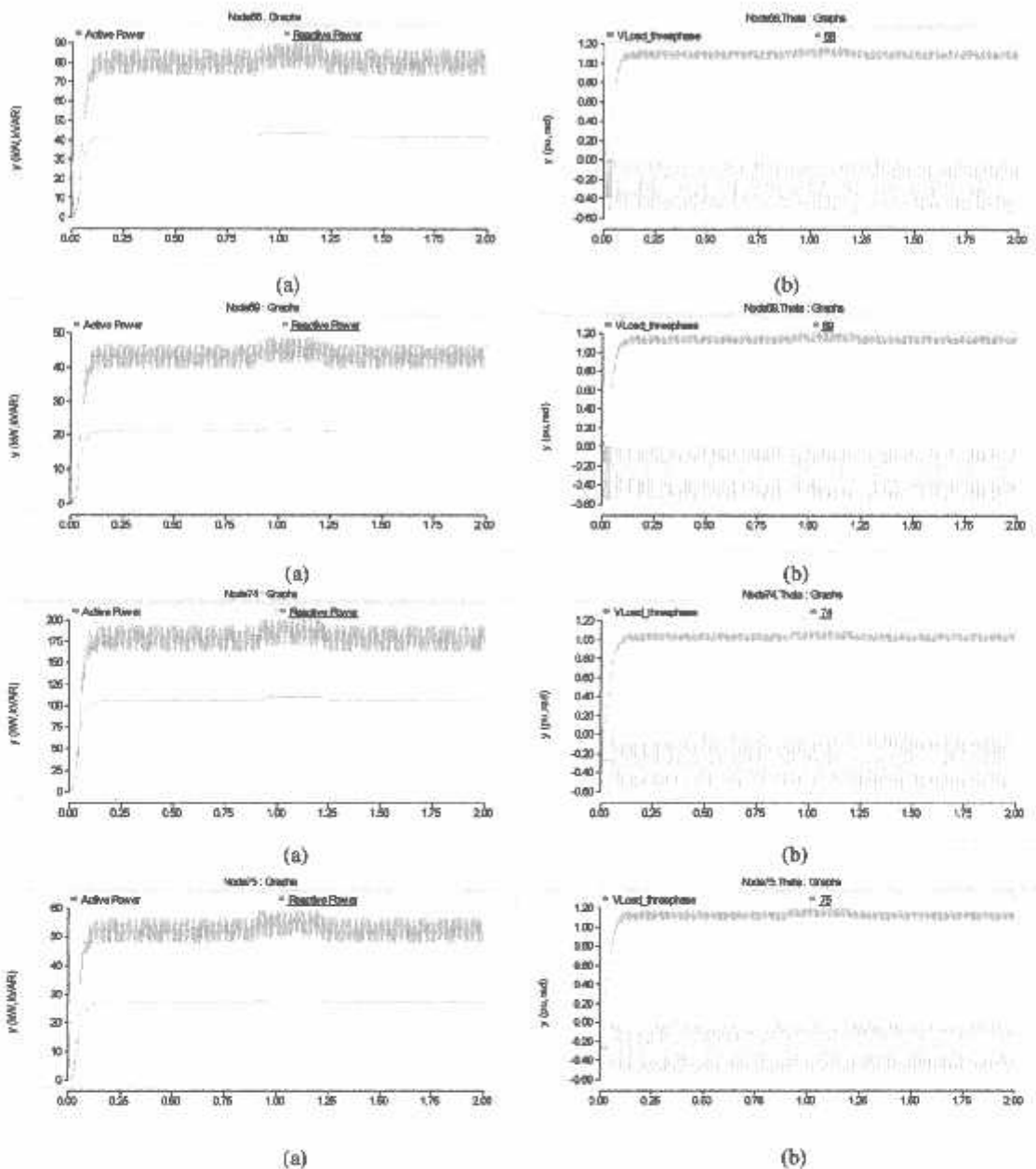
(b)



(a)

(b)

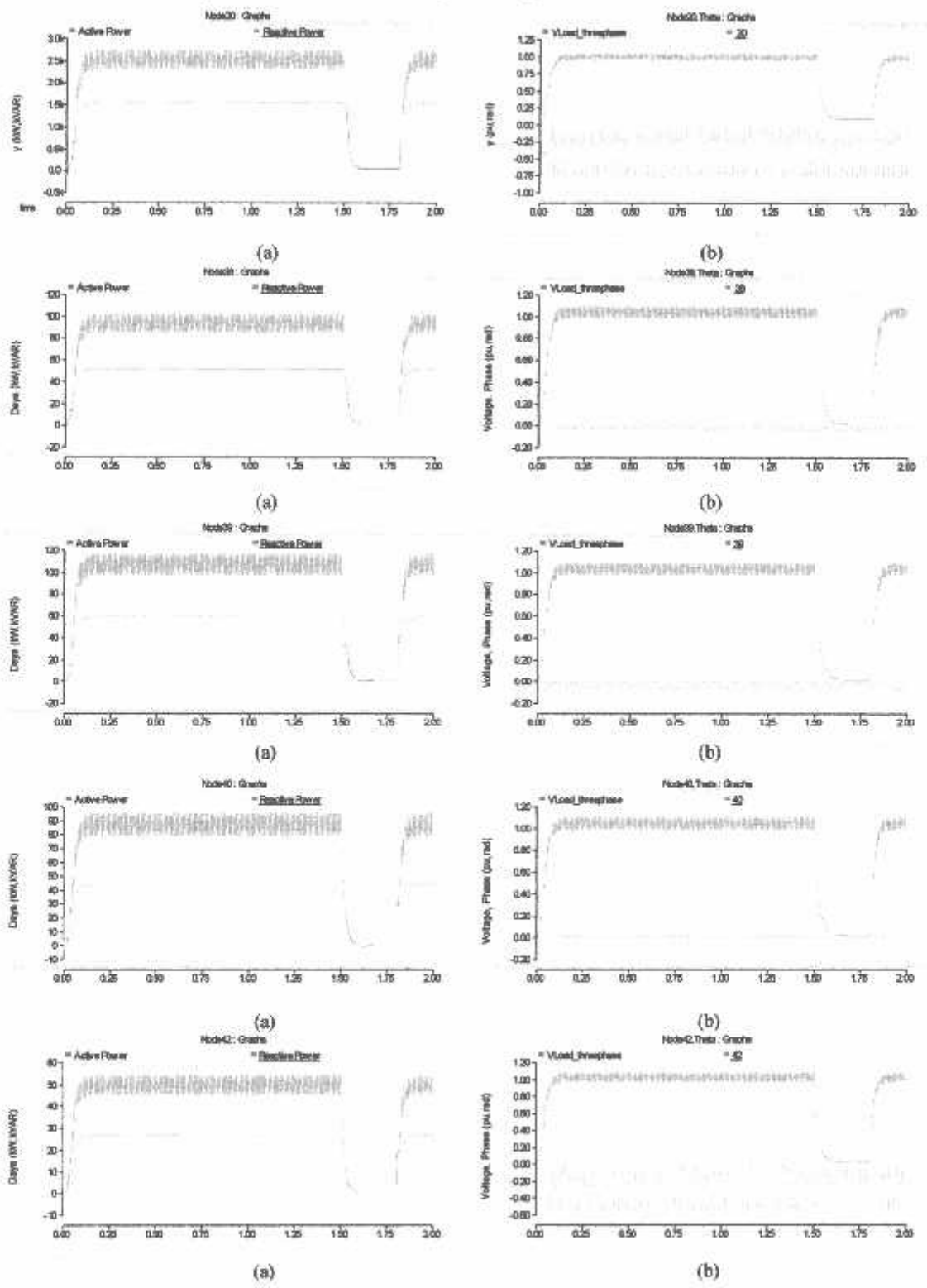


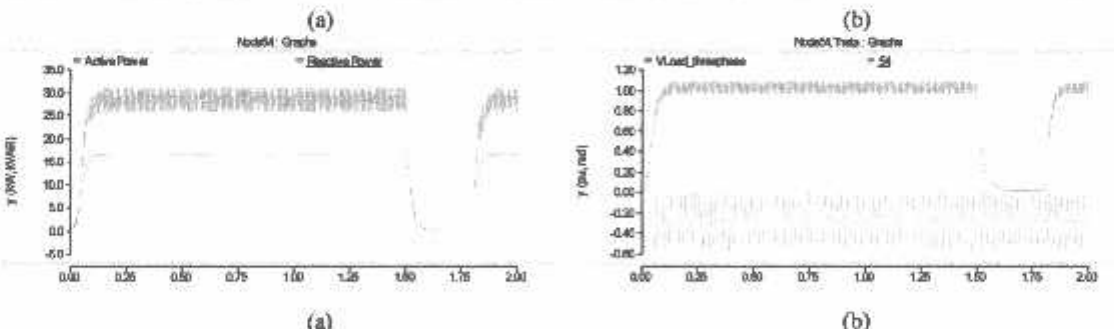
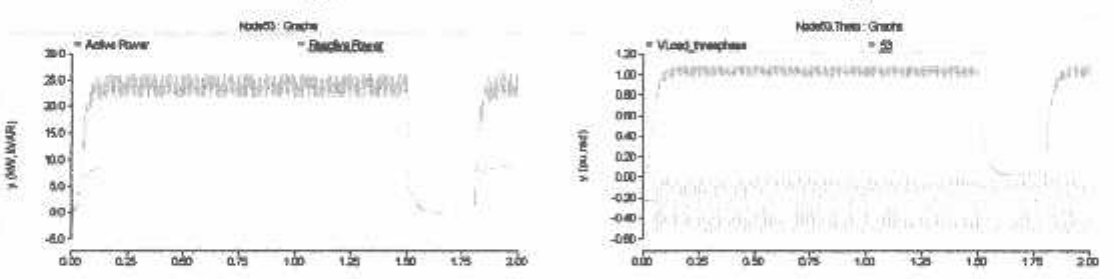
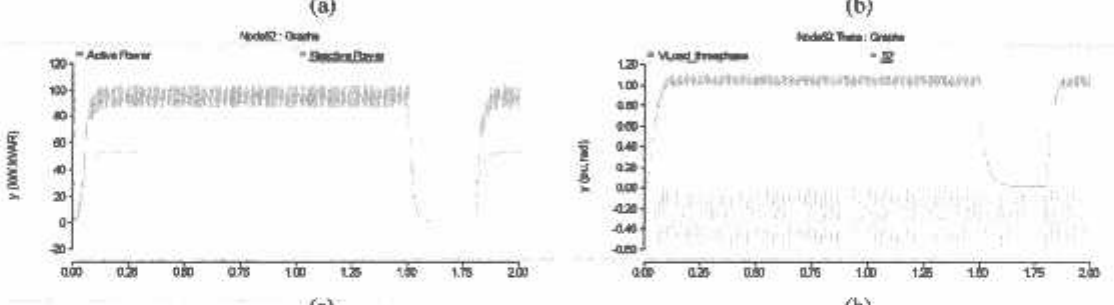
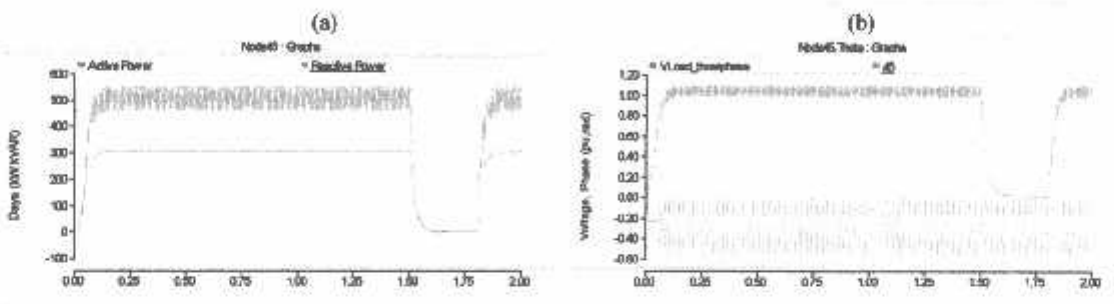
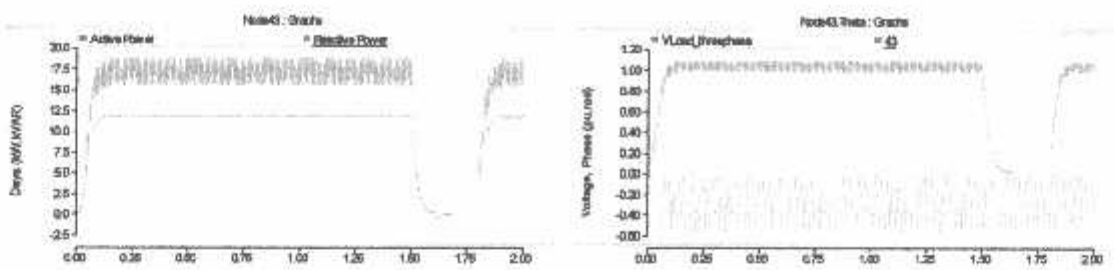


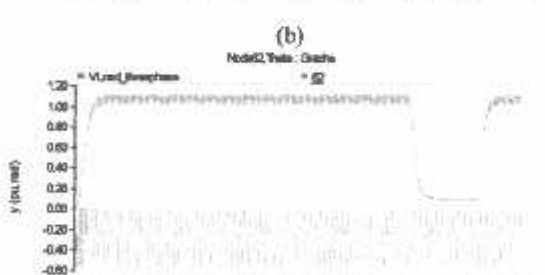
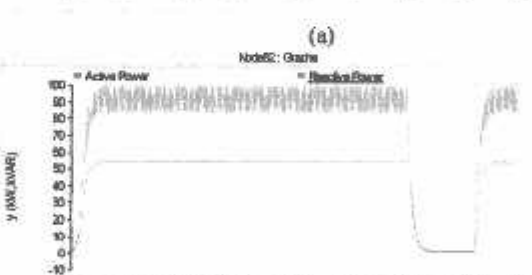
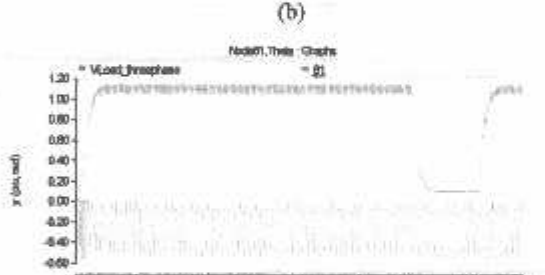
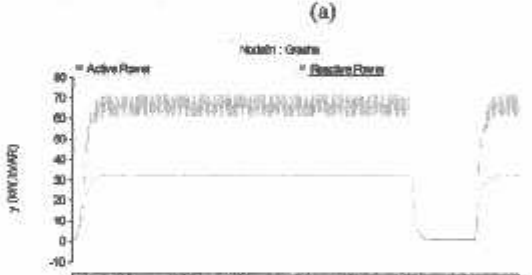
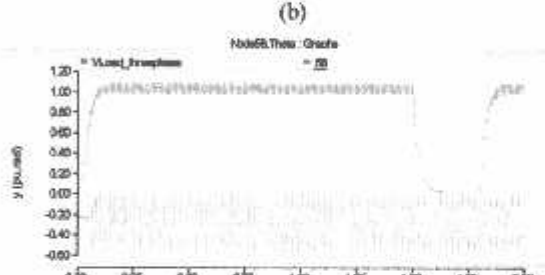
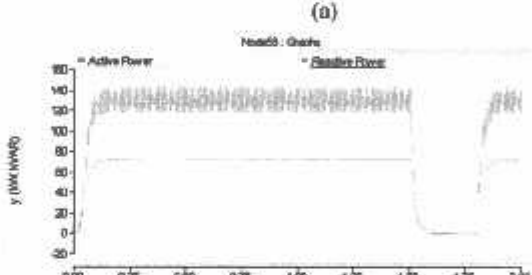
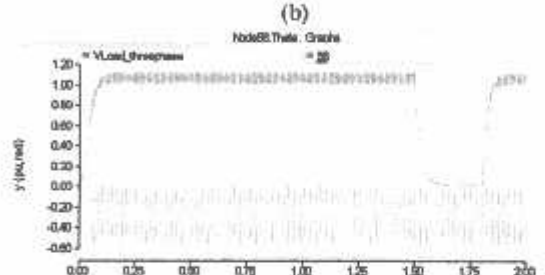
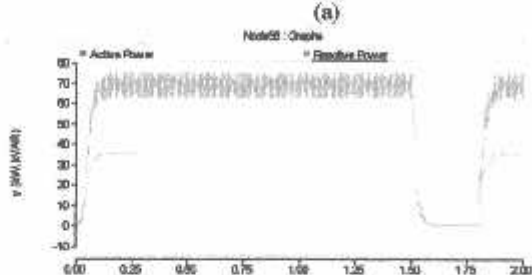
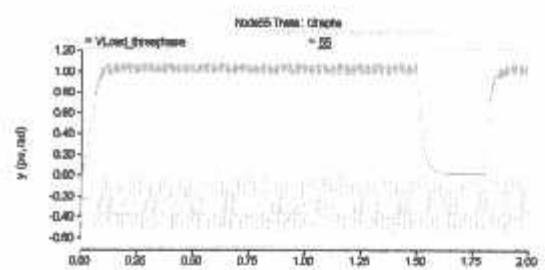
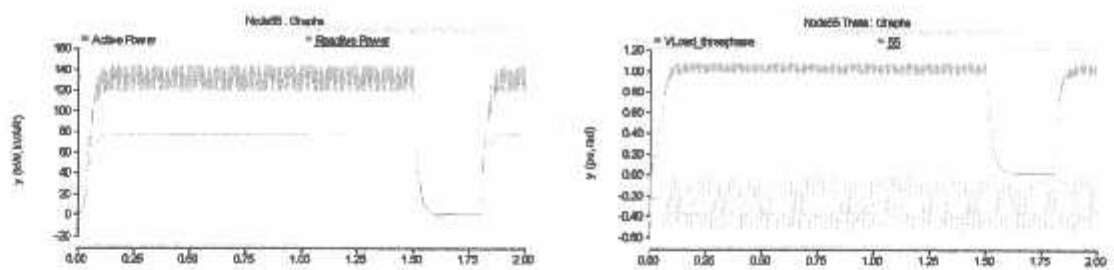
Grafik 6.2. (a) Bentuk Gelombang Daya Aktif dan Reaktif Tiap Node, (b) Bentuk Gelombang Tegangan dan Sudut Fasa Tiap Node, Pada Kondisi *Voltage Swells* Dengan Kompensasi DSTATCOM

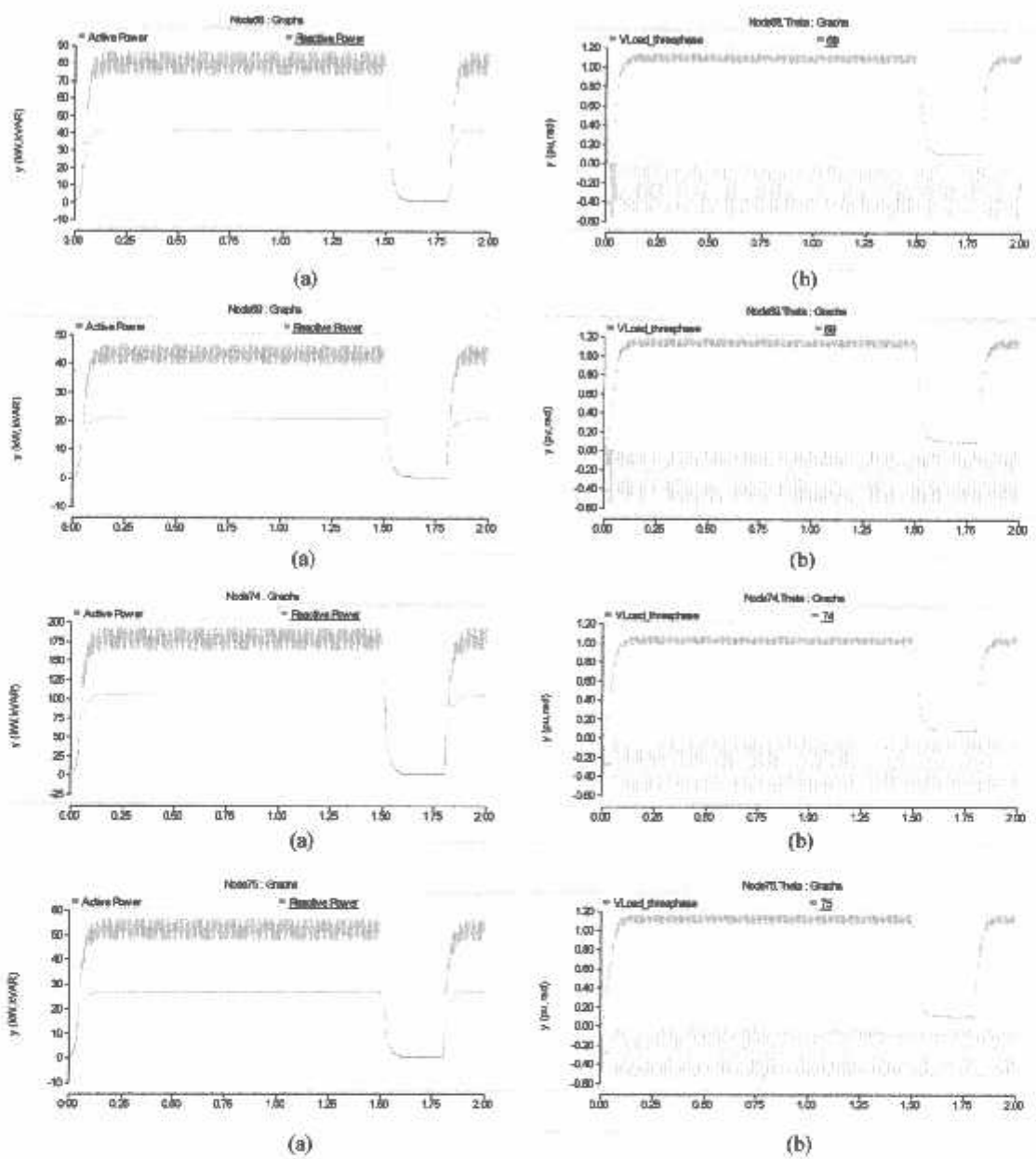
4. Three Phase Symmetrical Fault Tanpa Kompensasi dan Dengan Kompensasi DVR

■ Three Phase Symmetrical Fault Tanpa Kompensasi



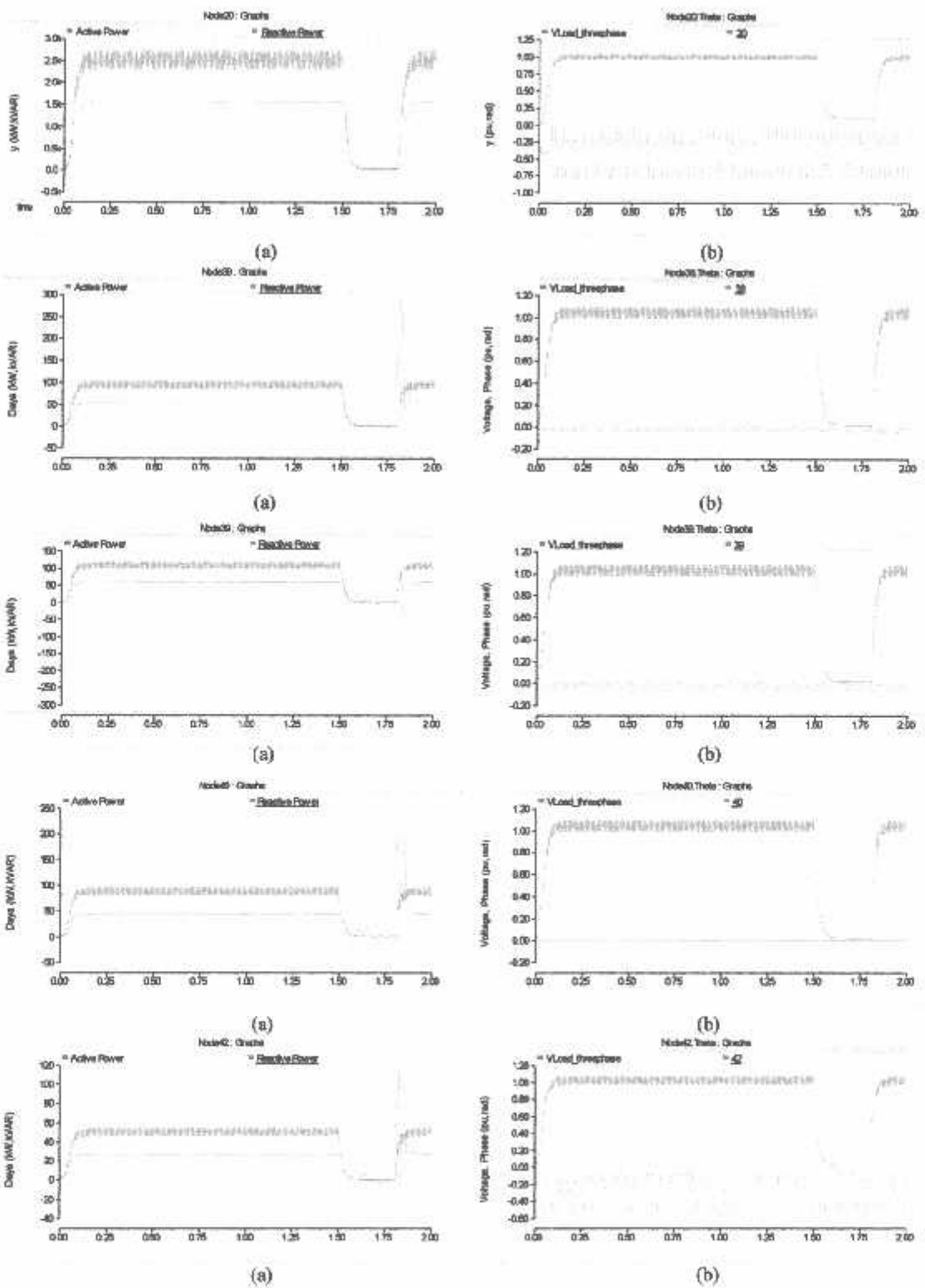


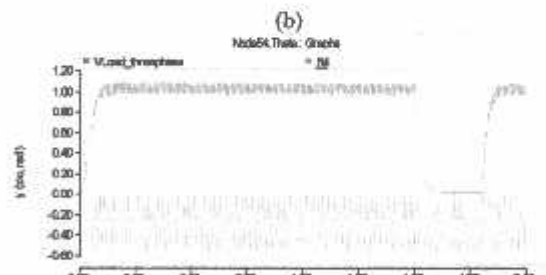
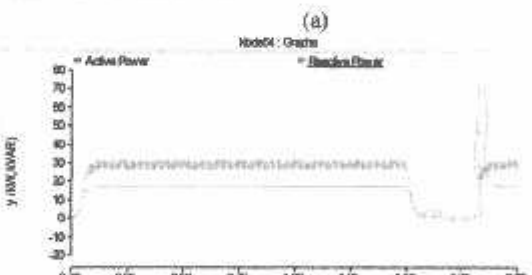
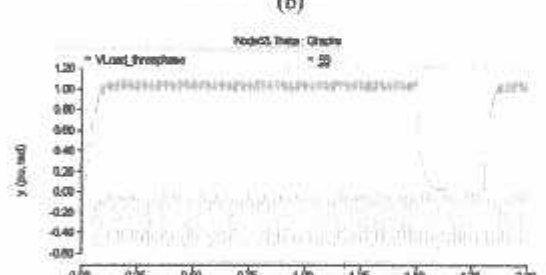
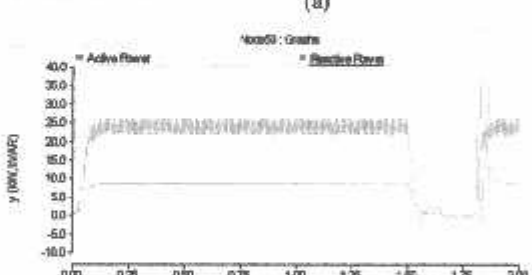
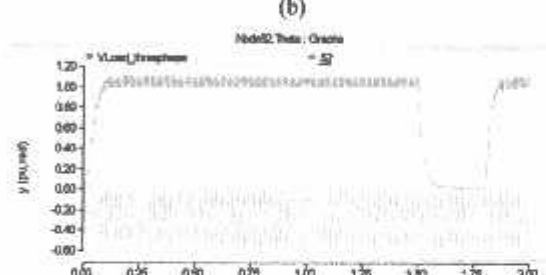
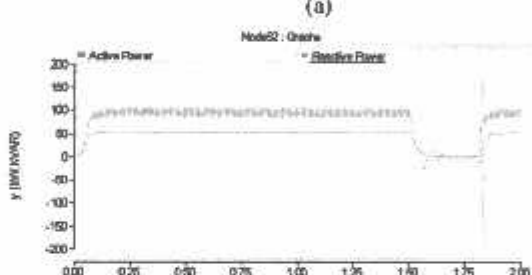
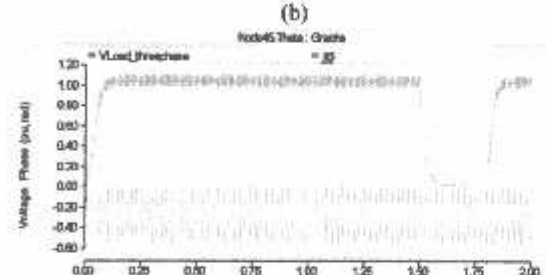
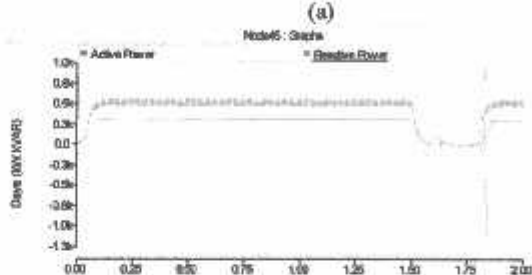
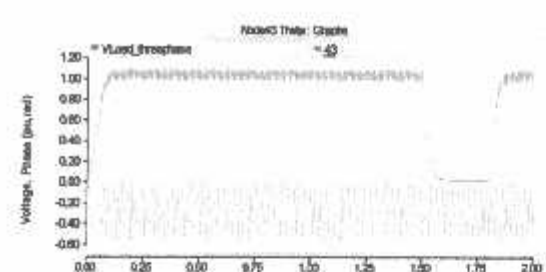
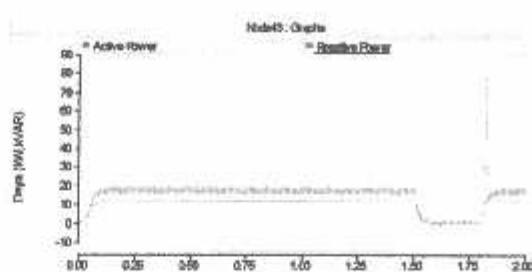


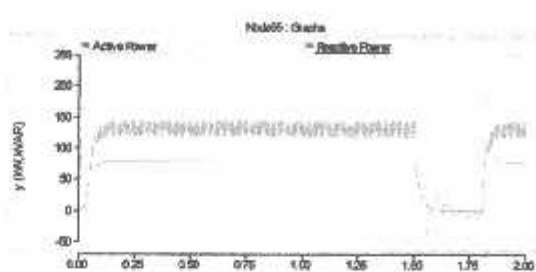


Grafik 7.1. (a) Bentuk Gelombang Daya Aktif dan Reaktif Tiap Node, (b) Bentuk Gelombang Tegangan dan Sudut Fasa Tiap Node, Pada Kondisi *Three Phase Symmetrical Fault* Tanpa Kompensasi DVR

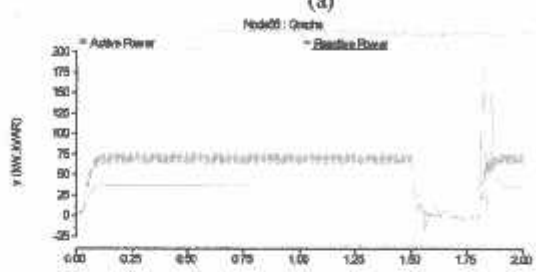
■ Three Phase Symmetrical Fault Dengan Kompensasi



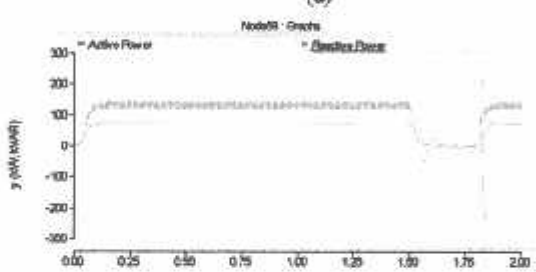




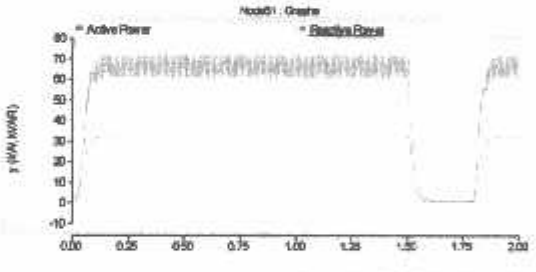
(a)



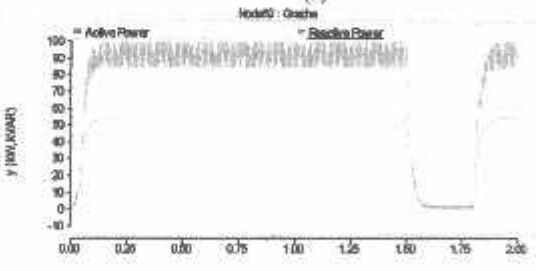
(a)



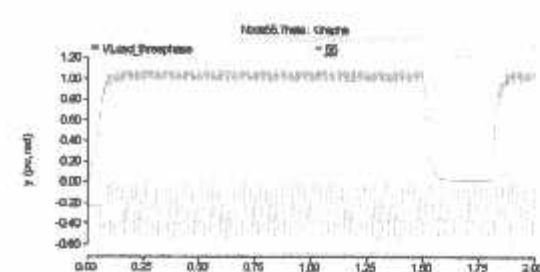
(a)



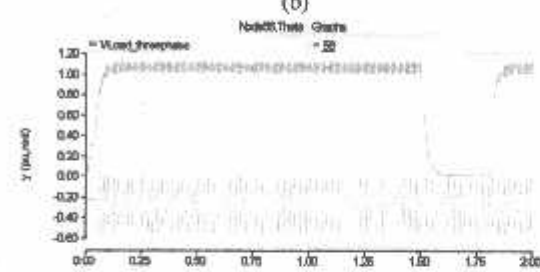
(a)



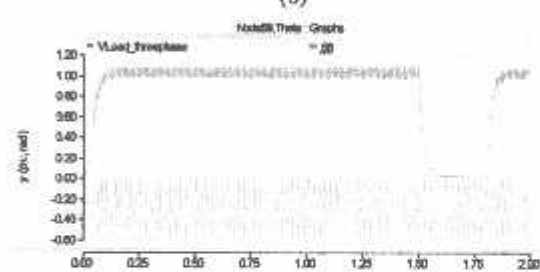
(a)



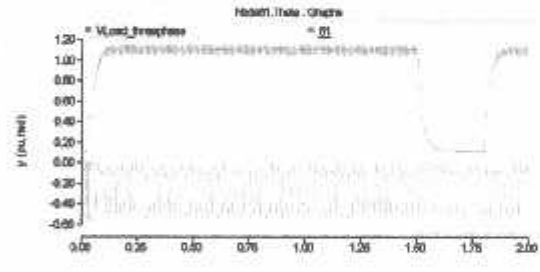
(b)



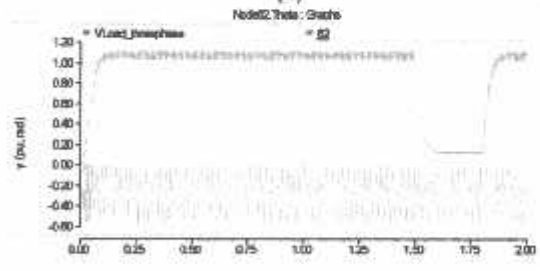
(b)



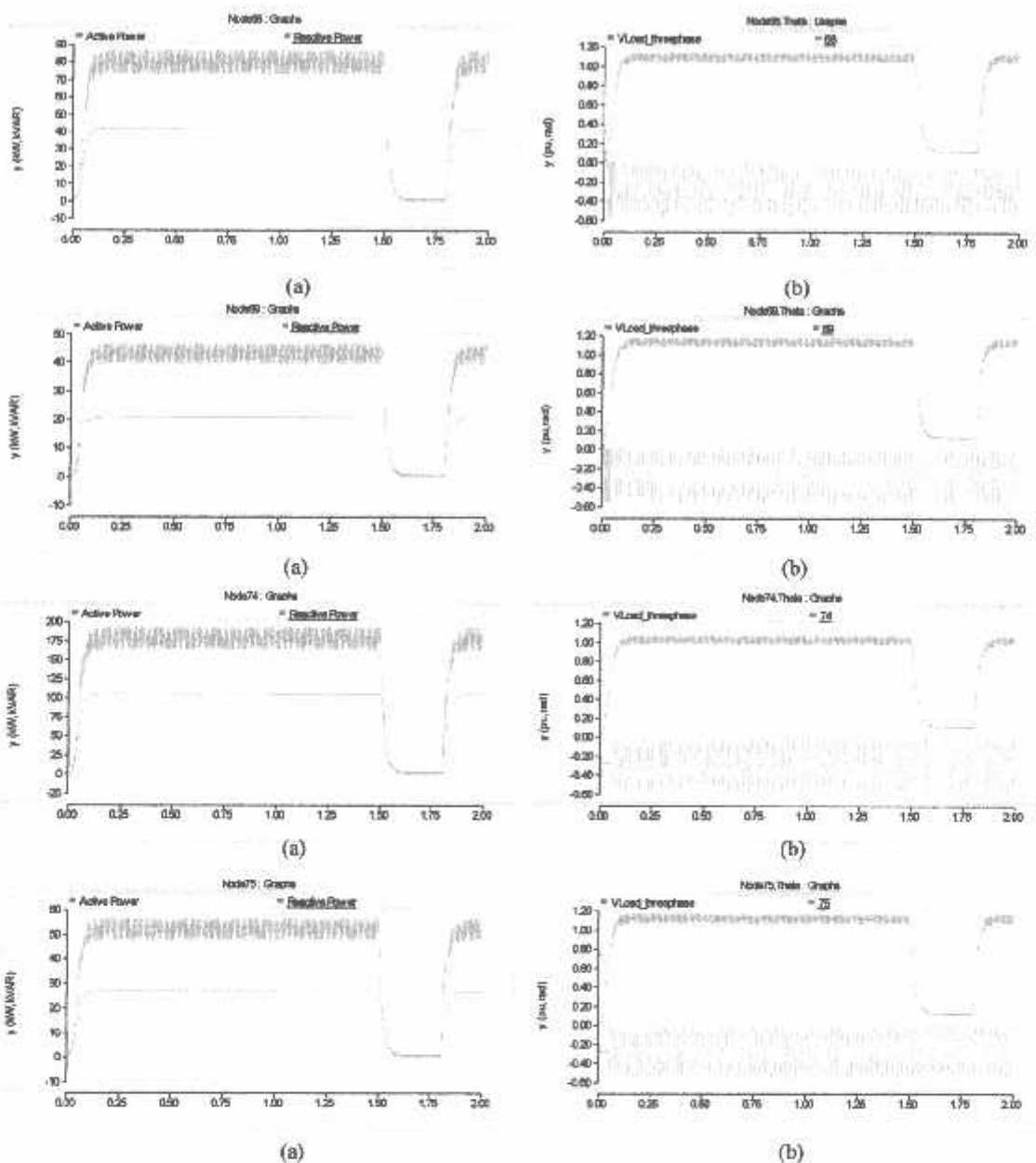
(b)



(b)

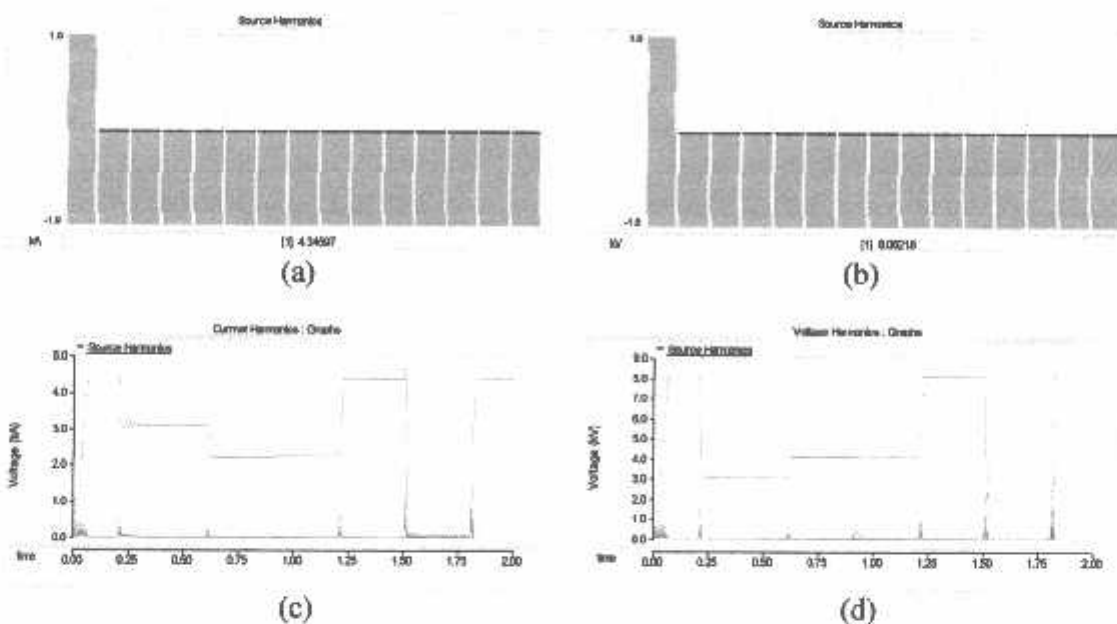


(b)

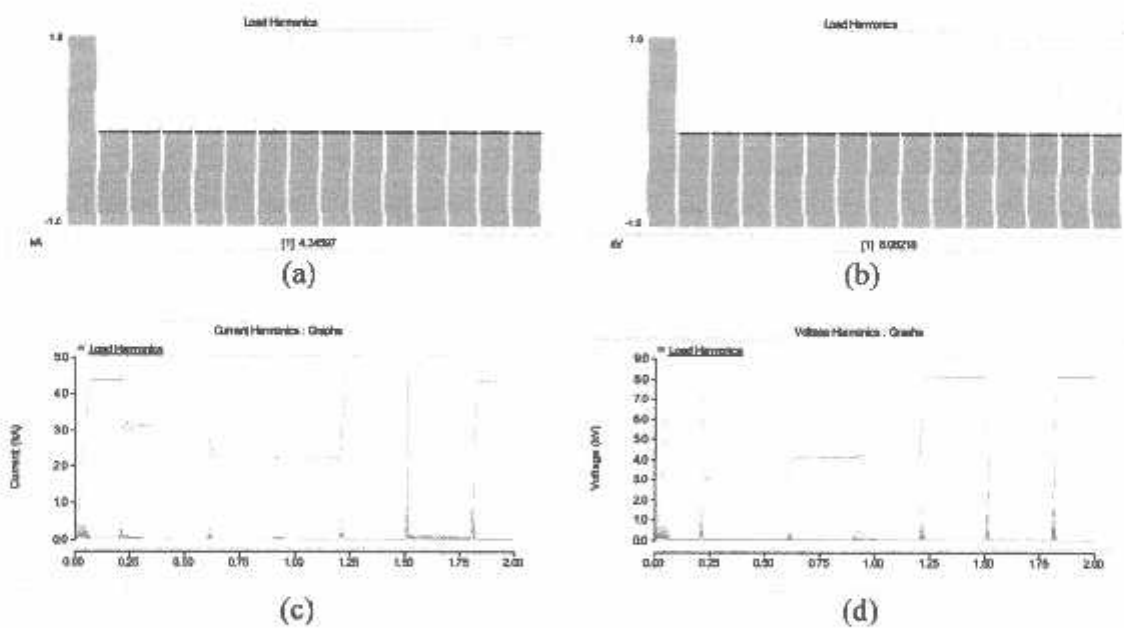


Grafik 7.2. (a) Bentuk Gelombang Daya Aktif dan Reaktif Tiap Node, (b) Bentuk Gelombang Tegangan dan Sudut Fasa Tiap Node, Pada Kondisi *Three Phase Symmetrical Fault* dengan Kompensasi DVR

▪ Harmonik Pada Penyulang Dinoyo Dengan Kompensasi UCPC



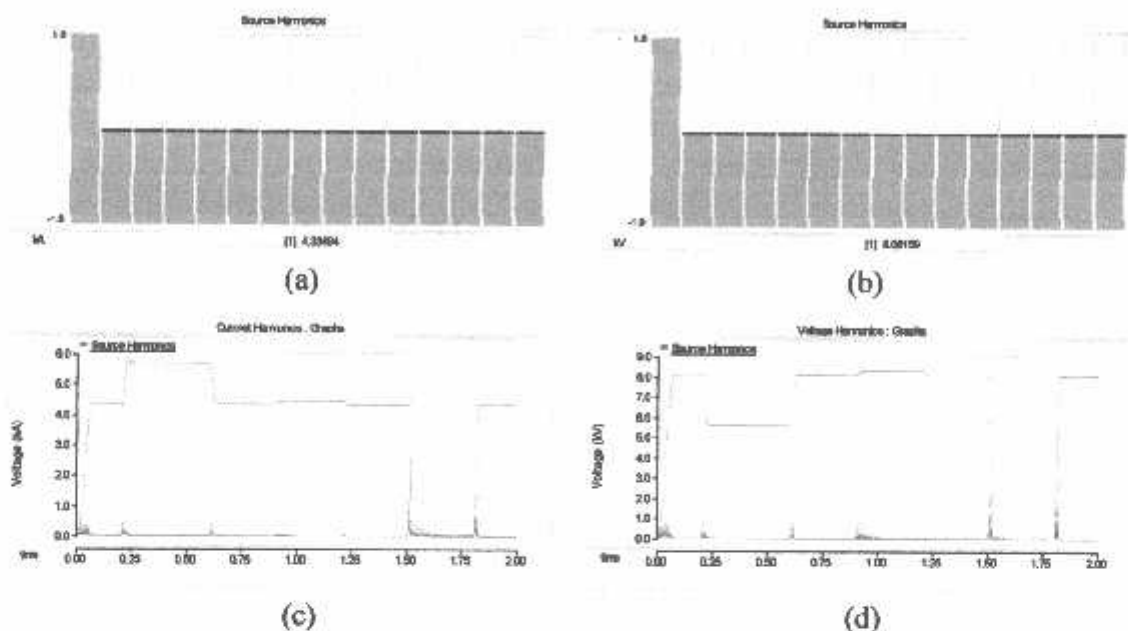
Grafik 8.3. (a) & (b) Frekuensi Bar Harmonik Arus dan Tegangan Sumber, (c) & (d) Frekuensi Harmonik Arus dan Tegangan Sumber Pada Tiap Orde, Dengan Kompensasi UCPC



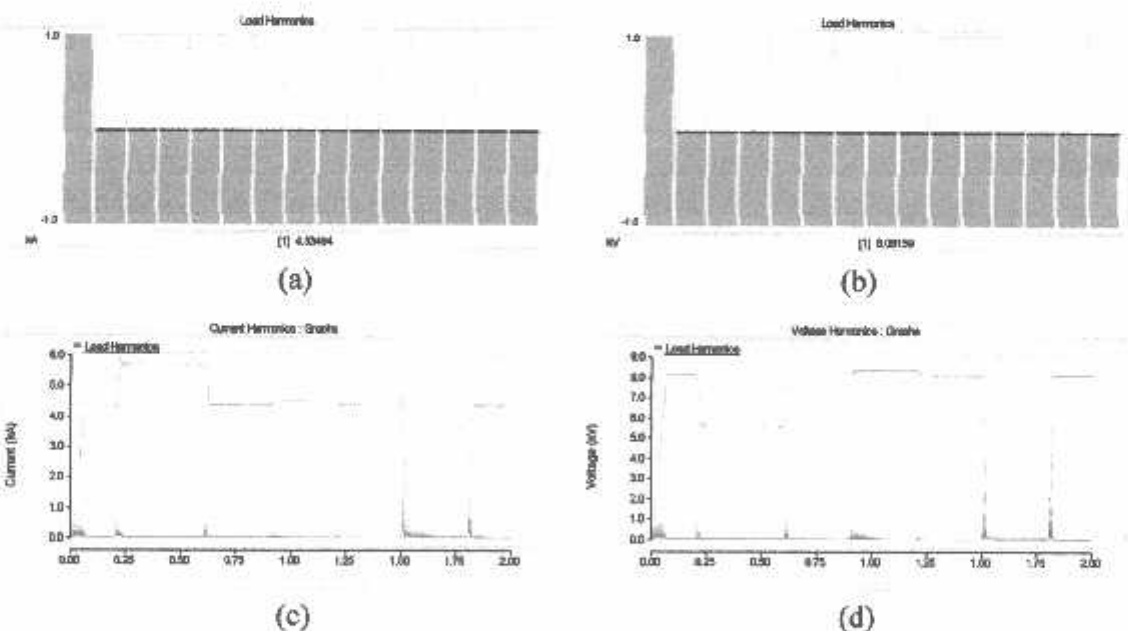
Grafik 8.4. (a) & (b) Frekuensi Bar Harmonik Arus dan Tegangan Beban, (c) & (d) Frekuensi Harmonik Arus dan Tegangan Beban Pada Tiap Orde, Dengan Kompensasi UCPC

5. Harmonik Tanpa Kompensasi dan Dengan Kompensasi UCPC

▪ Harmonik Pada Penyulang Dinoyo Tanpa Kompensasi UCPC



Grafik 8.1. (a) & (b) Frekuensi Bar Harmonik Arus dan Tegangan Sumber, (c) & (d) Frekuensi Harmonik Arus dan Tegangan Sumber Pada Tiap Orde, Tanpa Kompensasi UCPC



Grafik 8.2. (a) & (b) Frekuensi Bar Harmonik Arus dan Tegangan Beban, (c) & (d) Frekuensi Harmonik Arus dan Tegangan Beban Pada Tiap Orde, Tanpa Kompensasi UCPC



LEMBAR BIMBINGAN SKRIPSI

1. Nama : ARIES YUPITER PARADIS
2. NIM : 01.12.156
3. Jurusan : Teknik Elektro S-1
4. Konsentrasi : Teknik Energi Listrik
5. Judul : ANALISA PERBAIKAN KUALITAS
DAYA PADA SISTEM DISTRIBUSI
MENGGUNAKAN *UNIVERSAL
CUSTOM POWER CONDITIONER
(UCPC) BERBASIS SOFTWARE
PSCAD/EMTDC POWER
SIMULATION.*
6. Tanggal Mengajukan Skripsi : 4 Agustus 2006
7. Tanggal Menyelesaikan Skripsi : 25 September 2006
8. Dosen Pembimbing : Ir. Yusuf Ismail Nakhoda, MT.
9. Telah Dievaluasikan Dengan Nilai : 90 (SEMBILAN PULUH) ✓

Mengetahui,
Ketua Jurusan Teknik Elektro S-1

Ir. F. Yudi Limpraptono, MT.
NIP. P. 103 9500 274

Diperiksa dan Disetujui,
Dosen Pembimbing

Ir. Yusuf Ismail Nakhoda, MT.
NIP.Y.101 880 0189



INSTITUT TEKNOLOGI NASIONAL MALANG
FAKULTAS TEKNOLOGI INDUSTRI
JURUSAN TEKNIK ELEKTRO S-1
KONSENTRASI TEKNIK ENERGI LISTRIK

BERITA ACARA UJIAN SKRIPSI
FAKULTAS TEKNOLOGI INDUSTRI

Nama Mahasiswa : ARIES YUPITER PARADIS
N.I.M. : 01.12.156
Jurusan : Teknik Elektro S-1
Konsentrasi : Teknik Energi Listrik
Judul Skripsi : ANALISA PERBAIKAN KUALITAS DAYA PADA
SISTEM DISTRIBUSI MENGGUNAKAN
UNIVERSAL CUSTOM POWER CONDITIONER
(UCPC) BERBASIS SOFTWARE PSCAD/EMTDC
POWER SIMULATION

Dipertahankan dihadapan Majelis Penguji Skripsi Jenjang Strata Satu (S-1)

Hari : Senin
Tanggal : 25 September 2006
Dengan Nilai : 86,7 (A) ✓



Ketua Majelis Penguji
(Ir. Mochtar Asroni, MSME)
NIP.Y. 101 810 0036

Panitia Ujian Skripsi



Sekretaris Majelis Penguji
(Ir. F. Yudi Limpraptono, MT)
NIP.Y. 103 950 0274

Anggota Penguji

Penguji Pertama

(Ir. Eko Nurcahyo)
NIP. 102 870 072

Penguji Kedua

(Ir. Choirul Saleh, MT)
NIP.Y. 101 880 0190



PERMOHONAN PERSETUJUAN SKRIPSI

Yang bertanda tangan dibawah ini :

Nama : ARIES Y. PARADIS
NIM : 01.12.156
Semester : IX
Fakultas : Teknologi Industri
Jurusan : Teknik Elektro S-1
Konsentrasi : Teknik Elektronika / Teknik Energi Listrik
Alamat : Jl. SUMBERSARI No. 291 E FT 09/01 SUMBERSARI - LEWOKWALU - MALANG

Dengan ini kami mengajukan permohonan untuk mendapatkan persetujuan untuk membuat *SKRIPSI Tingkat Sarjana*. Untuk melengkapi permohonan tersebut, bersama kami lanjutkan persyaratan-persyaratan yang harus dipenuhi.
Adapun persyaratan-persyaratan pengambilan *SKRIPSI* adalah sebagai berikut :

1. Telah melaksanakan semua praktikum sesuai dengan konsentrasinya (.....)
2. Telah lulus dan menyerahkan Laporan Praktek Kerja (.....)
3. Telah lulus seluruh mata kuliah keahlian (MKB) sesuai konsentrasinya (.....)
4. Telah menempuh mata kuliah ≥ 134 sks dengan IPK ≥ 2 dan tidak ada nilai E (.....)
5. Telah mengikuti secara aktif kegiatan seminar skripsi yang diadakan Jurusan (.....)
6. Memenuhi persyaratan administrasi (.....)

Demikian permohonan ini untuk mendapatkan penyelesaian lebih lanjut dan atas perhatiannya kami ucapkan terima kasih.

Telah diteliti kebenaran data tersebut diatas
Recording Teknik Elektro

(.....)

Malang,200
Pemohon

(.....)

Disetujui
Ketua Jurusan Teknik Elektro

Ir. F. Yudi Limpraptono, MT
NIP. P. 1039500274

Mengetahui
Dosen Wali

(IR. F. YUDI LIMPRAPTONO, MT.)

Catatan :

Bagi mahasiswa yang telah memenuhi persyaratan mengambil SKRIPSI agar membuat proposal dan mendapat persetujuan dari Ketua Jurusan/Sekretaris Jurusan T. Elektro S-1

1.
2.
3.



LEMBAR PENGAJUAN JUDUL SKRIPSI
JURUSAN TEKNIK ELEKTRO S-1

Konsentrasi : Teknik Energi Listrik/Teknik Elektronika *

1	Nama Mahasiswa : ARIES Y. PAPADIS		Nim : 01.12.156
2	Waktu pengajuan	Tanggal :	Bulan : Tahun :
3	Spesifikasi judul (berilah tanda silang) <input checked="" type="checkbox"/> a. Sistem Tenaga Elektrik <input type="checkbox"/> b. Energi & Konversi Energi <input type="checkbox"/> c. Tegangan Tinggi & Pengukuran <input type="checkbox"/> d. Sistem Kendali Industri <input type="checkbox"/> e. Elektronika & Komponen <input type="checkbox"/> f. Elektronika Digital & Komputer <input type="checkbox"/> g. Elektronika Komunikasi <input type="checkbox"/> h. lainya		
4	Konsultasikan judul sesuai materi bidang ilmu kepada Dosen * : <i>Ir. Yusuf Ismail, M.T.</i>		Mengetahui, Ketua Jurusan. <i>[Signature]</i> Ir. F. Yudi Limpraptono, MT Nip. Y. 1039500274
5	Judul yang diajukan mahasiswa :	ANALISA PERBAIKAN KUALITAS DAYA DENGAN UNIVERSAL CUSTOM POWER CONDITIONER (UCPC) MENGGUNAKAN SOFTWARE PSCAD/EMTAC POWER SIMULATION	
6	Perubahan Judul yang disetujui Dosen sesuai materi bidang ilmu	
7	Persetujuan Judul Skripsi yang dikonsultasikan kepada Dosen materi bidang ilmu	Disetujui, <i>22-07-, 2006</i> Dosen <i>[Signature]</i> <i>Ir. Yusuf Ismail, Nakhoda, M.T</i>	

Perhatian :

1. Formulir Pengajuan ini harap dikembalikan kepada jurusan paling lambat satu minggu setelah disetujui kelompok dosen keahlian dengan dilampirkan proposal skripsi beserta persyaratan skripsi sesuai form S-1
2. Keterangan : * coret yang tidak perlu
** dilingkari a, b, c, atau g sesuai bidang keahlian



Malang, Juli 2006

Lampiran : Satu Lembar
Perihal : Kesediaan Sebagai
Dosen Pembimbing

Kepada : Yth. Bapak Ir. Yusuf Ismail Nakhoda, MT
Dosen Jurusan Elektro/ T.Energi Listrik
Institut Teknologi Nasional Malang
di-
Malang

Yang bertandatangan di bawah ini :

Nama : ARIES Y. PARADIS
NIM : 01.12.156
Semester : X (Sepuluh)
Jurusan : Teknik Elektro
Konsentrasi : Teknik Energi Listrik S-I

Dengan ini mengajukan permohonan, kiranya Bapak/Ibu bersedia menjadi Dosen Pembimbing Utama, untuk penyusunan Skripsi dengan judul :

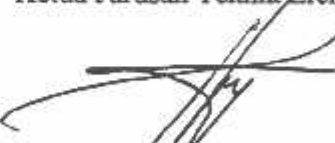
**ANALISA PERBAIKAN KUALITAS DAYA DENGAN
UNIVERSAL CUSTOM POWER CONDITIONER (UCPC)
MENGGUNAKAN SOFTWARE PSCAD EMTDC
POWER SIMULATION**

Seperti proposal terlampir.

Adapun Tugas tersebut sebagai salah satu syarat untuk mendapatkan gelar Sajana Teknik pada jurusan Teknik Elektro.

Demikian permohonan kami, atas kesediaan Bapak / ibu kami ucapan terimakasih.

Mengetahui,
Ketua Jurusan Teknik Elektro


Ir. F. Yudi Limpaptono, MT
Nip. Y. 103 950 0274

Malang, Juni 2006
Pemohon,


Aries Y. Paradis
Nim : 01.12.156



INSTITUT TEKNOLOGI NASIONAL MALANG
FAKULTAS TEKNOLOGI INDUSTRI
JURUSAN TEKNIK ELEKTRO

PERNYATAAN KESEDIAAN SEBAGAI DOSEN PEMBIMBING SKRIPSI

Sesuai dengan Permohonan Mahasiswa :

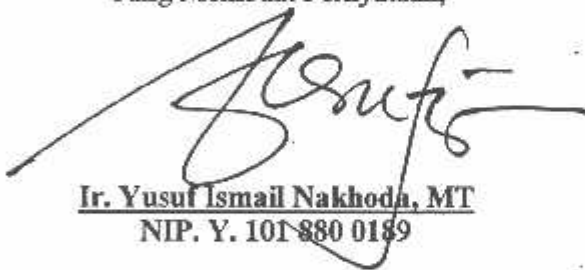
Nama : Aries Y. Paradis
Nim : 01.12.156
Semester : X (Sepuluh)
Jurusan : Teknik Elektro
Konsentrasi : Teknik Energi Listrik S-I

Dengan ini menyatakan bersedia / tidak bersedia menjadi Dosen Pembimbing Utama / Pendamping , untuk penyusunan Skripsi Mahasiswa tersebut dengan judul :

**ANALISA PERBAIKAN KUALITAS DAYA DENGAN
UNIVERSAL CUSTOM POWER CONDITIONER (UCPC)
MENGGUNAKAN SOFTWARE PSCAD EMTDC
POWER SIMULATION**

Demikian pernyataan ini kami buat untuk dapat dipergunakan sebagaimana mestinya.

Malang, Juli 2006
Yang Membuat Pernyataan,



Ir. Yusuf Ismail Nakhoda, MT
NIP. Y. 101880 0189

Catatan

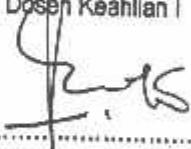
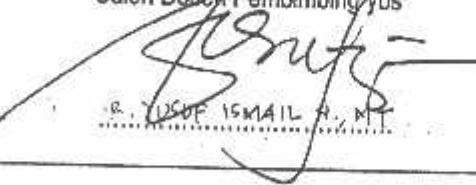
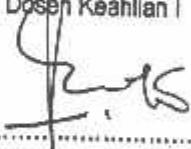
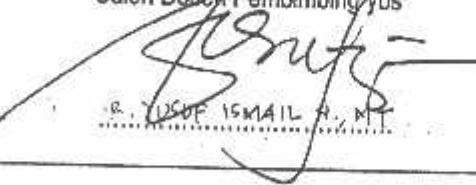
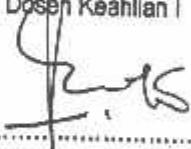
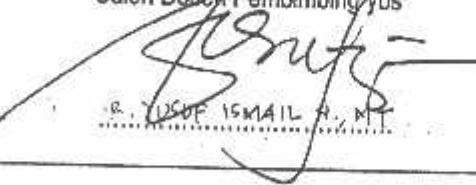
1. Formulir ini supaya segera diserahkan mahasiswa ybs. ke jurusan untuk diproses jadwal Praseminar yang pelaksanaannya satu bulan setelah di tanda tangani Dosen ybs
2. Coret yang tidak perlu

Form. S – 3b



BERITA ACARA SEMINAR PROPOSAL SKRIPSI JURUSAN TEKNIK ELEKTRO S-1

Konsentrasi : Teknik Energi Listrik/Teknik-Elektronika*)

1.	Nama Mahasiswa: APIES Y. PARADIS			Nim: 01.12.156				
2.	Keterangan Pelaksanaan	Tanggal	Waktu	Tempat				
3.	Spesifikasi Judul (berilah tanda silang)**) <input checked="" type="checkbox"/> a. Sistem Tenaga Elektrik <input type="checkbox"/> b. Energi & Konversi Energi <input type="checkbox"/> c. Tegangan Tinggi & Pengukuran <input type="checkbox"/> d. Sistem Kendali Industri <input type="checkbox"/> e. Elektronika & Komponen <input type="checkbox"/> f. Elektronika Digital & Komputer <input type="checkbox"/> g. Elektronika Komunikasi <input type="checkbox"/> h. lainnya							
4.	Judul Proposal yang diseminarkan Mahasiswa	ANALISA PERILAKU KUALITAS DAYA DENGAN UNIVERSAL CUSTOM POWER CONDITIONER (UCPC) MENGGUNAKAN SOFTWARE PSCAD/EMTDC POWER SIMULATION						
5.	Perubahan Judul yang diajukan oleh Kelompok Dosen Keahlian						
6.	Catatan:						
7.	<p style="text-align: center;">Persetujuan Judul Skripsi</p> <table border="1"><tr><td style="text-align: center;">Disetujui, Dosen Keahlian I </td><td style="text-align: center;">Disetujui, Dosen Keahlian II</td></tr><tr><td style="text-align: center;">Mengetahui, Ketua Jurusan Ir. F. Yudi Limpraptono, MT NIP. P. 1039500274</td><td style="text-align: center;">Disetujui, Calon Dosen Pembimbing ybs  R. Yusuf ISMAIL A., MT</td></tr></table>				Disetujui, Dosen Keahlian I 	Disetujui, Dosen Keahlian II	Mengetahui, Ketua Jurusan Ir. F. Yudi Limpraptono, MT NIP. P. 1039500274	Disetujui, Calon Dosen Pembimbing ybs  R. Yusuf ISMAIL A., MT
Disetujui, Dosen Keahlian I 	Disetujui, Dosen Keahlian II							
Mengetahui, Ketua Jurusan Ir. F. Yudi Limpraptono, MT NIP. P. 1039500274	Disetujui, Calon Dosen Pembimbing ybs  R. Yusuf ISMAIL A., MT							

Perhatian:

1. Keterangan: *) Corel yang tidak perlu

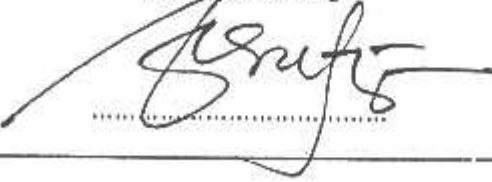
**) dilingkari a, b, c, atau g sesuai bidang keahlian

Form S-3c



BERITA ACARA SEMINAR SKRIPSI JURUSAN TEKNIK ELEKTRO S-1

Konsentrasi : Teknik Energi Listrik/Teknik Elektronika*)

1.	Nama Mahasiswa: ARIES YUPITER PALAPIS			Nim: 01.12.156
2.	Keterangan Pelaksanaan	Tanggal	Waktu	Tempat
	28 - 9 - 2006			Ruang: Aula 1
Spesifikasi Judul (berilah tanda silang)**)				
3.	a. Sistem Tenaga Elektrik b. Energi & Konversi Energi c. Tegangan Tinggi & Pengukuran d. Sistem Kendali Industri	e. Elektronika & Komponen f. Elektronika Digital & Komputer g. Elektronika Komunikasi h. lainnya		
4.	Judul Proposal yang diseminarkan Mahasiswa	ANALISA PERBAGIAN KUALITAS JAYA DENGAN UNIVERSAL CUSTOM POWER CONDITIONER (UCPC) MENGGUNAKAN SOFTWARE PSCAD/EMTDC POWER SIMULATION		
5.	Perubahan Judul yang diusulkan oleh Kelompok Dosen Keahlian/Pengamat		
6.	Keputusan: Dari hasil penilaian sejumlah orang dosen keahlian dan orang dosen pengamat sesuai format penilaian terlampir, peserta seminar tersebut diatas (1) dengan judul skripsi (4) dinyatakan LULUS/TIDAK LULUS *) dengan nilai Komulatif: (angka) atau (huruf)			
Persetujuan Judul Skripsi				
7.	Disetujui, Dosen Keahlian I		Disetujui, Dosen Keahlian II	
	
	Disetujui, Dosen Pengamat I 		Disetujui, Dosen Pengamat II	
Mengetahui, Ketua Jurusan. Ir. F. Yudi Limpraptono, MT NIP. P. 1039500274		Disetujui, Dosen Pembimbing 		

Perhatian:

1. Keterangan: *) Coret yang tidak perlu

**) dilingkari a, b, c, atau g sesuai bidang keahlian

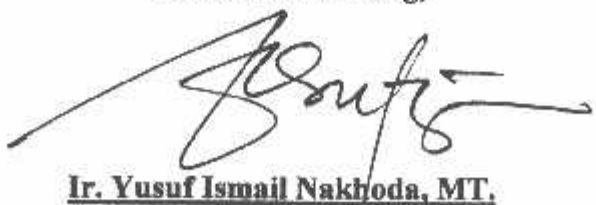


FORMULIR BIMBINGAN SKRIPSI

Nama : ARIES YUPITER PARADIS
Nim : 01.12.156
Masa Bimbingan : 04 Agustus 2006 s/d 04 Februari 2007
Judul Skripsi : ANALISA PERBAIKAN KUALITAS DAYA PADA SISTEM DISTRIBUSI MENGGUNAKAN UNIVERSAL CUSTOM POWER CONDITIONER (UCPC) BERBASIS SOFTWARE PSCAD/EMTDC POWER SIMULATION

No.	Tanggal	Uraian	Parap Pembimbing
1.	05-08-2006	Format Penulisan Diperbaiki	<i>Zuf</i>
2.	10-08-2006	Batasan Masalah Ditentukan Untuk Lebih Memfokuskan Penelitian	<i>Zuf</i>
3.	15-08-2006	Menambahkan Penjelasan Tentang PSCAD/EMTDC Power Simulation	<i>Zuf</i>
4.	17-08-2006	Memperbaiki <i>Flowchart</i> , Melengkapi Kajian Pustaka, Menambahkan Kajian Tentang Kualitas Daya	<i>Zuf</i>
5.	21-08-2006	Menampilkan Data Angka Dari Hasil Simulasi	<i>Zuf</i>
6.	23-08-2006	Periksa Hasil Simulasi dan Perhitungan, Validasi Belum Sesuai dengan Hasil Referensi	<i>Zuf</i>
7.	28-08-2006	Membuat Tampilan Grafik Yang Lebih Baik Untuk Memudahkan Dalam Membandingkan Hasil-Hasil Pengujian	<i>Zuf</i>
8.	05-09-2006	Tujuan Lebih Diarahkan Pada Perbandingan Sistem Dengan Kompensasi Dan Tanpa Kompensasi, Tidak Memperhitungkan Masalah Ekonomis	<i>Zuf</i>
9.	07-09-2006	Menampilkan Hasil Analisa pada Penyulang Dinoyo Secara Detail	<i>Zuf</i>
10.	20-09-2006	ACC Ujian Skripsi	<i>Zuf</i>

Malang,
Dosen Pembimbing,



Ir. Yusuf Ismail Nakhoda, MT.

Form.S-4b